

# ACHD

Dr Xavier Iriart





**ESC**

European Society  
of Cardiology

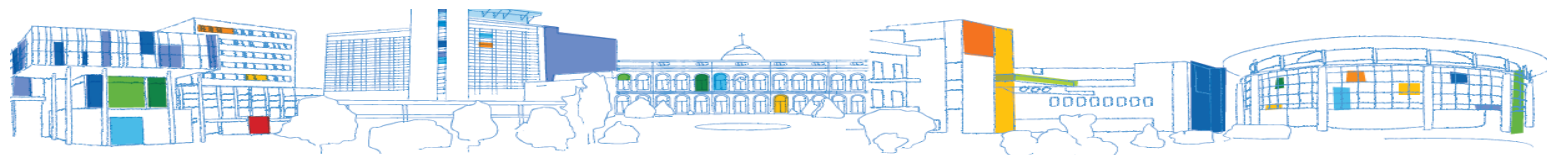
European Heart Journal (2021) **42**, 563–645

doi:10.1093/eurheartj/ehaa554

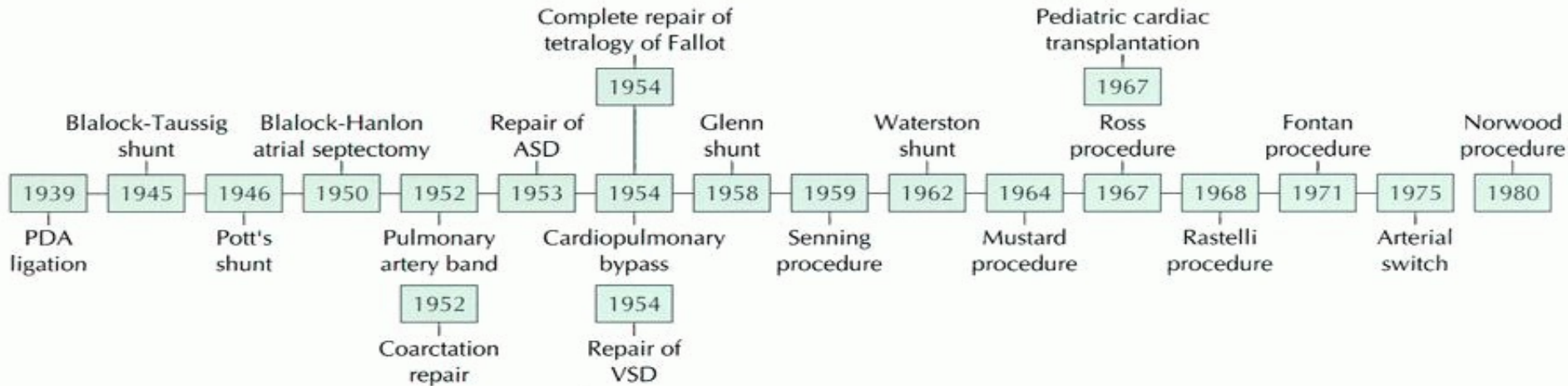
**ESC GUIDELINES**

# 2020 ESC Guidelines for the management of adult congenital heart disease

**The Task Force for the management of adult congenital heart disease of the European Society of Cardiology (ESC)**



# Suivi des cardiopathies congénitales à l'âge adulte



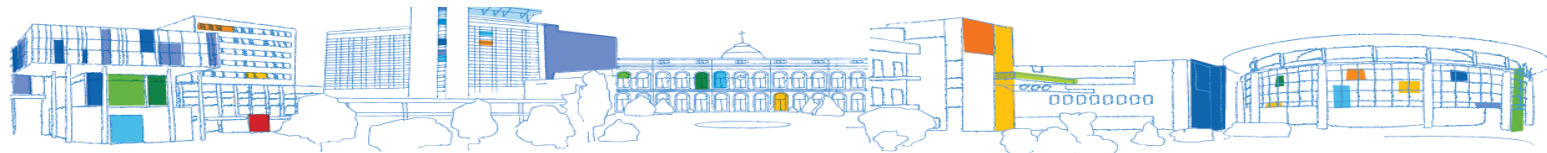
**800.000 patients aux USA**

**Augmentation de 25% de 2000 à 2010**

**Perspective 2010: la majorité des congénitaux opérés auront plus de 16 ans**

# Plan

- Cardiopathies simples à l'âge adulte
  - Opérées
  - Non opérées
- Cardiopathies complexes opérées



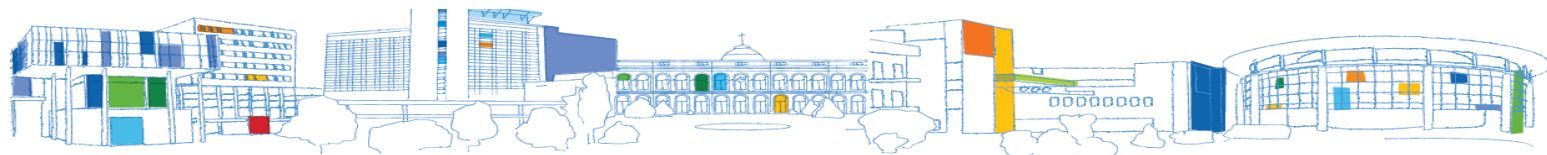
# Plan

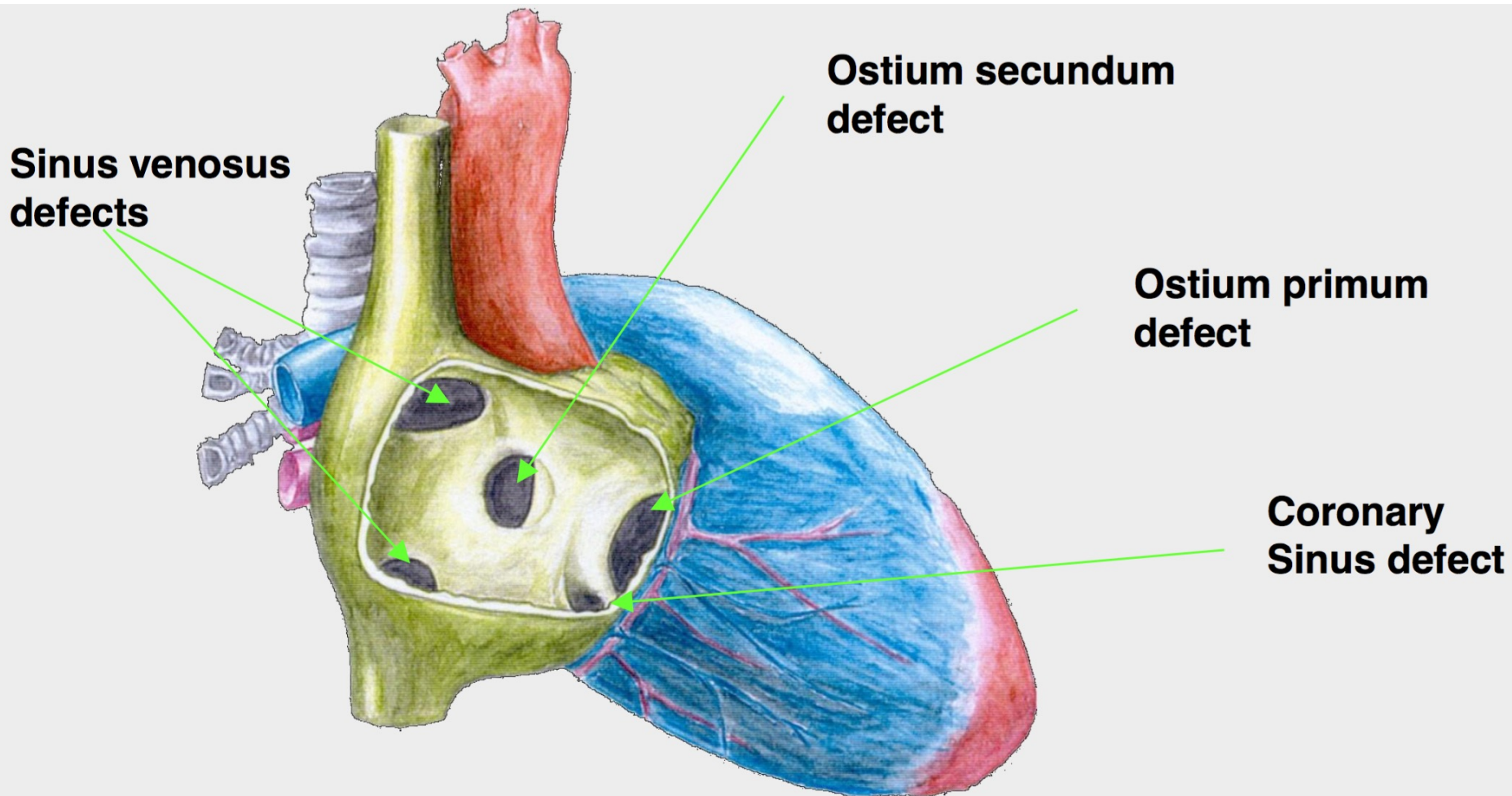
- Cardiopathies simples à l'âge adulte
  - Opérées
  - Non opérées



# Cardiopathies simples: CIV- CIA- CA

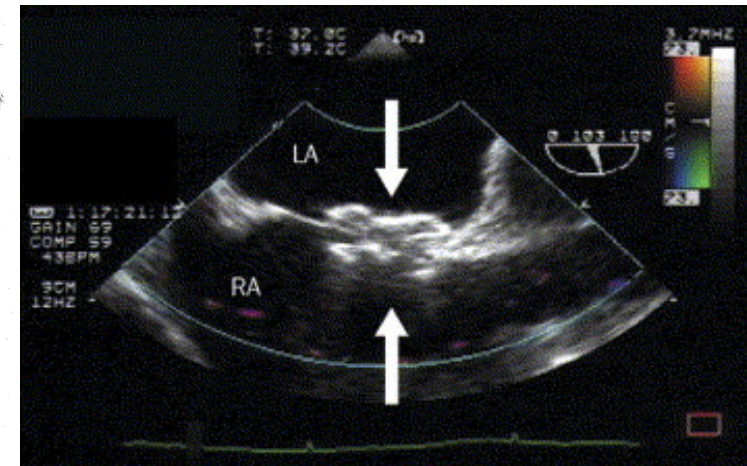
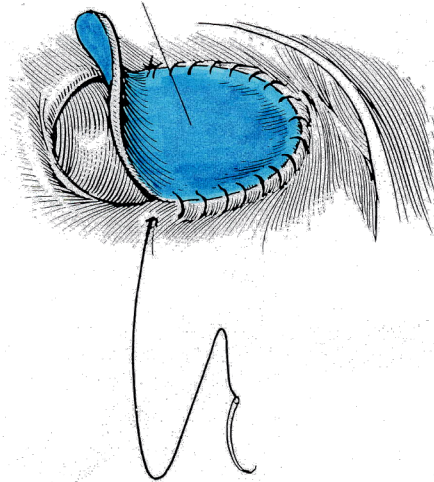
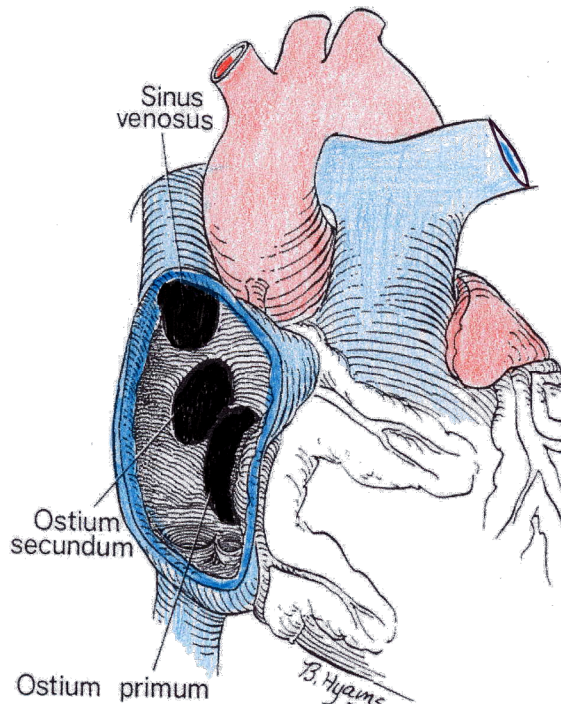
- réparation “à temps”
- Guérison complète ?
- Devenir à long terme





# CIA

- Réparation “à temps”
- Guérison complète ?
- CIA : problèmes rythmiques et HTAP
- Connaitre les indications de fermeture percutanées



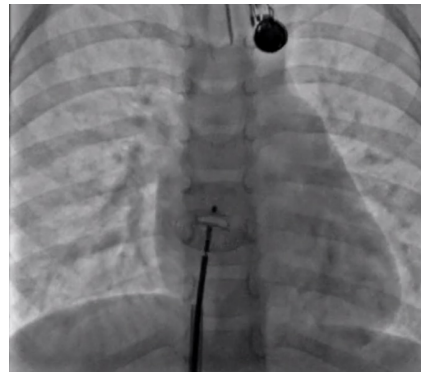
# COMPLICATIONS TARDIVES

Valvular failure

Cardiac  
Erosion /  
perforation

AV Conduction  
abnormalities

Device thrombosis



Nickel allergy

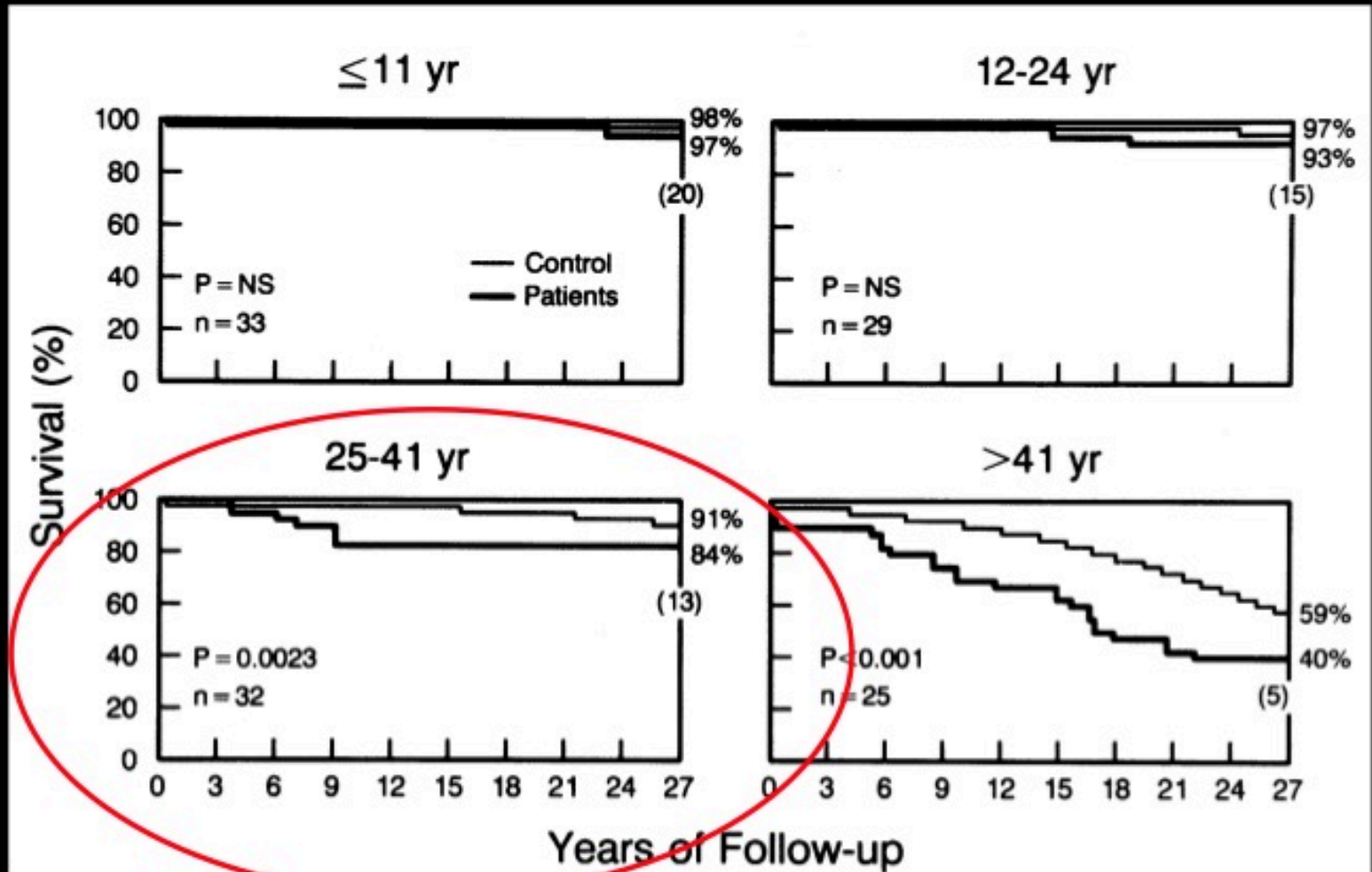
Stroke

Endocarditis

Atrial arrhythmias

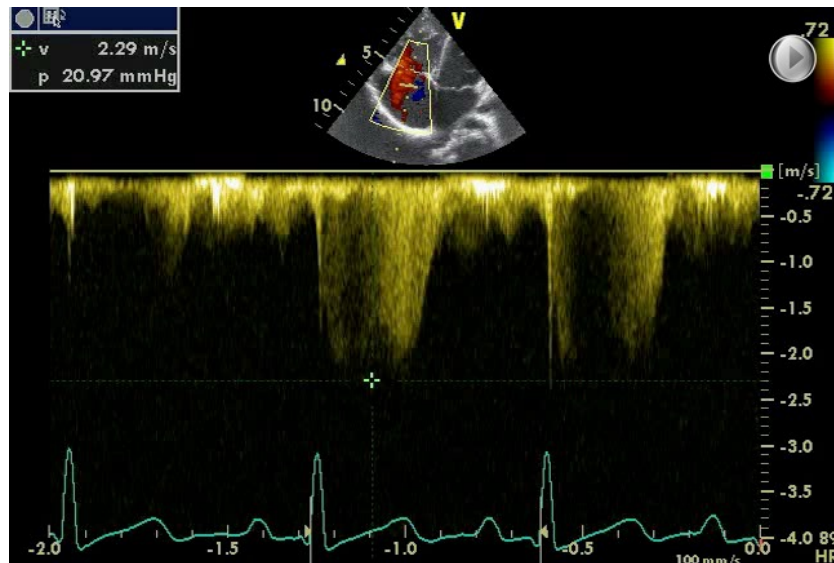
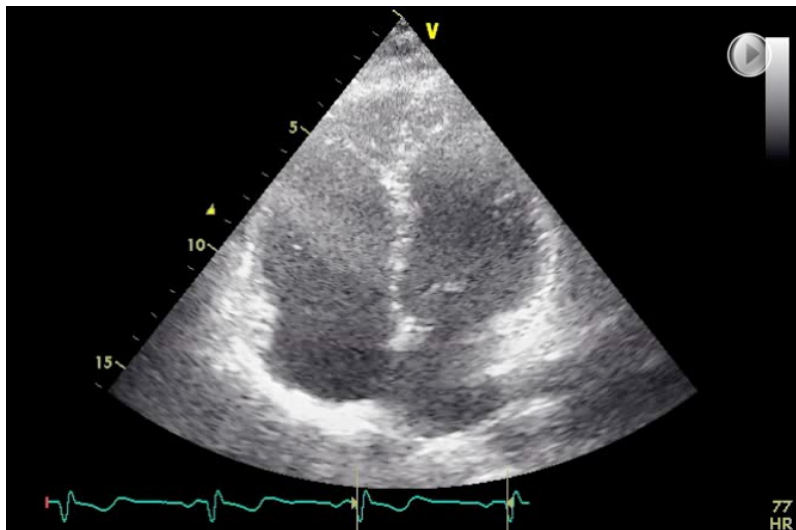


# Long-Term Survival after ASD Closure by Age



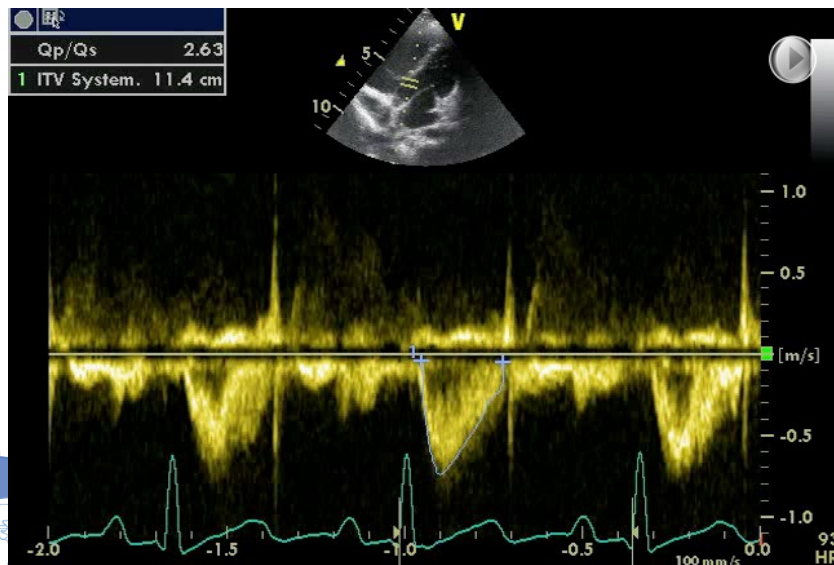
Murphy JG, et al. N Engl J Med 1990;323:1645-50

# CIA Ostium secundum

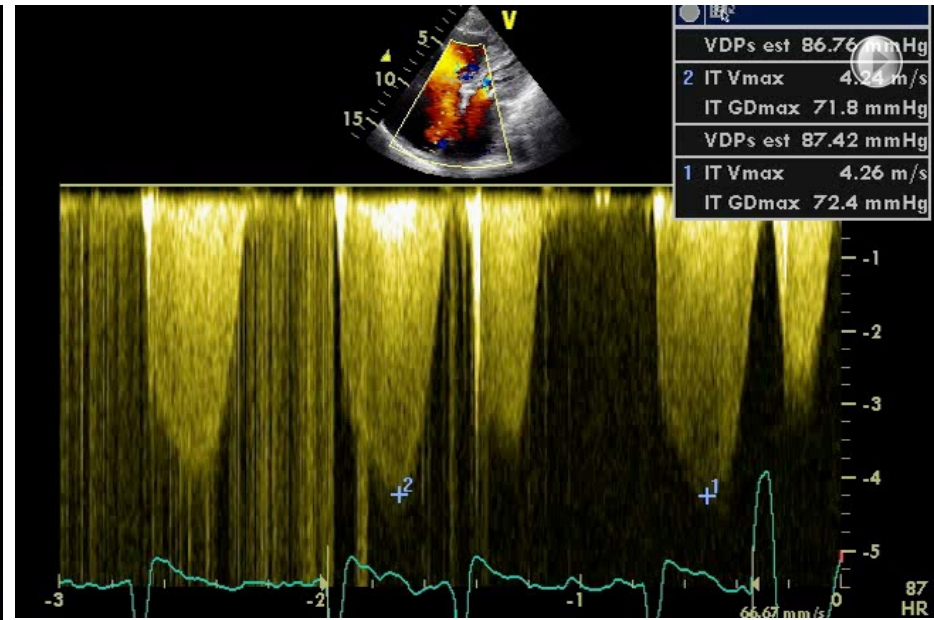
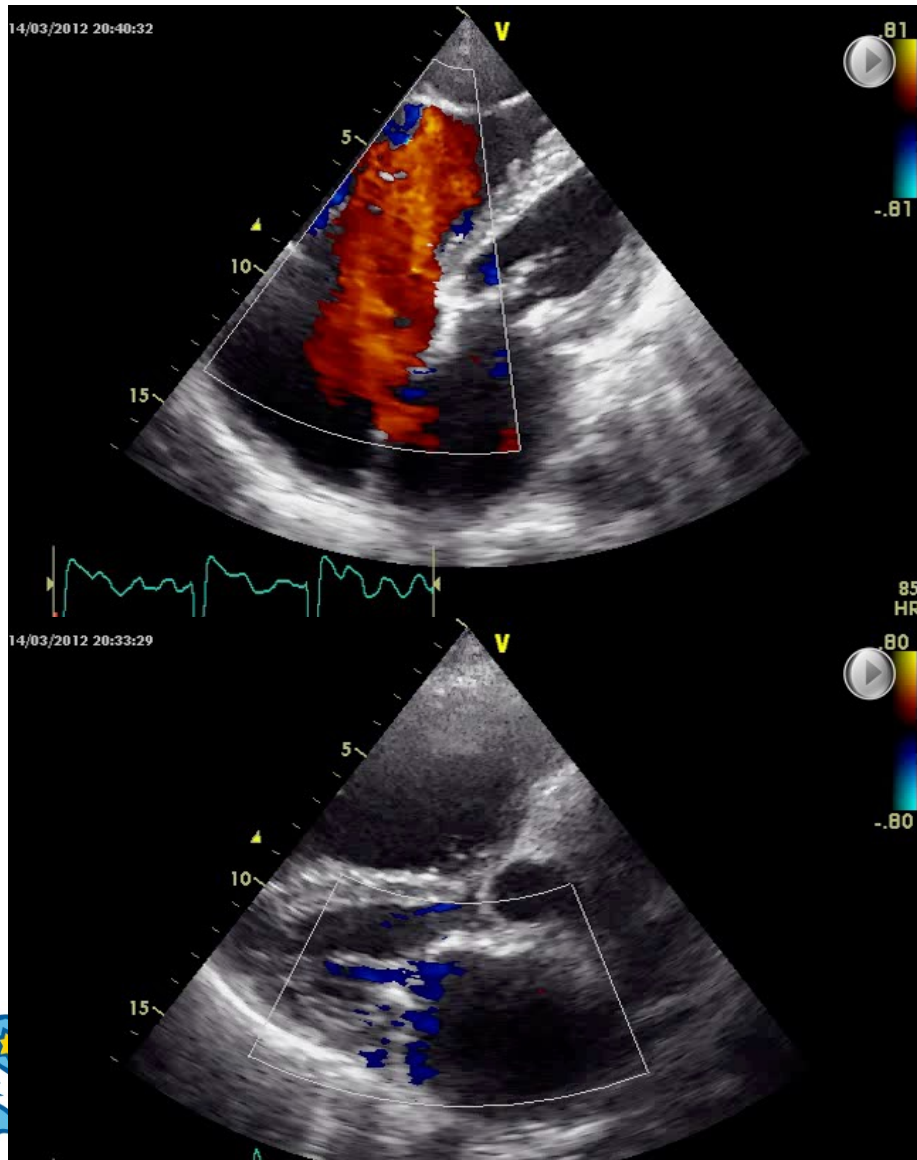


Cas 1  
Souffle et dyspnée minime  
Chez un adolescent sportif

Dilatation des cavités droites  
Pressions pulmonaires normales



# CIA de la personne âgée



## Cas 2

Femme 81 ans

AEG depuis fracture du fémur en 2009

Très peu mobile (lit-fauteuil)

1<sup>ère</sup> Décompensation cardiaque droite

FA permanente

HTAP 75+15mmHg

IT grade 3

IM grade 2fort. Rao lâche



## Cas3

Femme 24ans

Découverte fortuite d'une dilatation du TAP sur RP médecine du travail

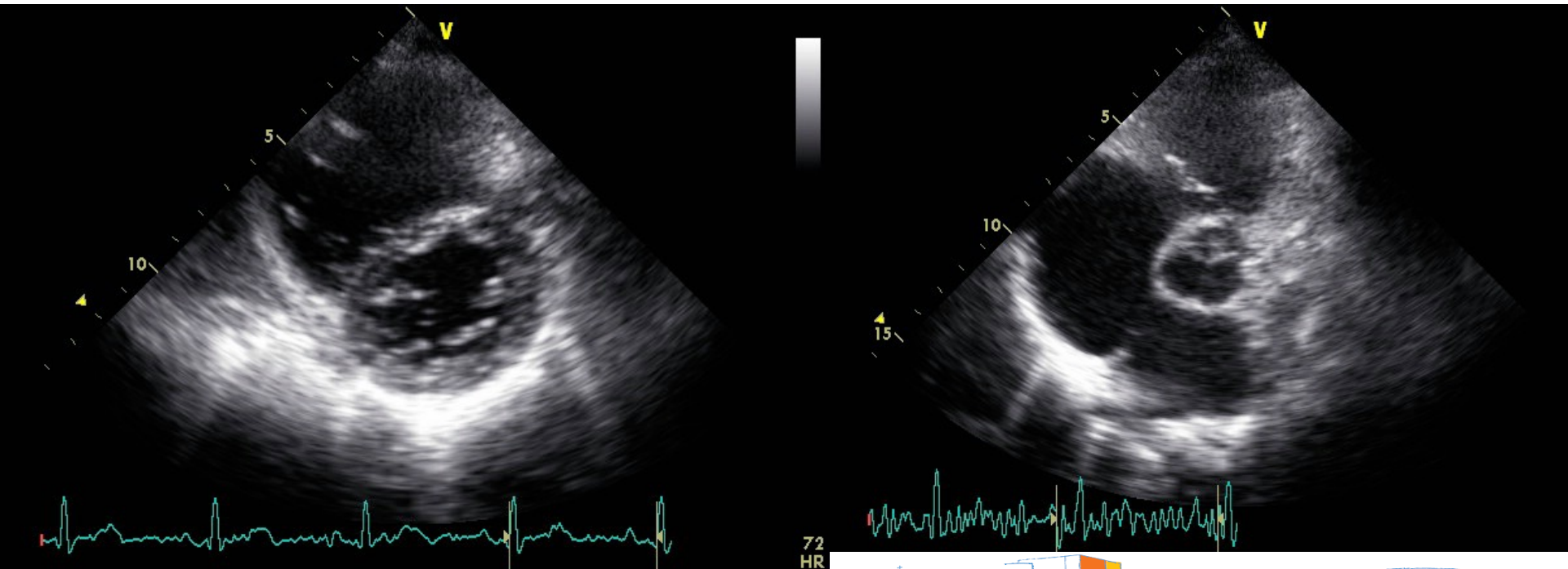
Dyspnée stade 2 (sous estimée par la patiente jusqu'à présent)

ECG: HAD BBD

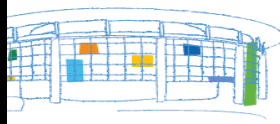
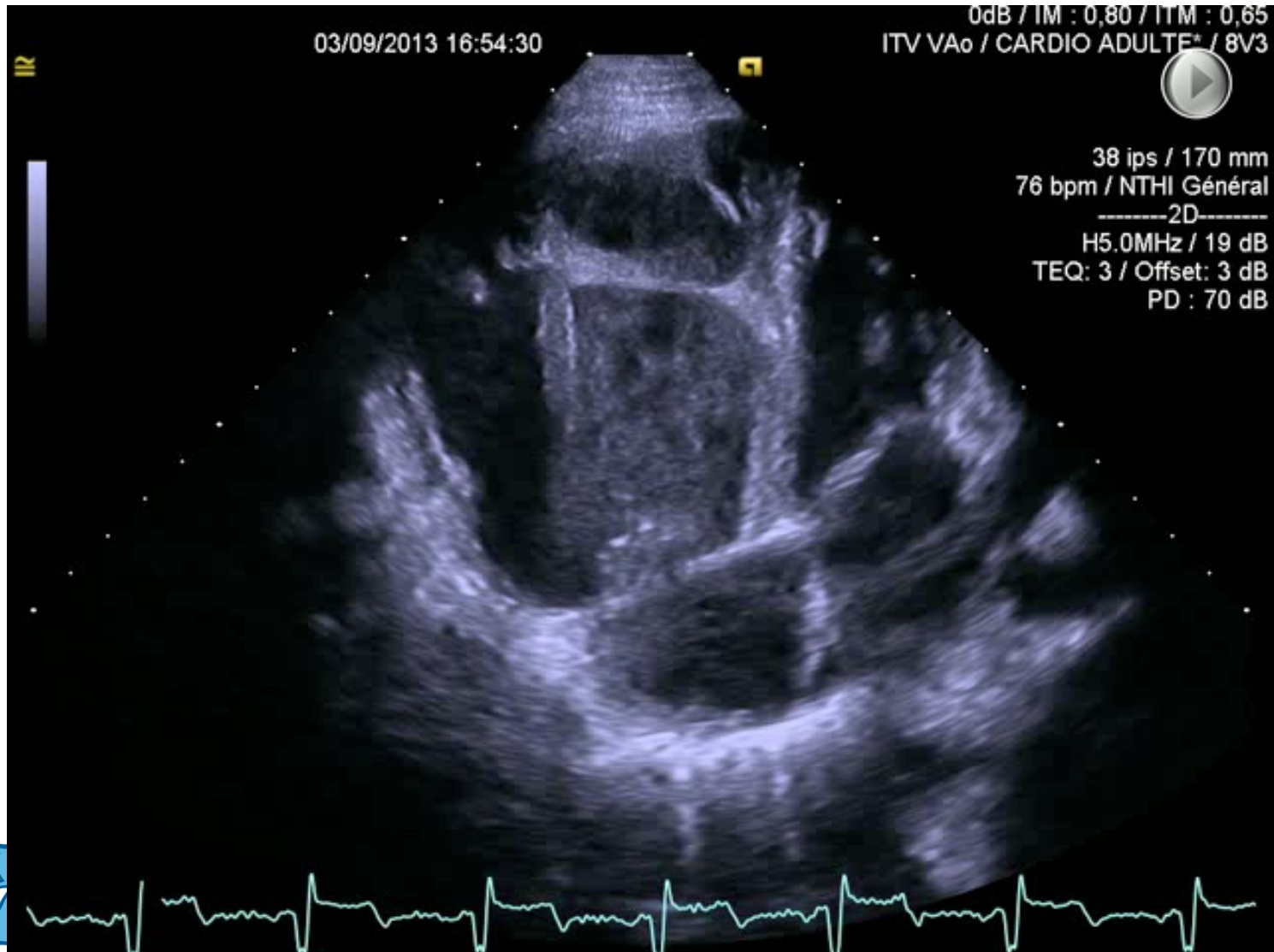
Echo: CIA 15mm, shunt bidirectionnel, dilatation des cavités droites

PAPS 55%

KT : PAPm 50mmH Pcap 3 RVP 10UW



# CIA et HTAP



# Prévalence de l'HTAP dans les CIA

- Prévalence de l'HTAP dans les CIA = 16 % du total
  - 4 % avant 20 ans
  - 18 % de 20 à 40 ans
  - 40 % après 40 ans
- HTAP deux fois plus fréquente dans les CIA de type *sinus venosus*
  - 16 % des adultes avec *sinus venosus* vs 4 % des adultes avec OS <sup>(1)</sup>
- Rôle du sexe : 4 femmes pour 1 homme dans les CIA avec HTAP vs 2 / 1 sans HTAP
- Age moyen du diagnostic : 36 ans

# Développement de la maladie vasculaire pulmonaire chez les patients avec shunts gauche-droite non opérés <sup>(18,19)</sup>

Shunt gauche-droite



Augmentation du flux sanguin pulmonaire



Augmentation des résistances vasculaires pulmonaires (RVP)



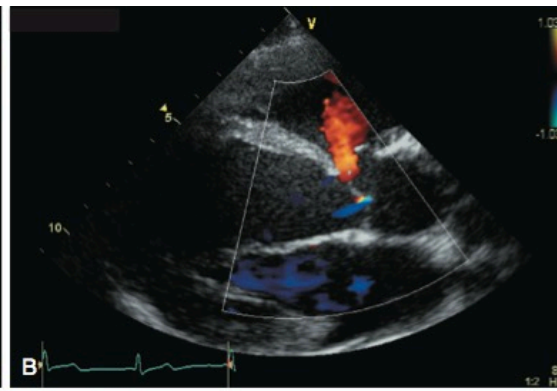
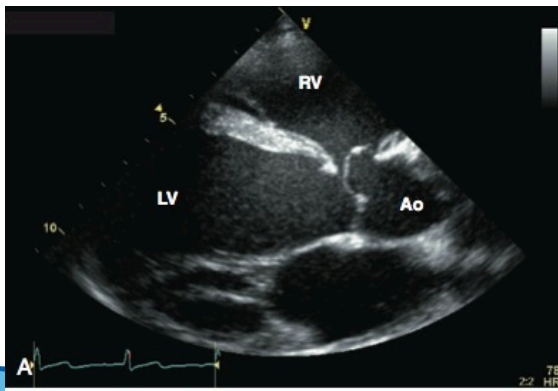
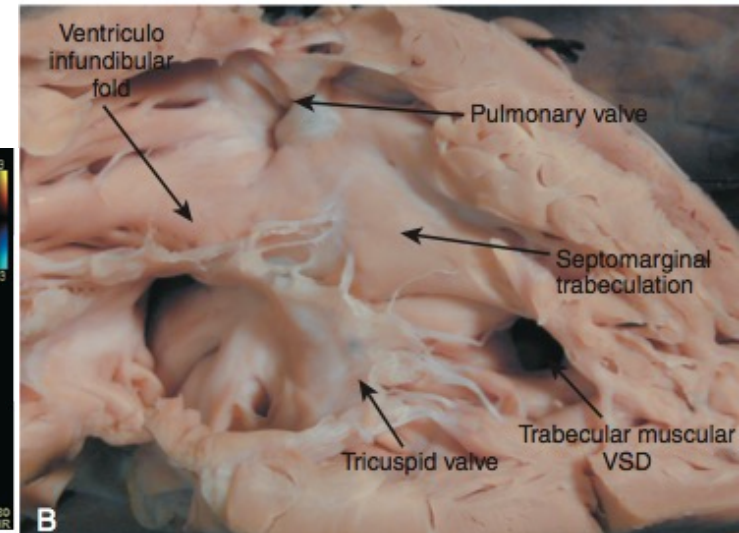
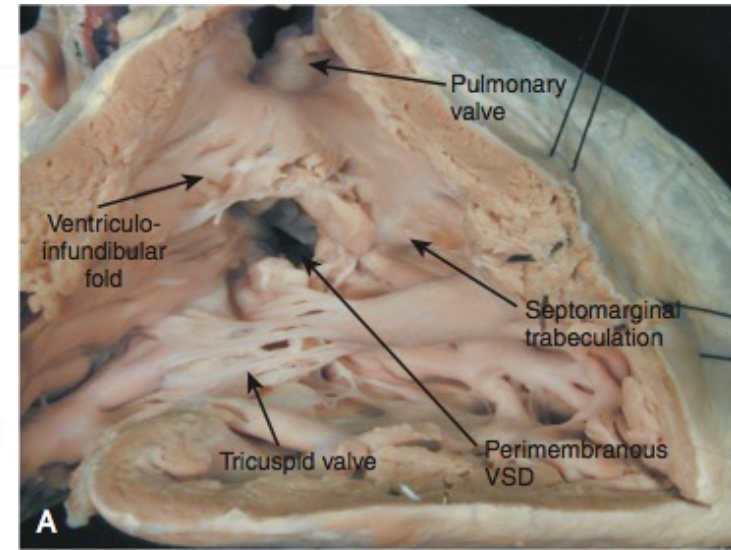
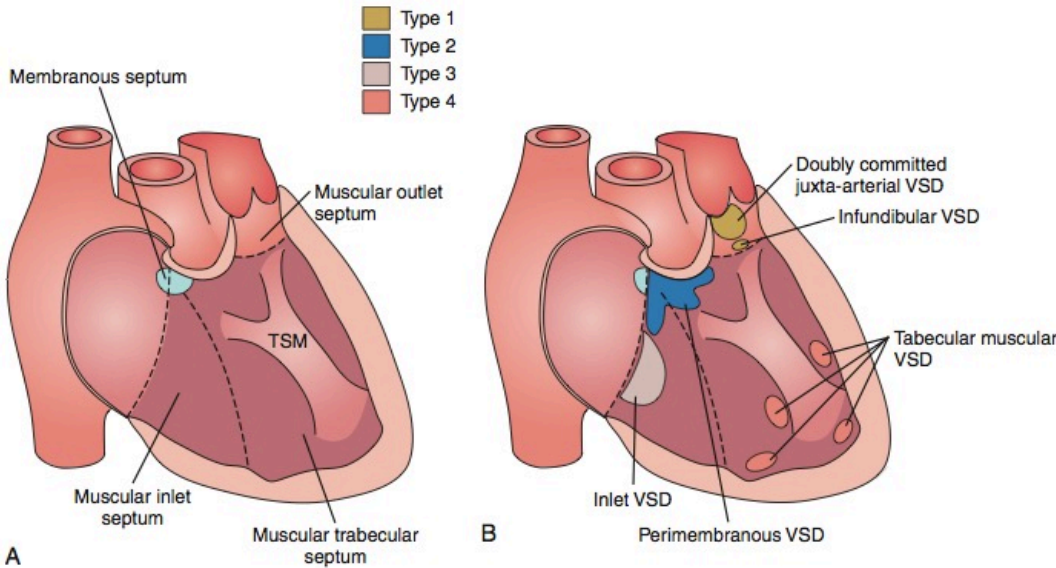
En l'absence de correction chirurgicale,  
la maladie vasculaire pulmonaire peut se développer  
**de type histologique similaire à celui de l'HTAP idiopathique (HTAPi) <sup>(18)</sup>**



Dommages irréversibles du système vasculaire pulmonaire  
et augmentation des RVP

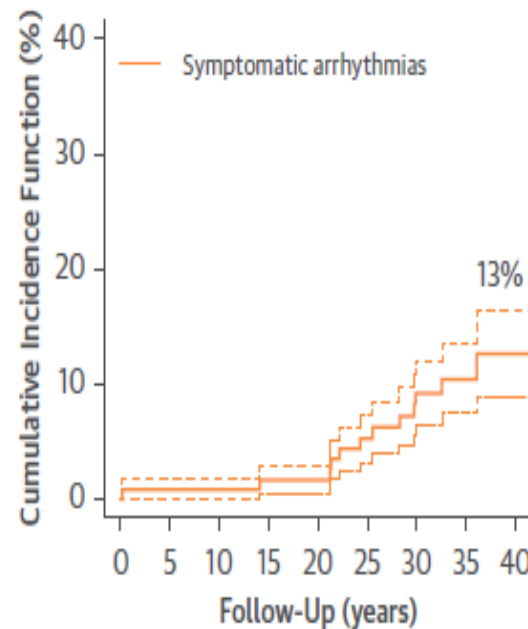
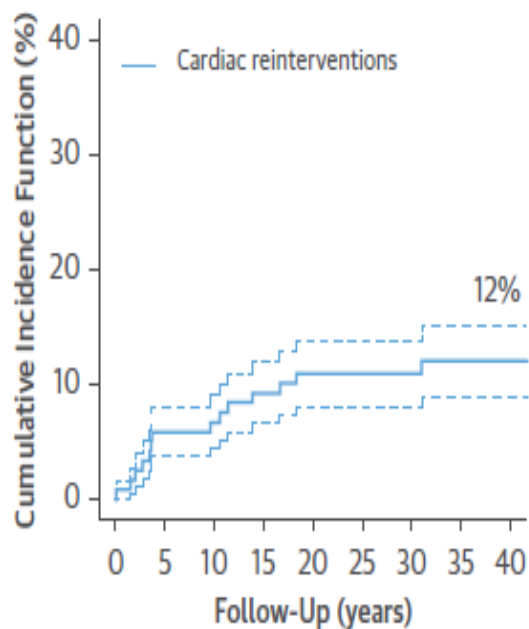
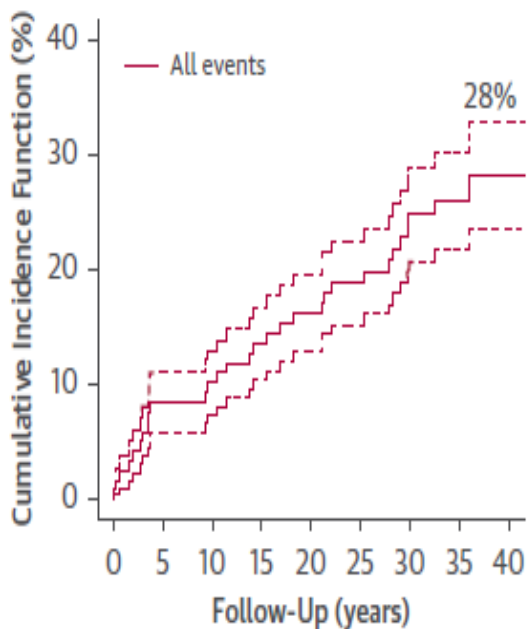
**L'HTAP peut se développer après chirurgie correctrice  
ou palliative de la CC <sup>(18)</sup>**

# Communication interventriculaires



# Fermeture chirurgicale et devenir à long-terme...

- 91 patients
- Fermeture chirurgicale avant 1980 et avant l'âge de 15 ans
- L'espérance de vie est réduite par rapport à la population générale



# Behavior of unrepaired perimembranous ventricular septal defect in young adults.

Soufflet V<sup>1</sup>, Van de Bruaene A, Troost E, Gewillig M, Moons P, Post MC, Budts W.

220 patients

8 endocardites

Aggravation pb aortiques

2 morts (1 MS, 1 ICC).

2 PM-DAI.

15 fermeture chir (7%).

8 fermetures spontanées

9% HTAP

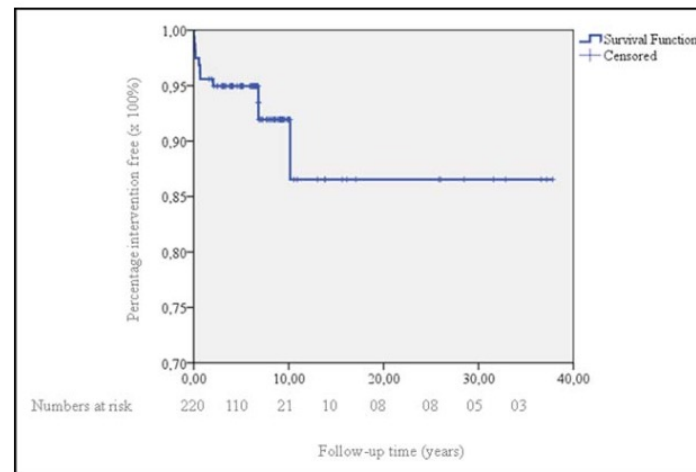


Figure 1. Kaplan-Meier curve of event-free survival, with event defined as surgical or interventional VSD closure.

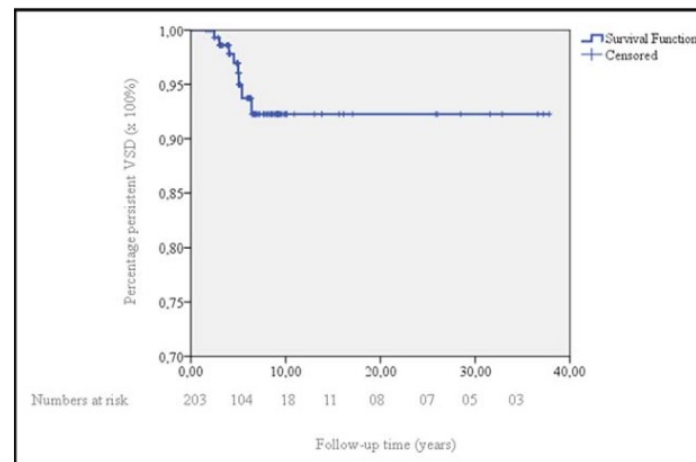
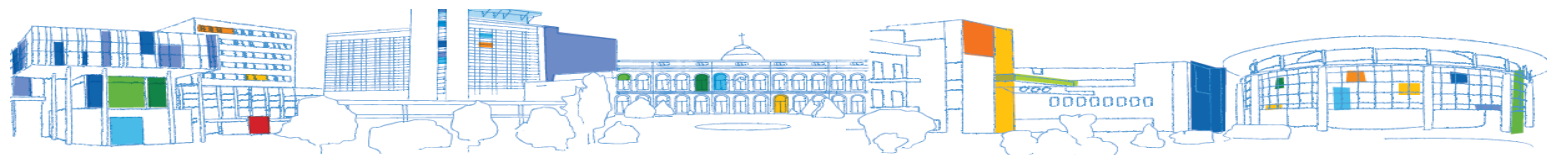
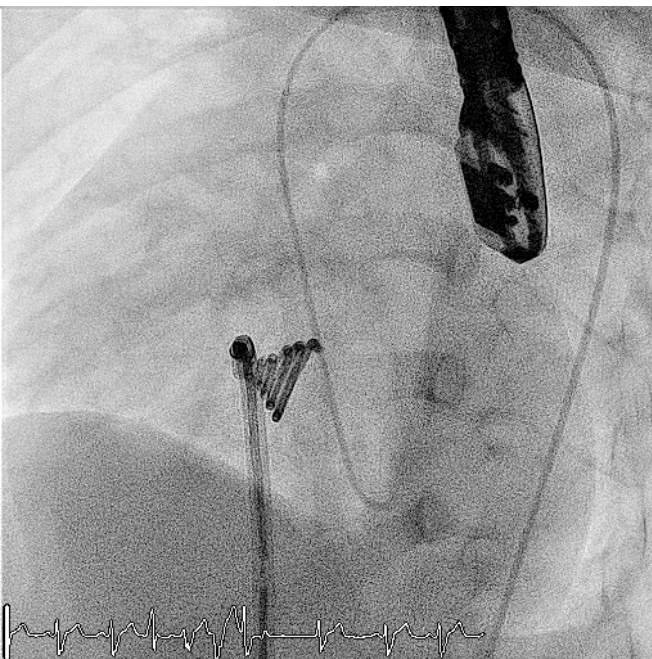


Figure 2. Kaplan-Meier curve of event-free survival, with event defined as spontaneous VSD closure.

On estime qu'environ 20 à 30% des CIV intermédiaires prise en charge de manière « conservatrice » pendant l'enfance auront besoin d'un traitement (chirurgie ou cathétérisme) à l'âge adulte.





Echo adulte  
X7-2t  
53Hz  
15cm

xPlane  
63%  
63%  
50dB  
P Arrêt  
Gén

TIS0.1 MI 0.4

M4

135  
-2

PAT T: 37.0C  
TEE T: 40.0C

NON DESTINÉ À L'USAGE MÉDICAL

55 bpm



Baseline Characteristics (n = 46)

Age at surgery, yrs	33.6±11.2
Female sex	24(52)
Society of Thoracic Surgeons type of VSD	
Type 1(subarterial)	12(26)
Type 2(membranous)	33(72)
Type 3(inlet)	1(2)
Type 4(muscular)	0
VSD diameter, mm	11.4±10.5
Associated lesions	
Coronary cusp prolapse	15(33)
With sinus of Valsalva aneurysm	5(11)
Patent foramen ovale	7(15)
Bicuspid aortic valve	6(13)
Mitral regurgitation	6(13)
Right ventricular outflow tract obstruction	6(13)
Atrial septal defect	5(11)
First degree atrioventricular block	3(7)
Patent ductus arteriosus	3(7)
Persistent left superior vena cava	3(7)
Coarctation of the aorta	2(4)
Warnes-Somerville ability index	
1	31(67)
2	13(28)
3	2(4)
New York Heart Association functional class	
I	30(65)
II	15(33)
III	1(2)

Data are n (%) or mean ± SD.

VSD = ventricular septal defect.

Table 2.

Pre-Operative Echocardiographic and Catheterization Data

Echocardiography		
Left ventricular end-diastolic diameter, mm	39	55±8
LVEF, %	42	61±7
Tricuspid regurgitation peak velocity, m/s*	26	2.81±0.46
Tricuspid regurgitation ≥ moderate	34	6(18)
Aortic regurgitation ≥ moderate	35	6(17)
Catheterization		
Qp/Qs	19	1.6±0.5
Left ventricular end-diastolic pressure, mm Hg	16	12±3
Right ventricular systolic pressure, mm Hg*	20	50±27
Mean pulmonary artery pressure, mm Hg	20	25±16
Pulmonary vascular resistance index, WU · m2	18	5.6±4.5

Data are n (number of patients for which the data were available), n (%), or mean ± SD.

LVEF = left ventricular ejection fraction.

\* Patients with right ventricular outflow tract obstruction and double chamber right ventricle were excluded from the analysis of this parameter.

Indications for Surgery

Aortic regurgitation	13(28)
Left ventricular dilation	13(28)
Pulmonary hypertension	9(20)
Endocarditis	8(17)
Symptoms	6(13)
Left ventricular dysfunction	4(9)
Sinus of Valsalva aneurysm	5(11)
Ruptured	3(7)
Not ruptured	2(4)
Coronary cusp prolapse	3(7)
Double chamber right ventricle	3(7)
Mitral regurgitation	3(7)
Qp/Qs ≥2	3(7)
Subaortic stenosis	1(2)

Data are n (%). Total is >100% because many patients had multiple indications.

Clinical Research

Indications and Outcomes of Surgical Closure of Ventricular Septal Defect in Adults

François-Pierre Mongeon, MD\*, Harold M. Burkhart, MD†, Naser M. Ammash, MD\*, Joseph A. Dearani, MD†, Zhuo Li, MS‡, Carole A. Warnes, MD\*, Heidi M. Connolly, MD\*

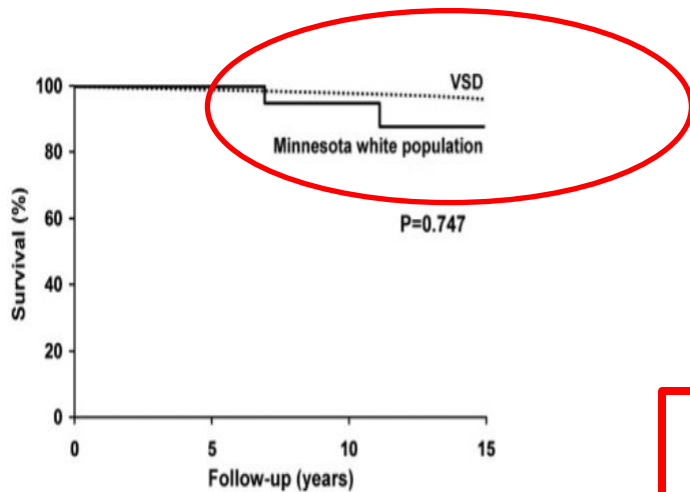


Figure 3. Survival After Surgical VSD Closure Versus Reference Population

Survival after surgical ventricular septal defect (VSD) closure compared with a reference population. There was no difference in 15-year survival of operated patients compared with the Minnesota white population (p = 0.747).

**Mortalité précoce: 0%**  
**Mortalité tardive: 5%**  
**Même survie à 15 ans**

# Coarctation de l'aorte



# Coarctation natives

TABLE 2 Causes of death in coarctation of the aorta (304 necropsies)

Causes of death	Per cent	Mean age and usual decades	
Congestive heart failure Not directly connected	25.5	39	3rd to 5th
Aortic rupture	24	47	4th to 6th
Bacterial endocarditis	21	25	2nd and 3rd
Intracranial haemorrhage	18	29	First five
	11.5	29	2nd and 3rd
All cases	100	34.4 years	

Natural history of coarctation of the aorta 635

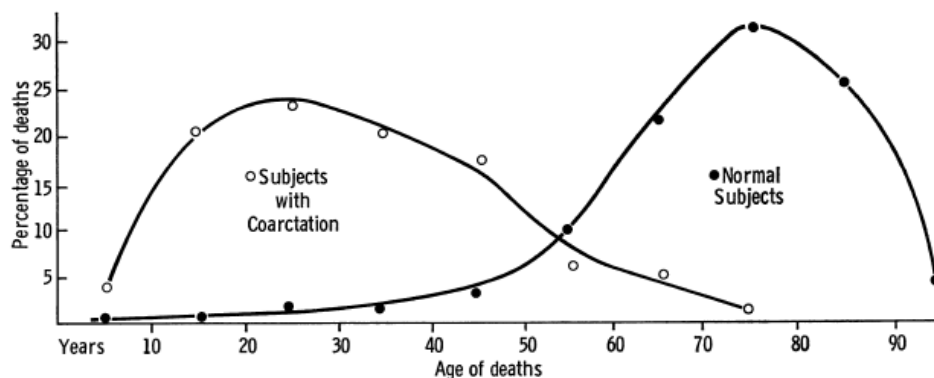
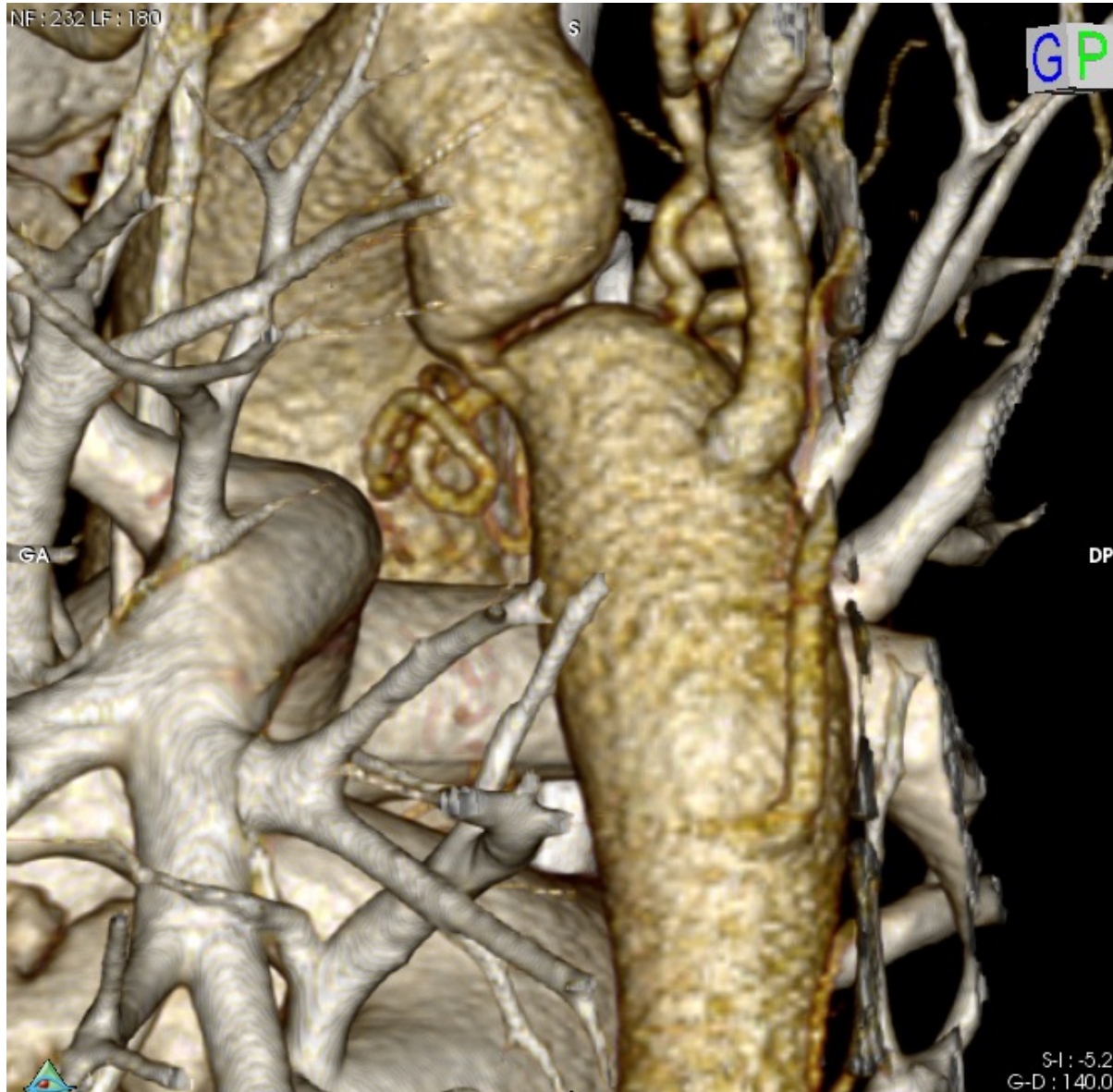


FIG. 1 The distribution of deaths by age, excluding deaths in the first year of life. In coarctation on the left and in normal subjects on the right, there is relatively little overlapping. For coarctation, the more rounded curve from reported necropsies is shown but the flatter curve from my calculations from deaths of patients under observation is similar (see Fig. 2).



# Ingénieur 42 ans, bilan d'HTA

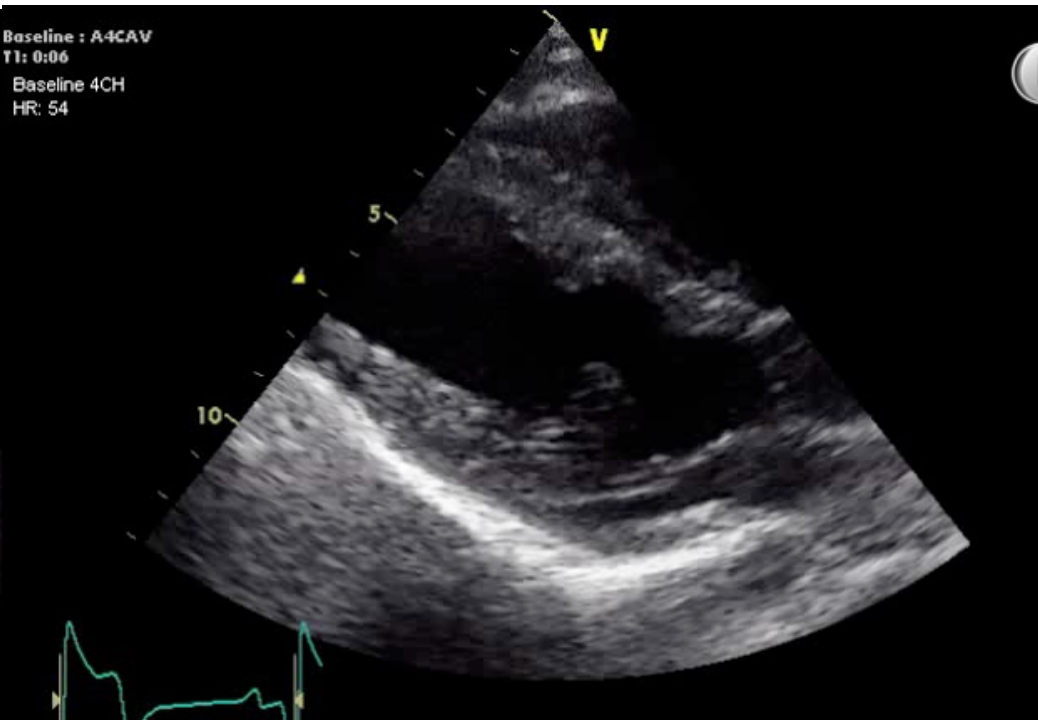
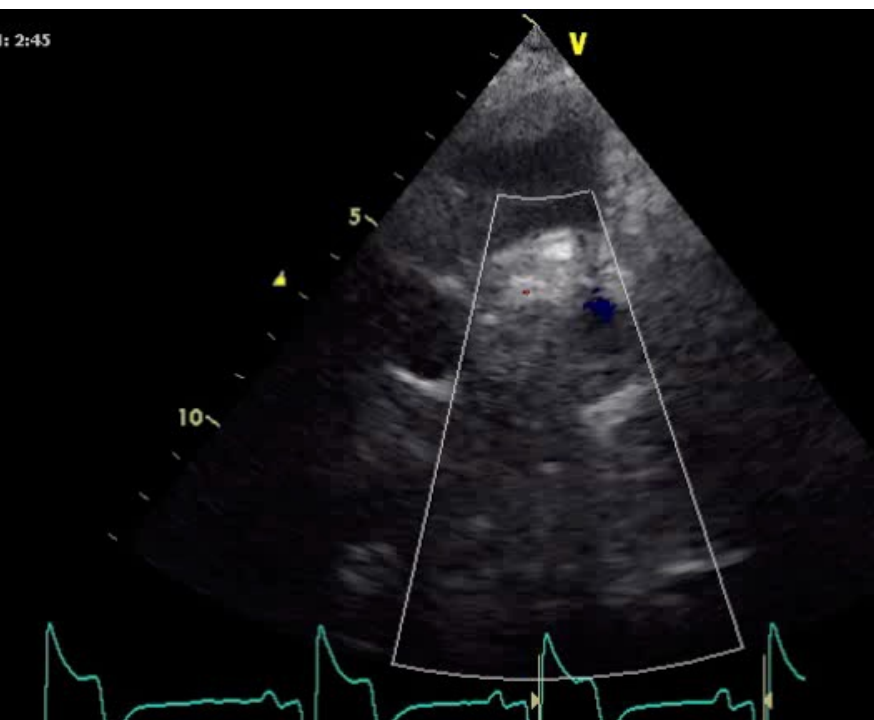
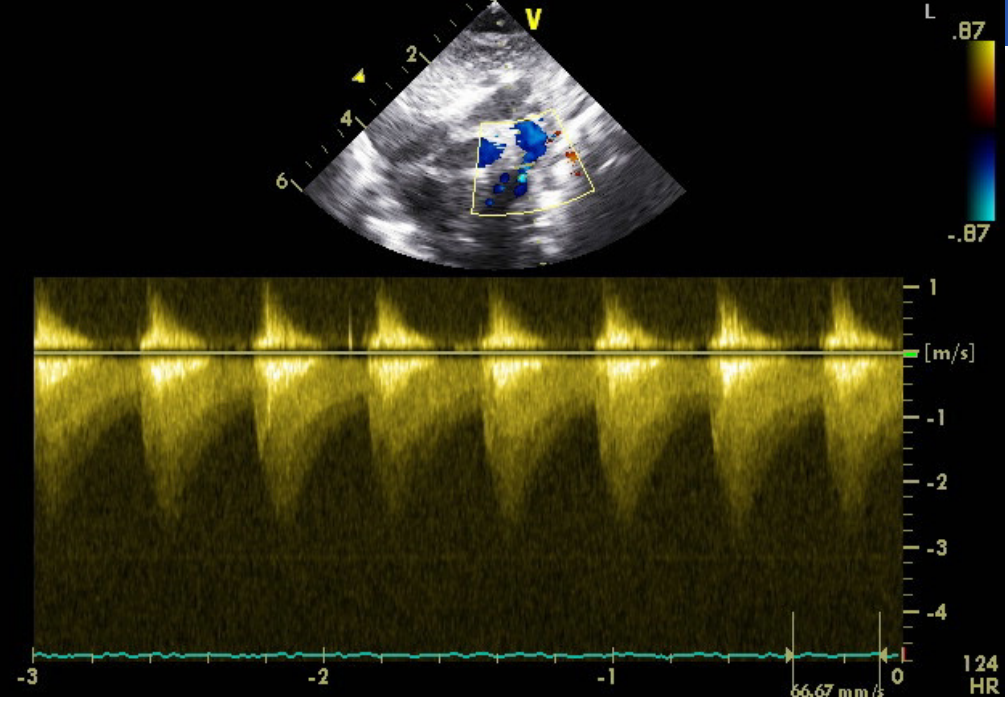


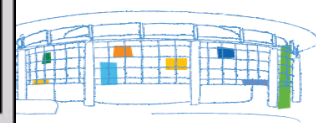
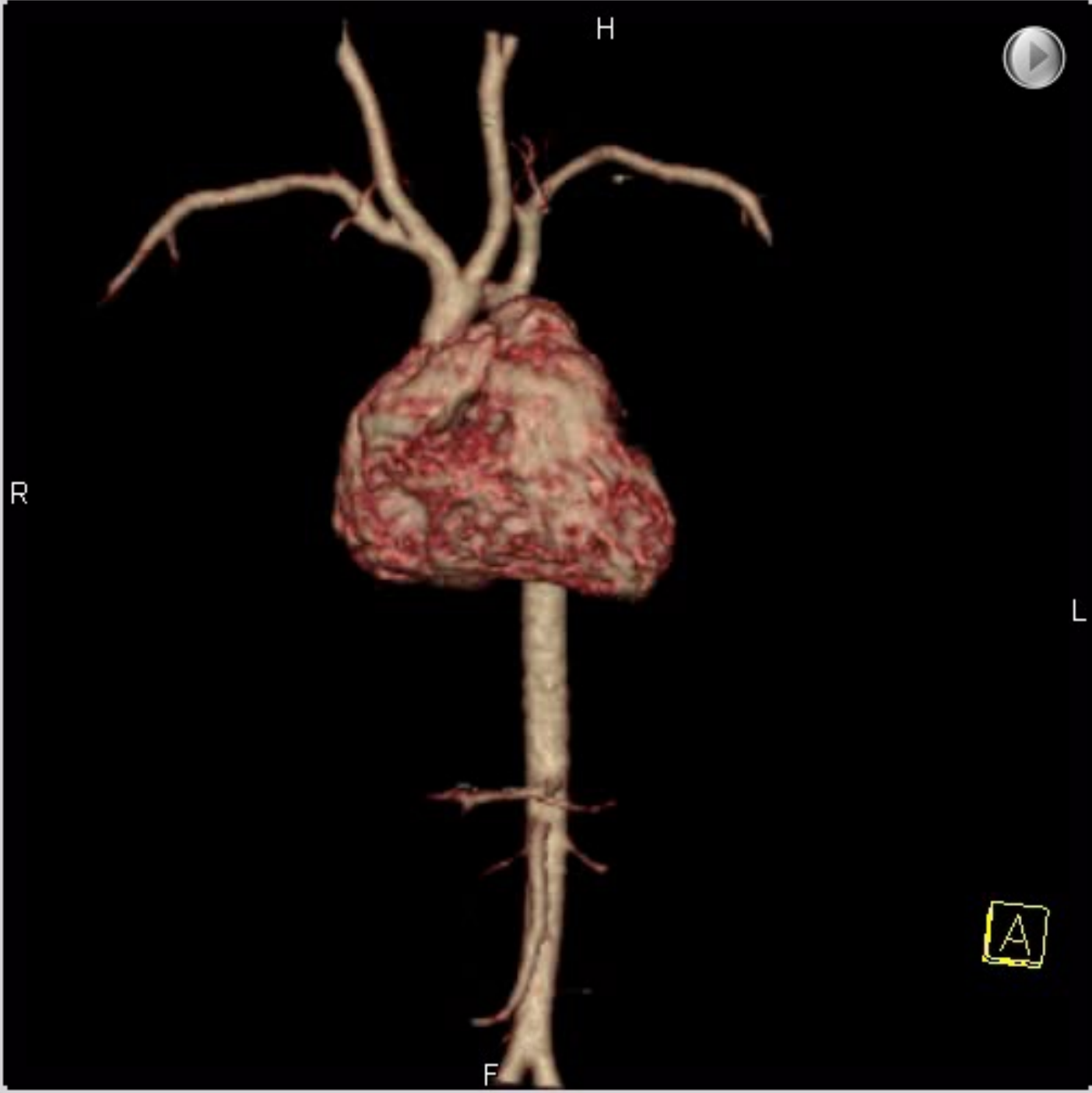
# 70 ans, bilan préopératoire de RA serré



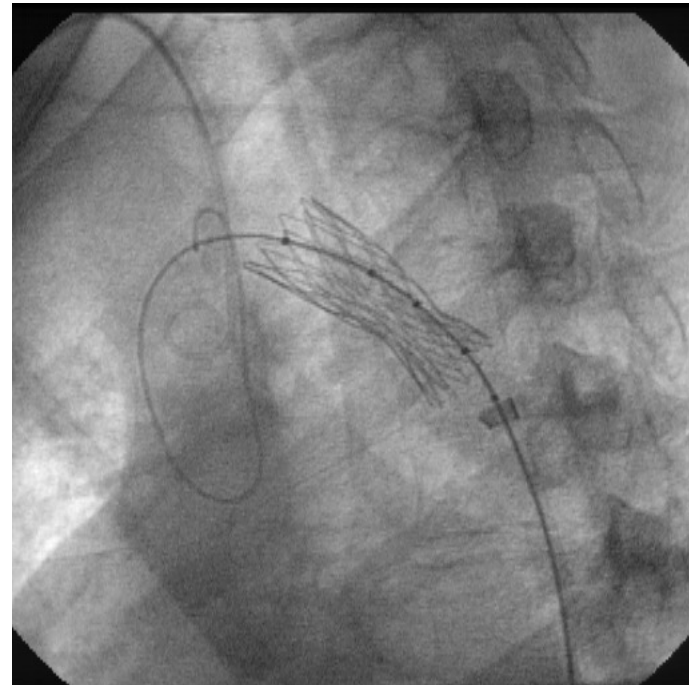
# Coarctations opérées

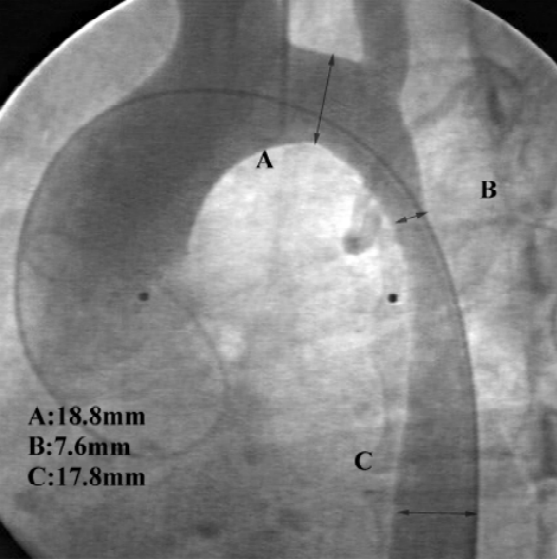
- Exercise-induced hypertension
- Late systemic hypertension
- Cerebrovascular accidents
- Premature coronary atherosclerosis
- Endocarditis
- Bicuspid aortic valve
- Aortic aneurysms or dissection
- Recoarctation



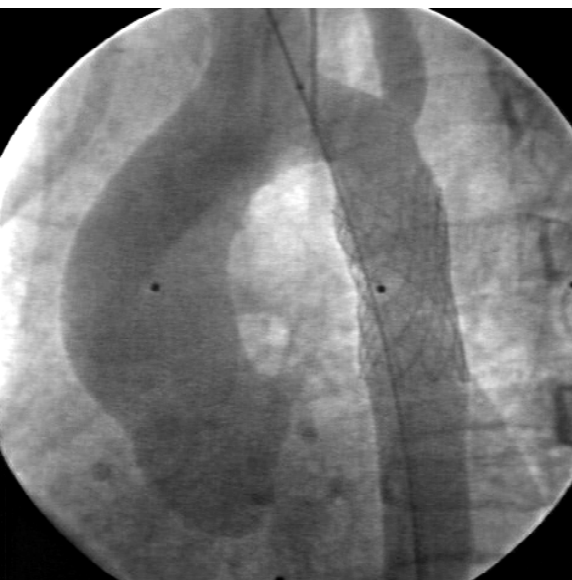


# Coarctation de l'aorte native et récidive post opératoire





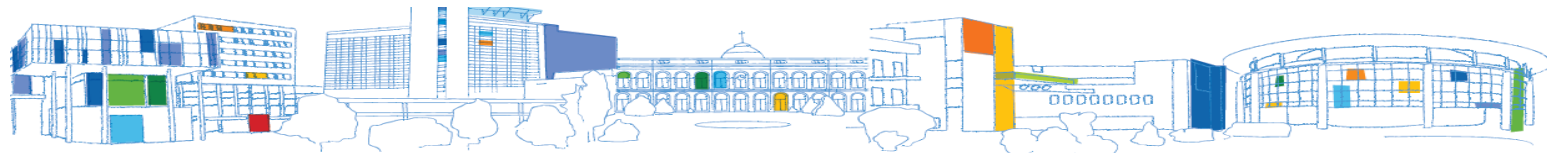
A:18.8mm  
B:7.6mm  
C:17.8mm



F

# Coarctation de l'aorte

- SEQUELLES ET COMPLICATIONS :
  - Persistance HTA (opération tardive)
  - Recoarctation ou coarctation résiduelle
    - différence TA MS / MI > 20mmHg, HVG
    - aspect rétréci de la zone d'anastomose
    - flux aorte descendante > 3 m / sec,
    - prolongement diastolique ++
- Anomalies associées :
  - bicuspidie aortique (RAO, IAO) (30 - 80 % des cas)
  - autres anomalies du cœur G : mitrales, aortiques
  - Dilatation anévrysmale de l'aorte ascendante



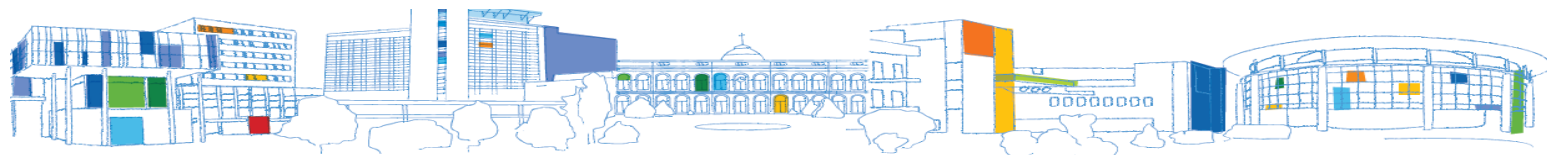
# Sport après cure de coarctation de l'aorte

## ■ PTE normal :

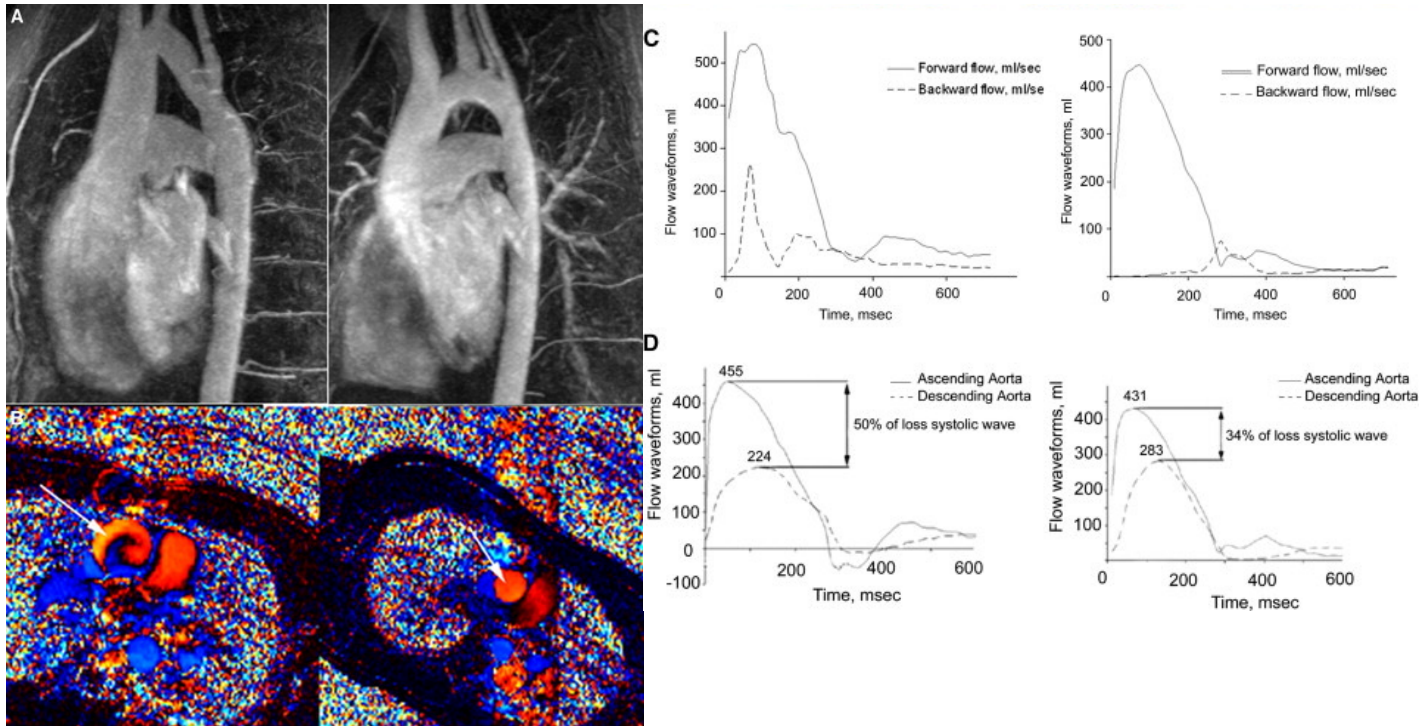
- PAS  $\leq$  200 mmHg (enfants)
- PAS  $\leq$  230 mmHg (adolescents)
  - → Sports dynamiques recommandés

## ■ PTE anormal :

- PAS  $\geq$  200 mmHg (enfants)
- PAS  $\geq$  230 mmHg (adolescents)
  - → Sports à faible contrainte dynamique et statique
  - → Réinvestigations ? Traitement ?



# Relation between aortic arch geometry and fluid dynamics

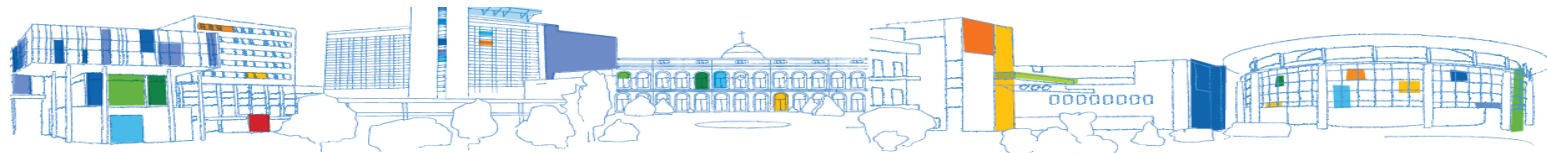


A, Gothic (*left*) and Romanesque (*right*) arch. B, Color technique applied in a section of the ascending aorta, which separates the forward flow (*red*) and backward flow (*blue*) during a cardiac cycle.

Ou P. J Thorac Cardiovasc Surg. 2008

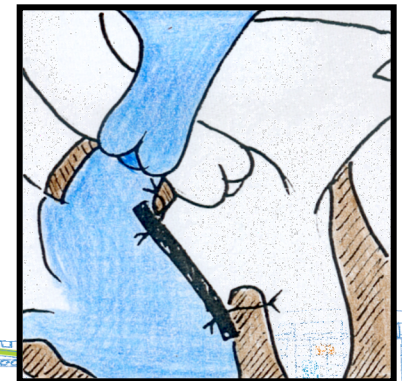
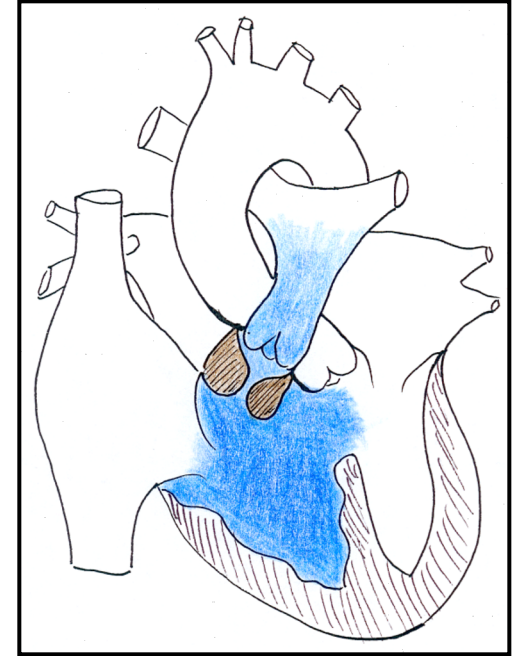
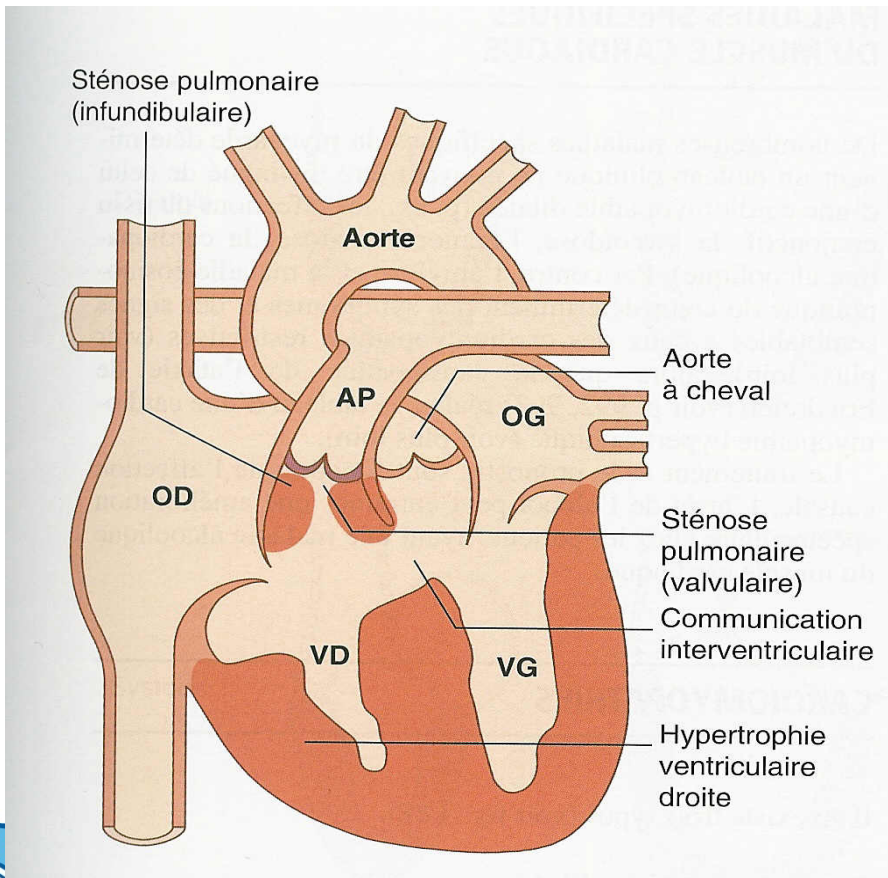
# Plan

- Cardiopathies complexes opérées



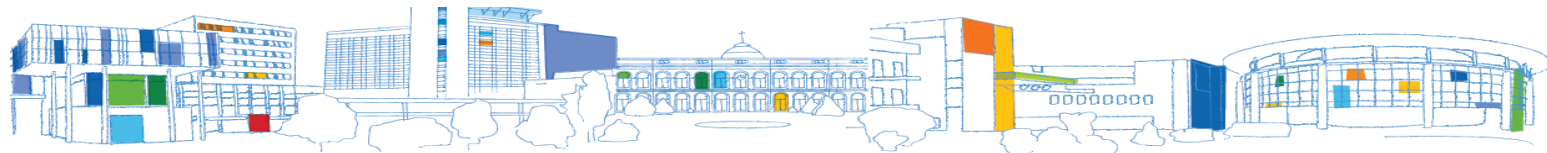
# Tétralogie de Fallot

7% des cardiopathies congénitales



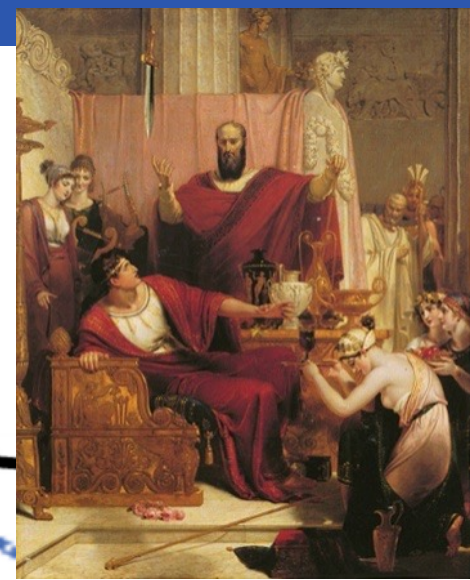
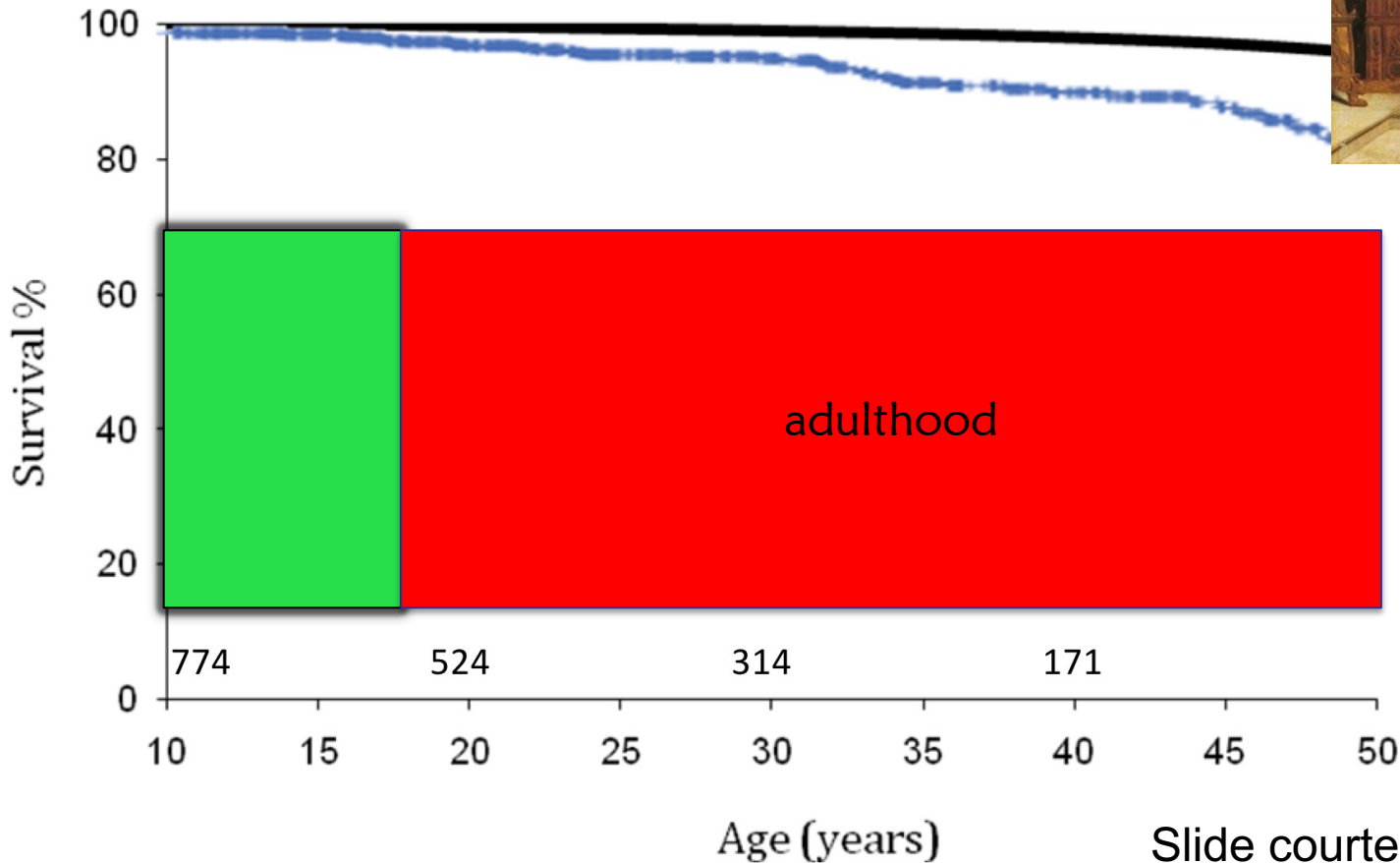
# Suivi médico chirurgical

- Evaluation de la fonction VD/VG et lien avec les surcharges de volume et de Pression et les lésions associées
- Traitement de la voie droite
- Traitement des lésions associées
- Traitement du risque rythmique
- Traitement électrique de l'insuffisance cardiaque



# Why follow-up is important?

GOSH



Slide courtesy of A Frigiola

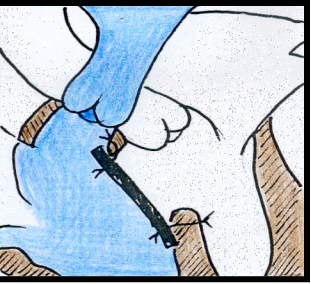
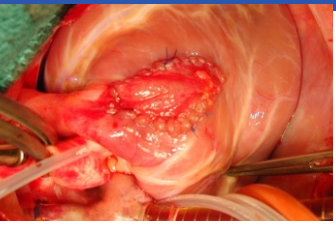


# Arythmies

- $\frac{1}{3}$  to  $\frac{1}{2}$  of deaths in adult TOF are sudden
- 100% of TOF pts with sudden death has moderate or severe PR
- QRS  $>$  180 ms &/or an increase in QRS duration
  - $>$  3.5 ms/year predicts ventricular arrhythmia and sudden death

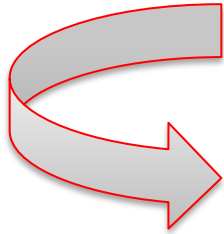


# Repaired T4F pathophysiology



PA branch stenosis

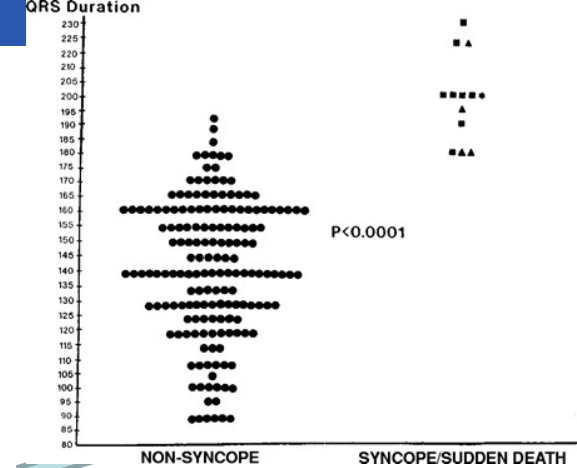
PR



Chronic volume overload

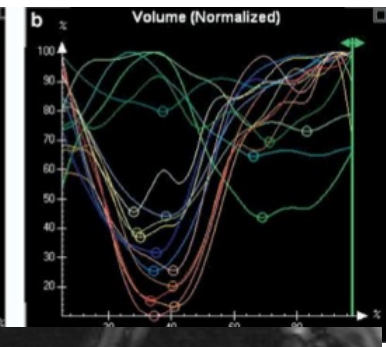
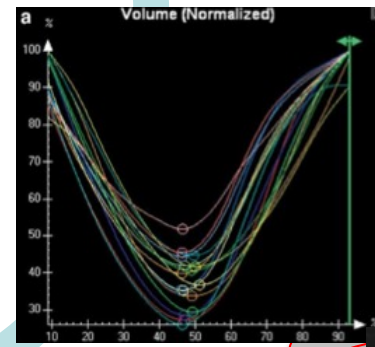


RV dilatation

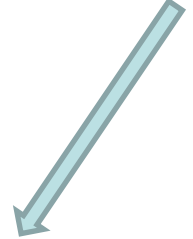


RV/LV Interaction

- asynchronism
- P/V curve change

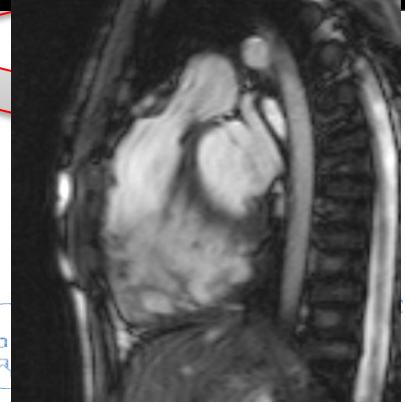
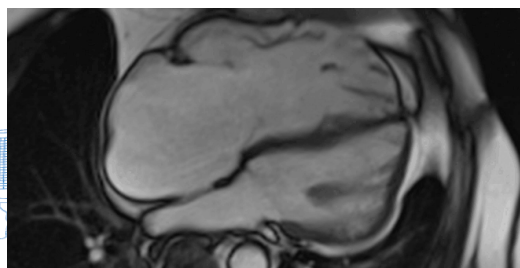


RA Dilatation

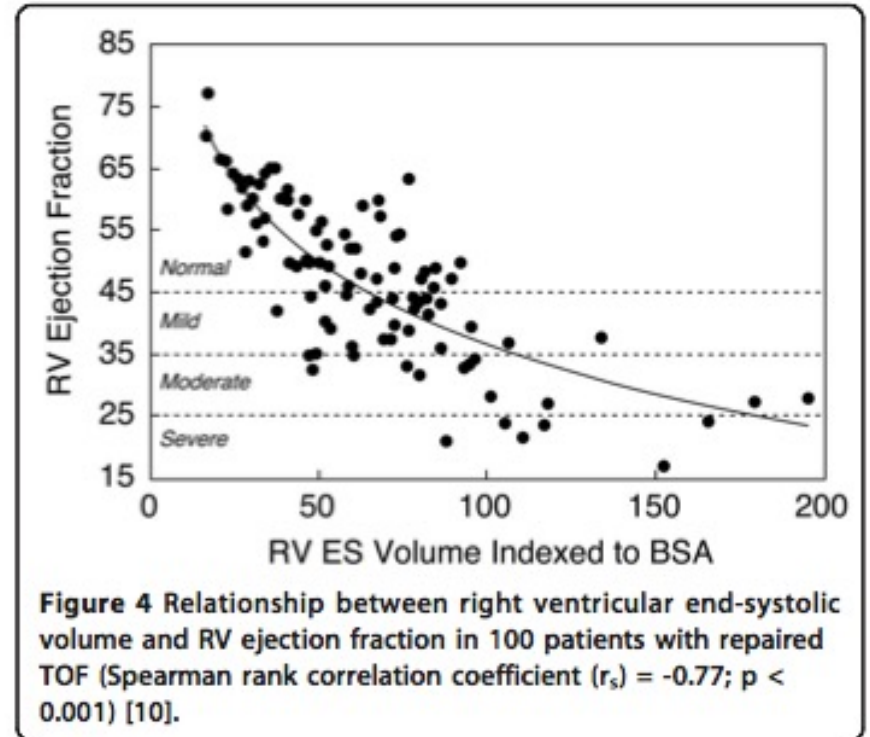
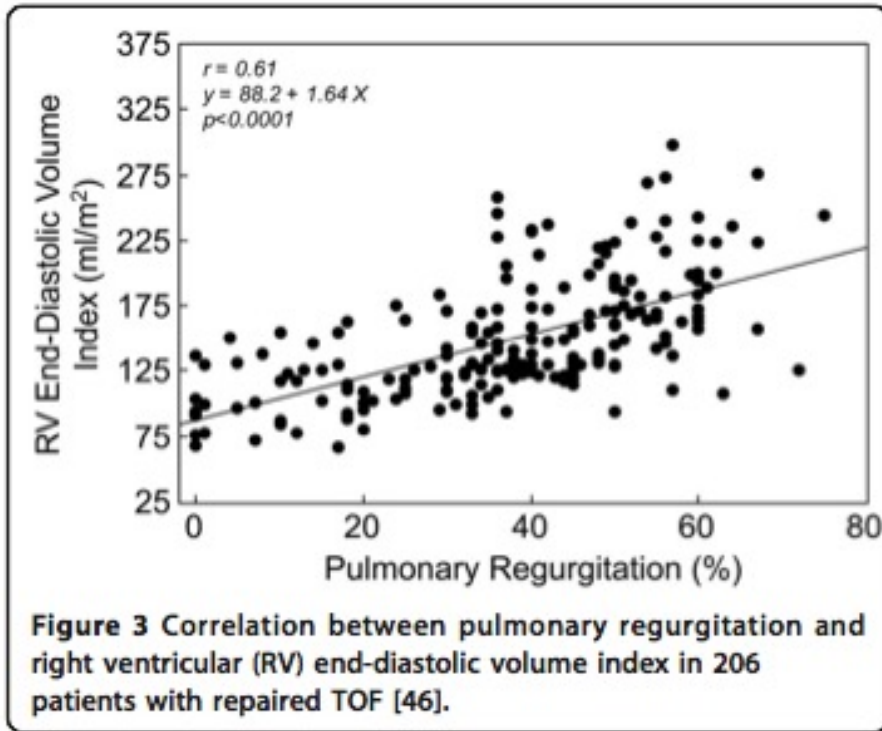


atrial arrhythmia

TR



# Effects of chronic volume overload

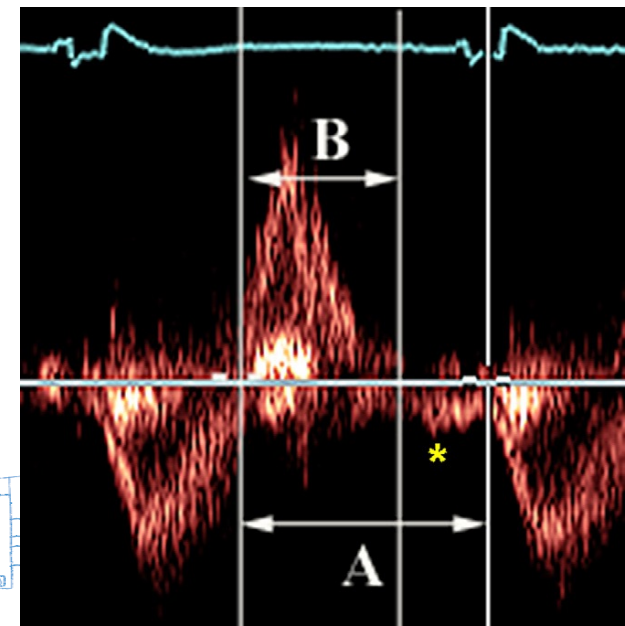
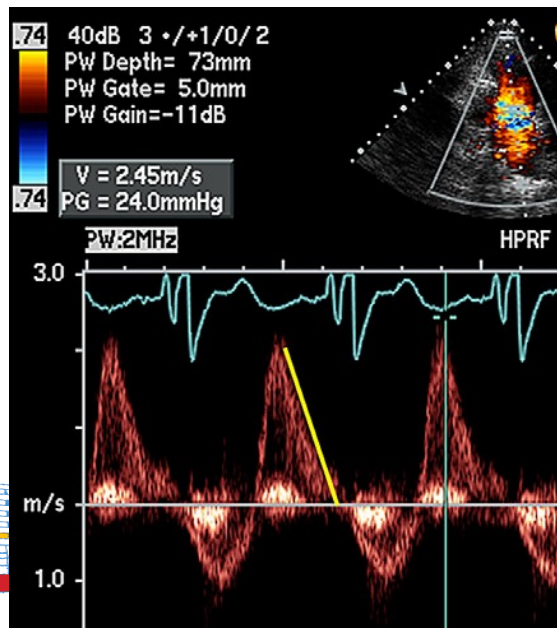
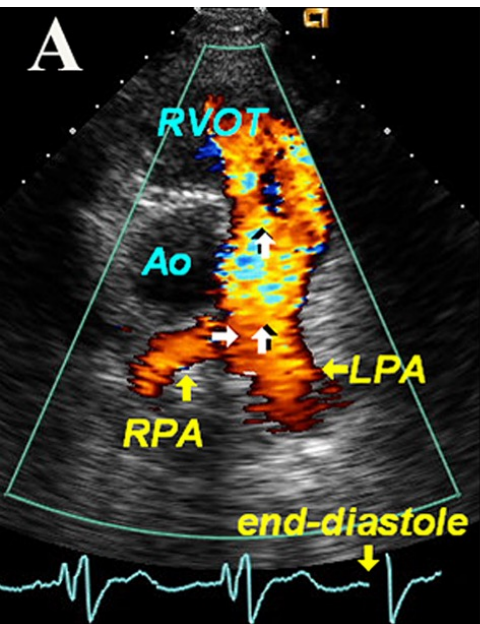


Samyn et al, J Magn Reson Imaging 2007

Geva et al, J Am Coll Cardiol 2004,

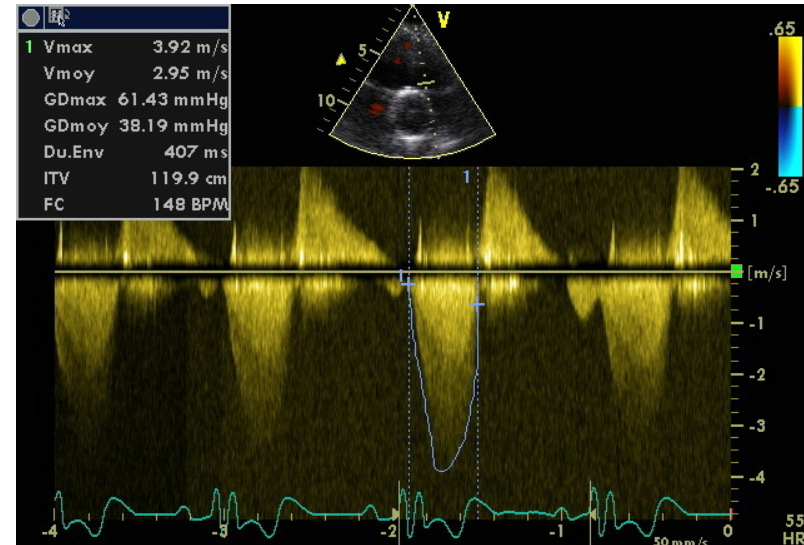
# PR evaluation

	Mild PR	Moderate PR	Severe PR
diastolic reversal flow	Pulm annulus	Pulm trunk	Pulmonary Branches
Jet width/ RVOT Ø	<1/3	1/3-2/3	> 2/3
PHT			<100ms
Duration PR/ duration of diastole			>0.77



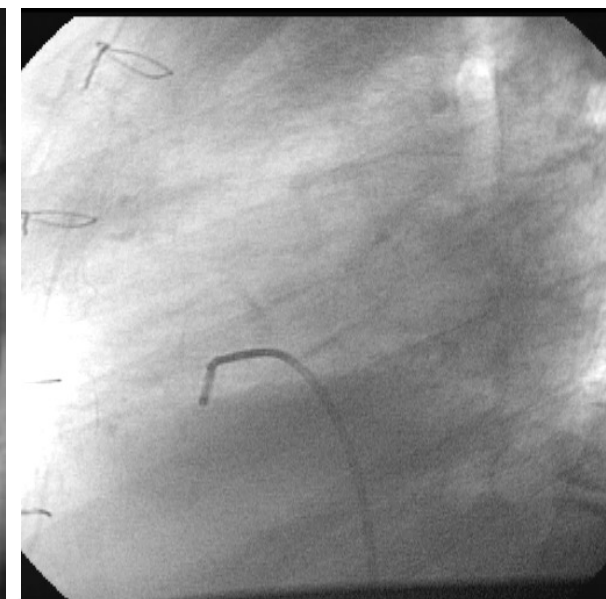
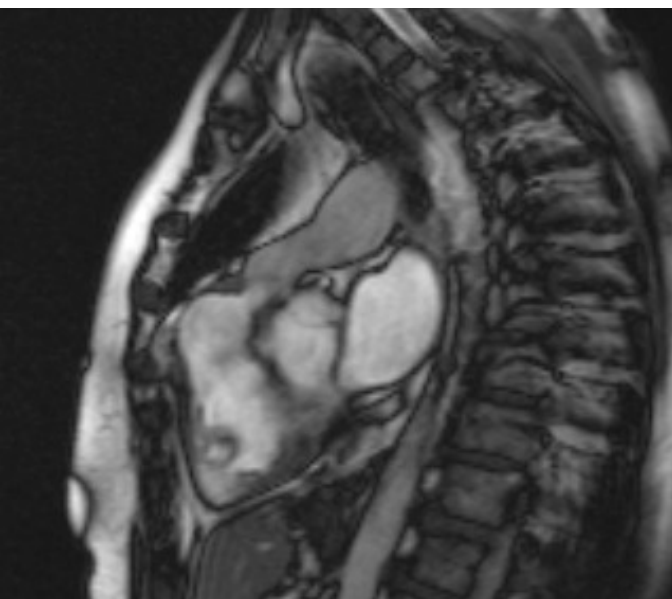
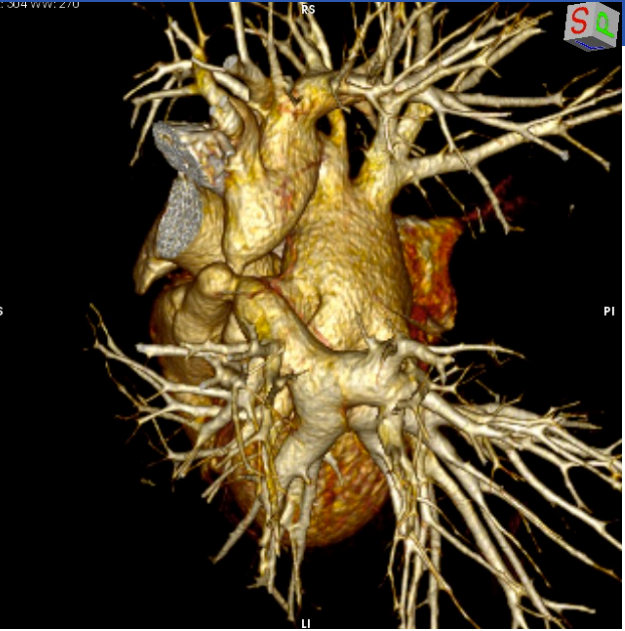
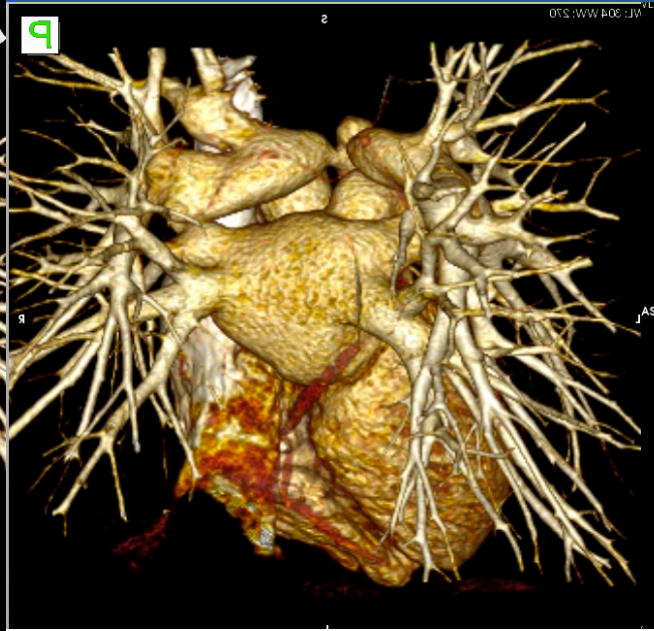
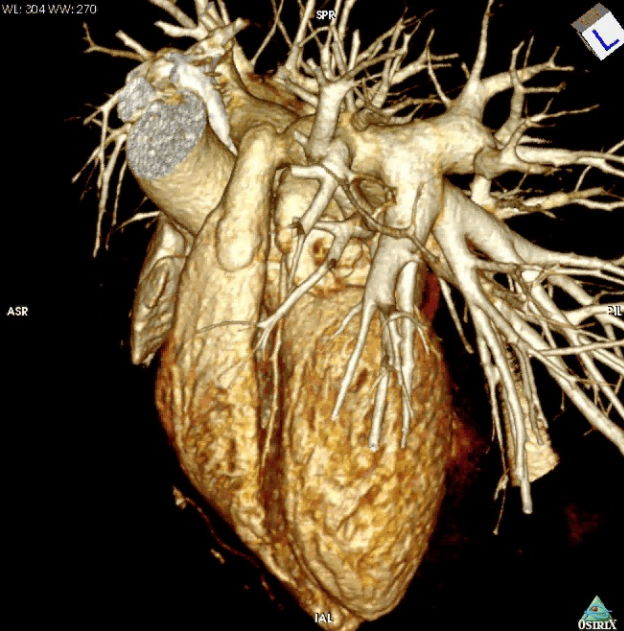
# Pulmonary stenosis

- Continuous-wave doppler estimates
  - RVOTO
  - Peripheral branch stenosis
  - May limited by
    - Suboptimal angle
    - Suboptimal acoustic window
    - Distal stenosis



- Complementary imaging modalities are useful
  - MRI, CT





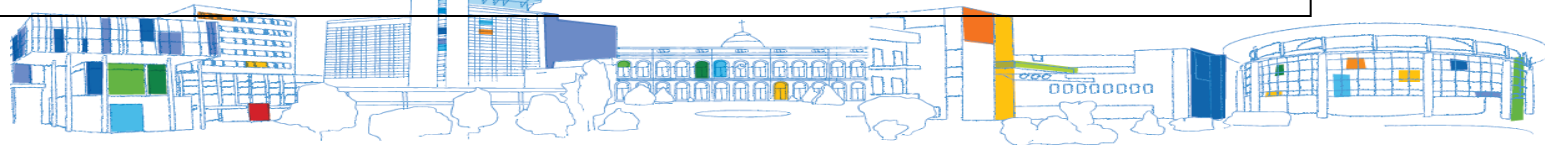
# Apport de l'imagerie en coupe

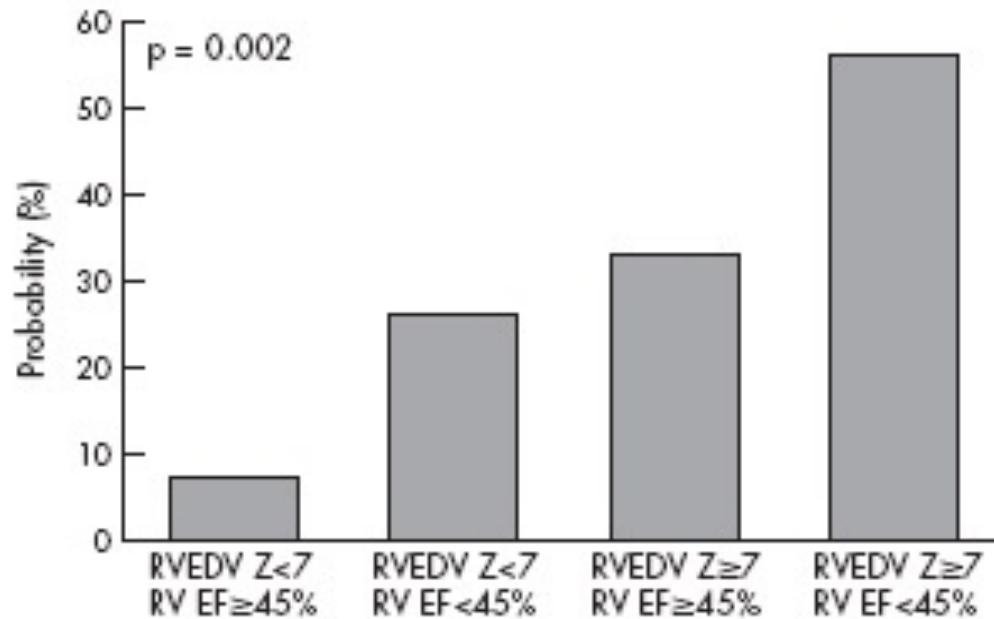
- analyse des structures extracardiaques
- quantification des volumes et des fonctions VG/VD (gold standard)
- analyse des zones de fibrose
- quantification des valvulopathies et des shunts

## Indication de valvulation pulmonaire des Fallot opérés:

- VTD > 150 ml/m<sup>2</sup>
- Anévrisme infundibulaire > 40 mm
- Altération de la fonction VD

Therrien J. Am J Cardiol 2005

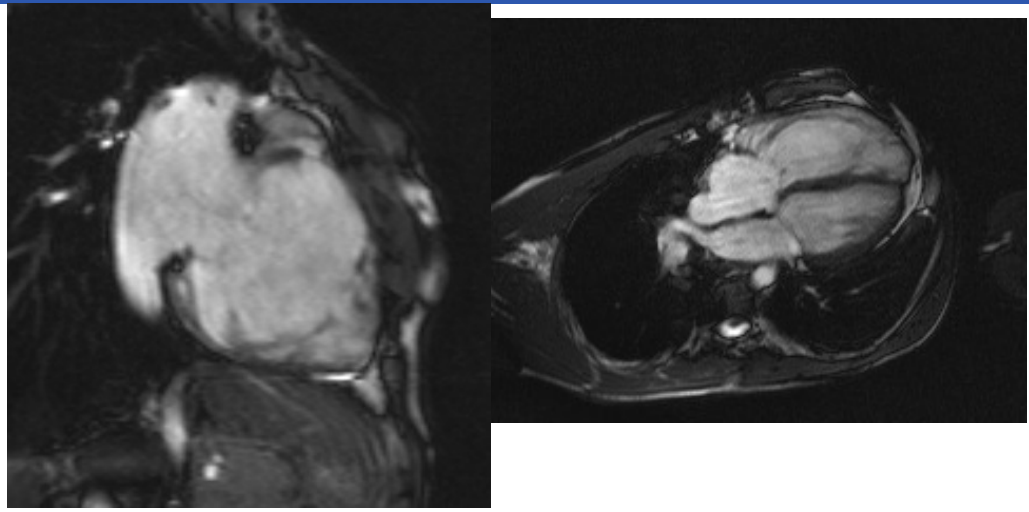




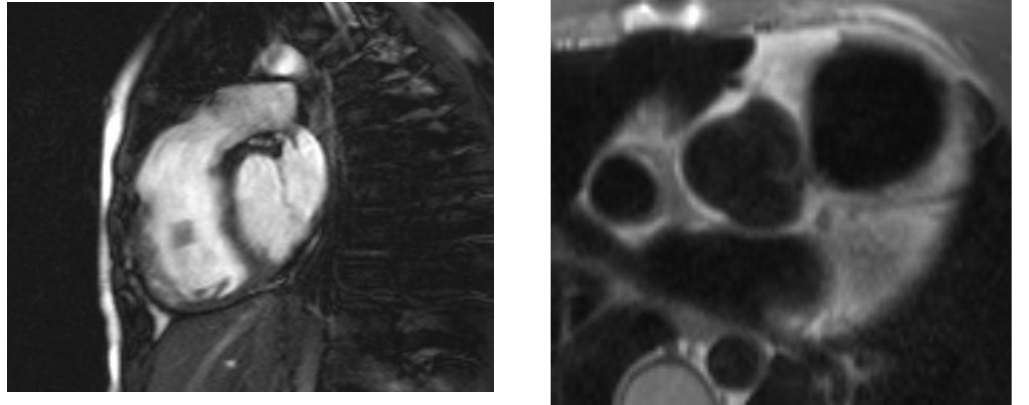
**Figure 1** Probability of major adverse clinical outcomes based on multivariate logistic regression model containing right ventricular end-diastolic volume (RVEDV) Z-score and right ventricular ejection fraction (RV EF).

**Ventricular size and function assessed by cardiac MRI predict major adverse clinical outcomes late after tetralogy of Fallot repair**

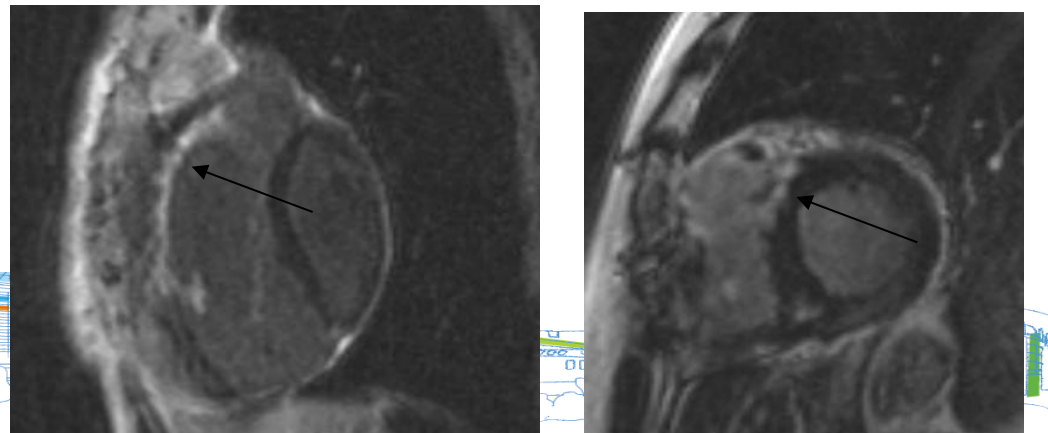
◆ Fonction et volumes



◆ Morphologie et mesure de l'anévrysme infundibulaire



◆ Fibrose analyse du réhaussement tardif



# Indications for PVR

## I Asymptomatic pts with 2 or > of the following criteria

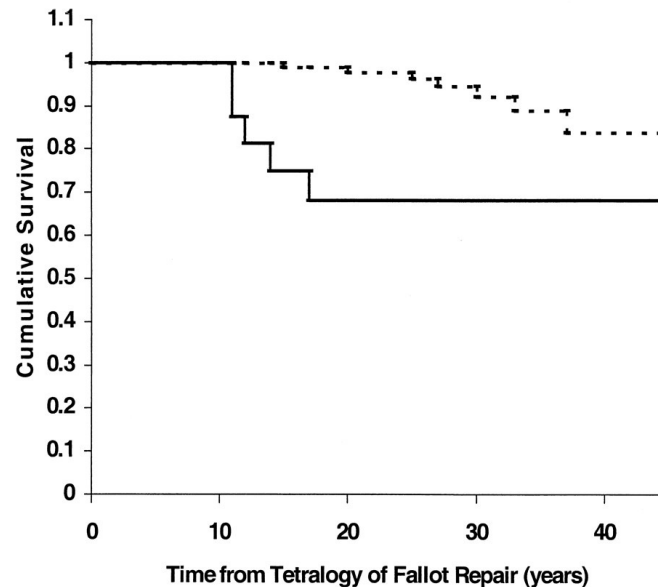
- RV EDV >150 ml/m<sup>2</sup> or RV/LV EDV volume >2
- RV ESV >80 ml/m<sup>2</sup>
- RV EF <47%
- LV EF <55%
- QRS duration >140 ms, sustained tachyarrhythmia

## II Hemodynamically significant lesions

- RVOTO with RV systolic pressure 2/3 systemic
- Severe branch PAs stenosis
- Moderate TR
- L to R shunt with Qp:Qs ≥1.5
- Severe AR
- Severe aortic dilatation (diameter 5 cm)

# Tétralogie de Fallot

Left ventricular dysfunction is a risk factor for sudden cardiac death in adults late after repair of tetralogy of fallot

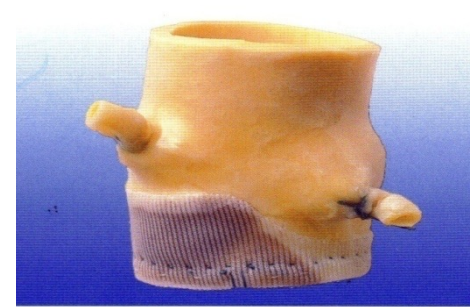
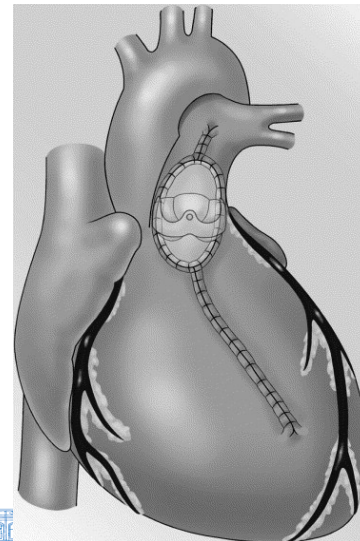
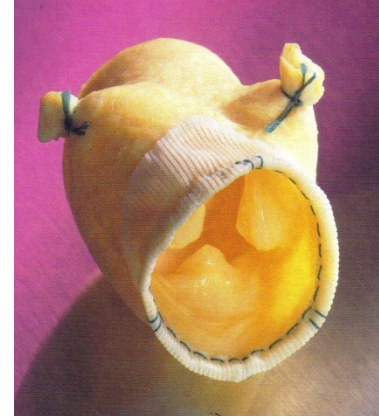
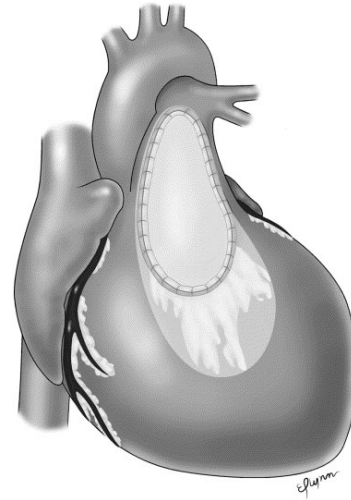


	0	10	20	30	40
Normal or mild LV systolic dysfunction (n)	121	121	119	116	114
Moderate or severe LV systolic dysfunction (n)	16	16	11	11	11

Kaplan-Meier survival curve beyond the age of 18

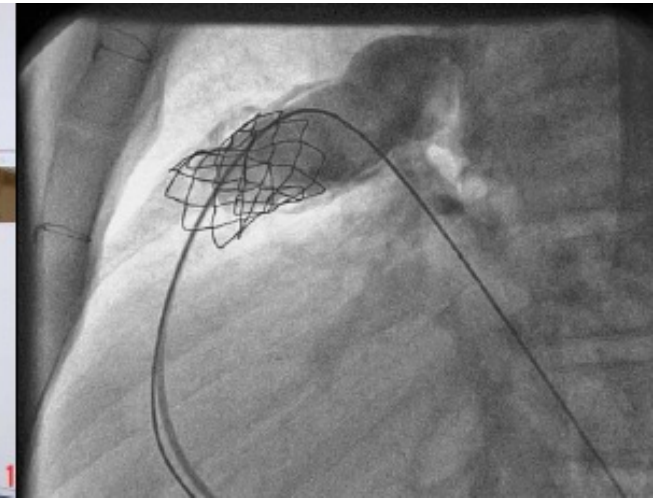
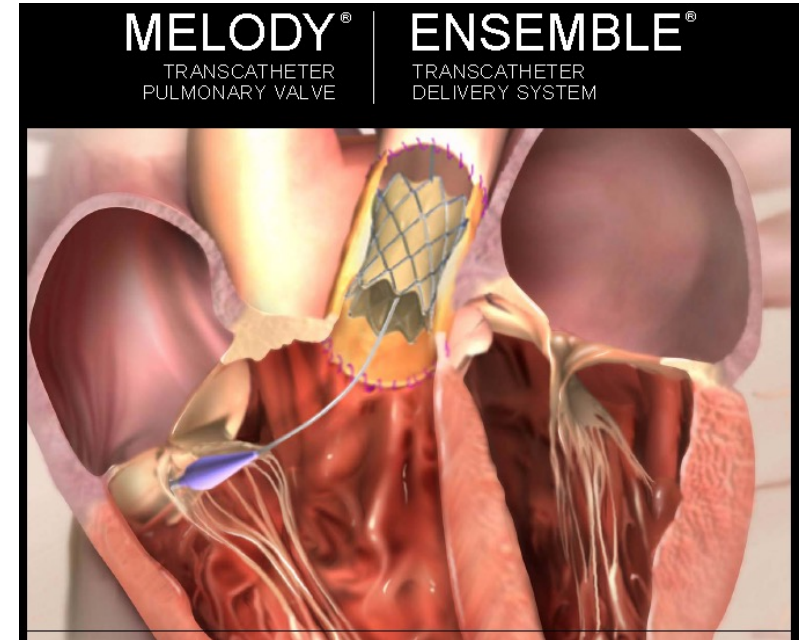
# Place de la chirurgie

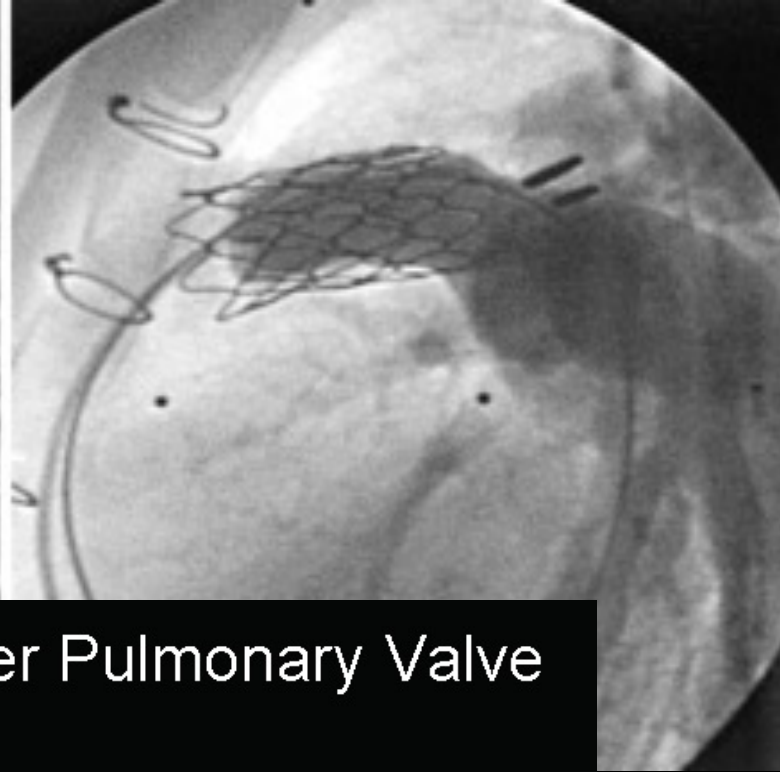
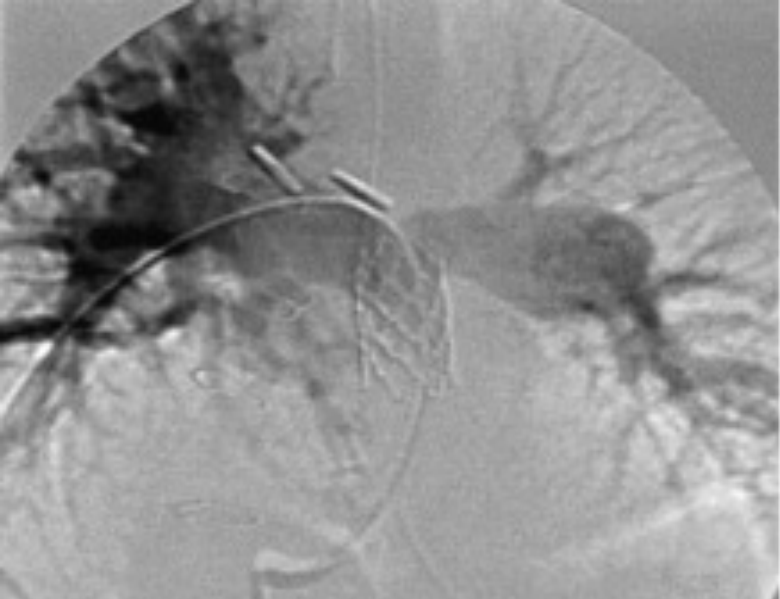
- ◆ Technique chirurgicale :
  - ◆ Remplacement valvulaire biologique
  - ◆ Gestes associés
    - › TAP
    - › IT
    - › infundibulum
    - › TDR
    - › CIV r
    - › Dilatation aorte



# Vavulation percutanée: « melody »

- ◆ Indication:
  - ◆ Homogreffe ou tube VD-AP
- ◆ Limite
  - ◆  $18 < \varnothing < 22$  mm

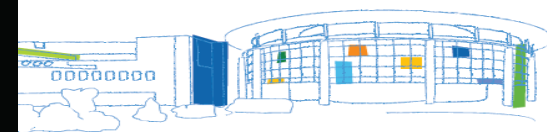




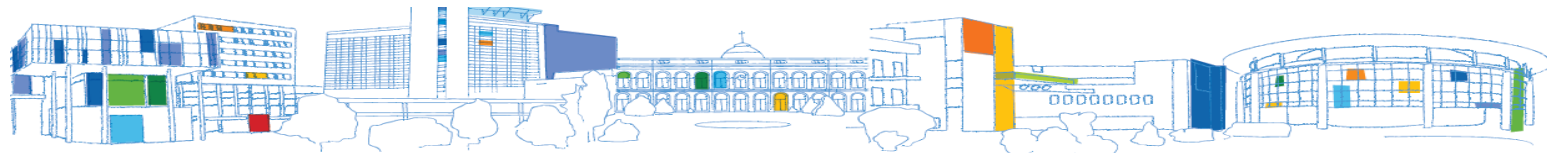
## Melody® Transcatheter Pulmonary Valve



- 18mm Contegra modified-bovine jugular vein with valve segment
- Balloon Expandable system
- NuMed Platinum Iridium Stent
  - 28 mm length
  - Crimped down to 6mm, re-expanded 18mm up to 22mm



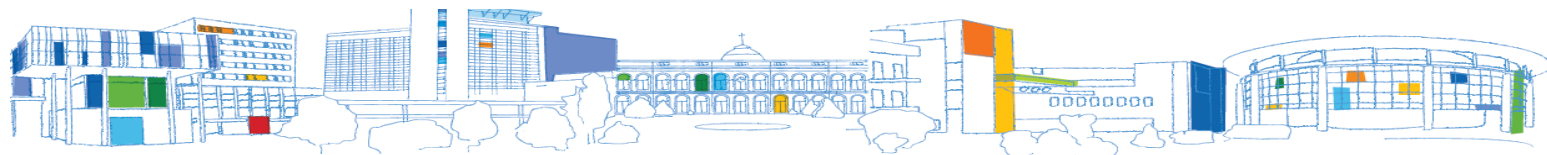
# VT in rTOF



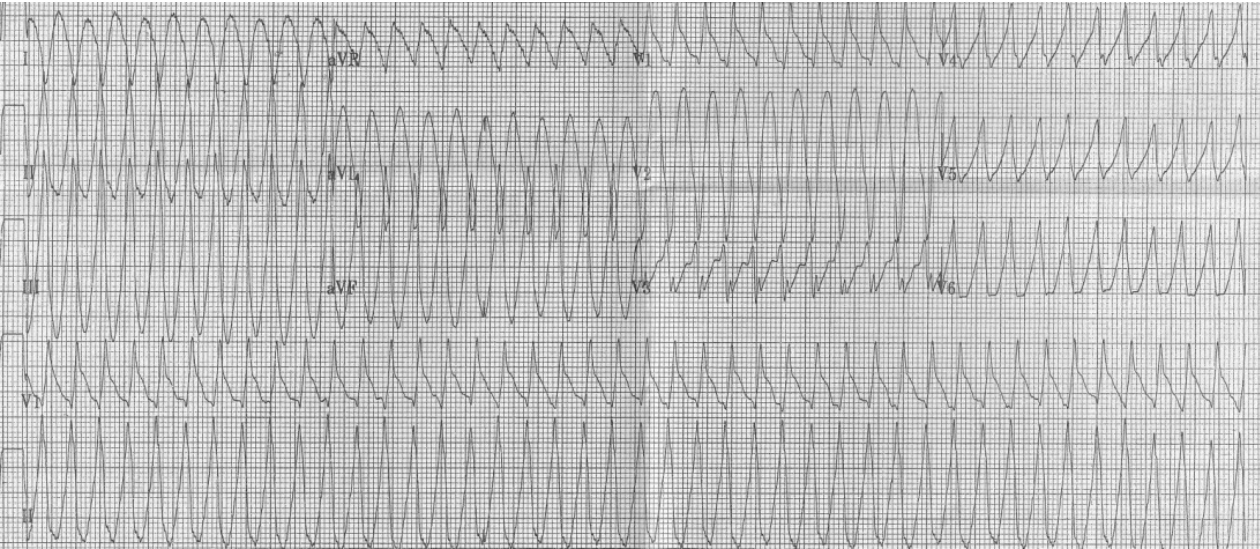
# Tétralogie de Fallot

## Cas clinique

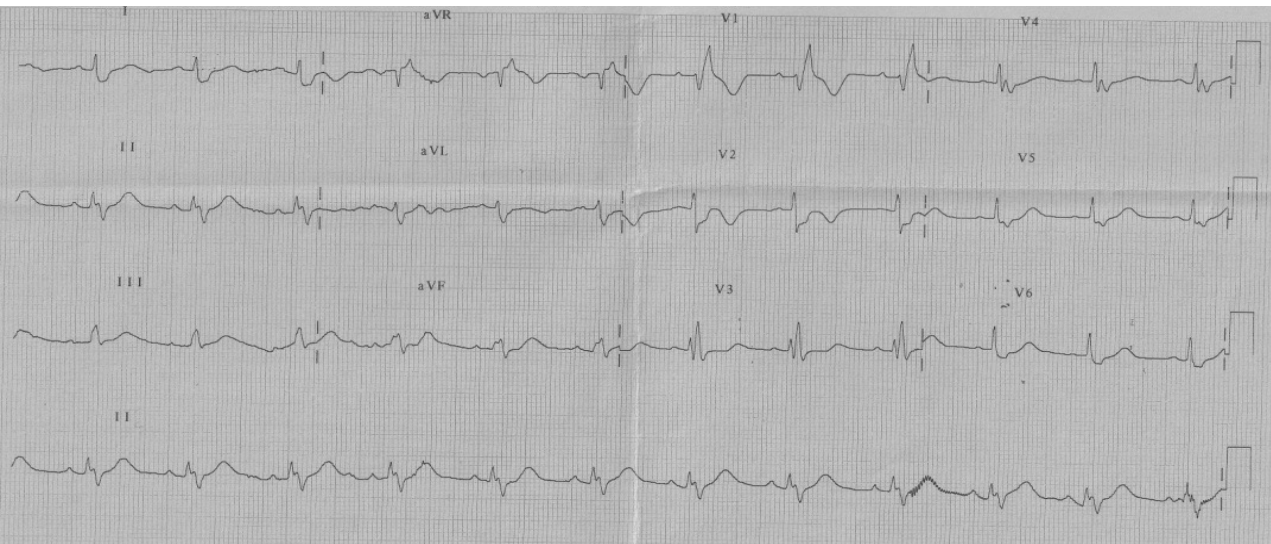
- Jeune femme 21 ans
- Correction complète à 9 mois
- Suivi dans l'enfance
- QRS 170ms , ETT: VD dilaté IP III
- Absence de suivi depuis 10 ans
- 1 Syncope en 2007 non explorée
- Hospitalisation en urgence pour malaise sans PCI



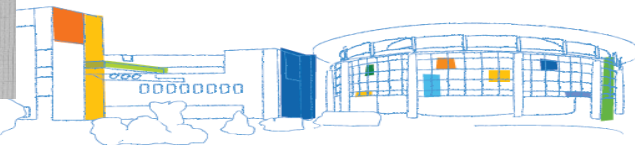
# Tétralogie de Fallot



**Hémodynamique instable  
TA 80/40**

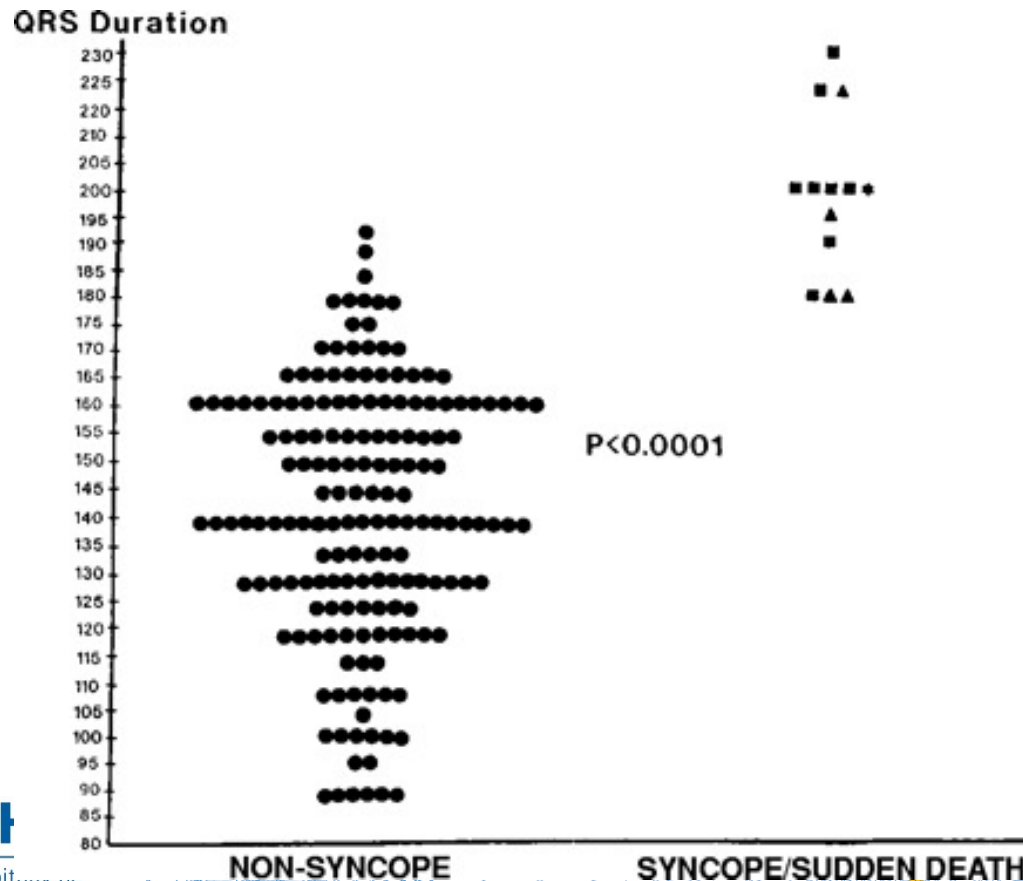


**Cardioversion sous AG  
200J retour rythme sinusal**



# Tétralogie de Fallot

## Corrélation largeur du QRS et mort subite



Gatzoulis Circ 1995

# Tétralogie de Fallot

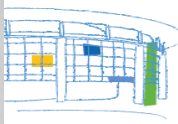
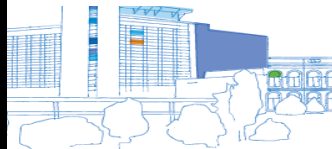
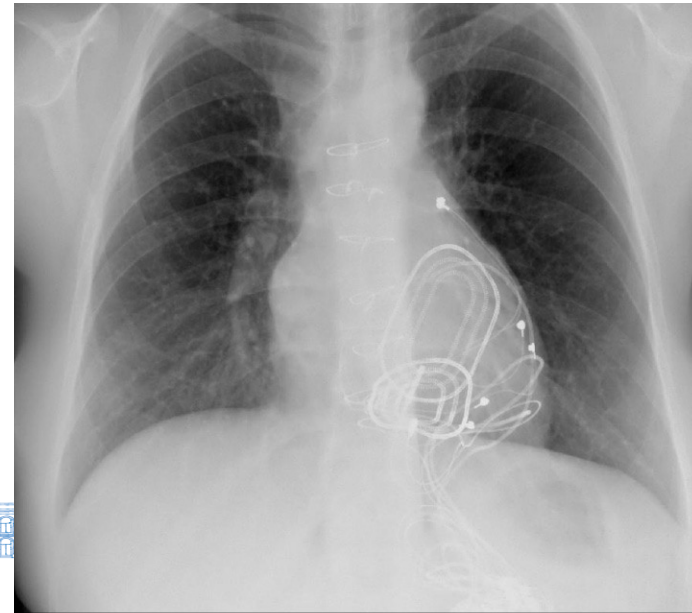
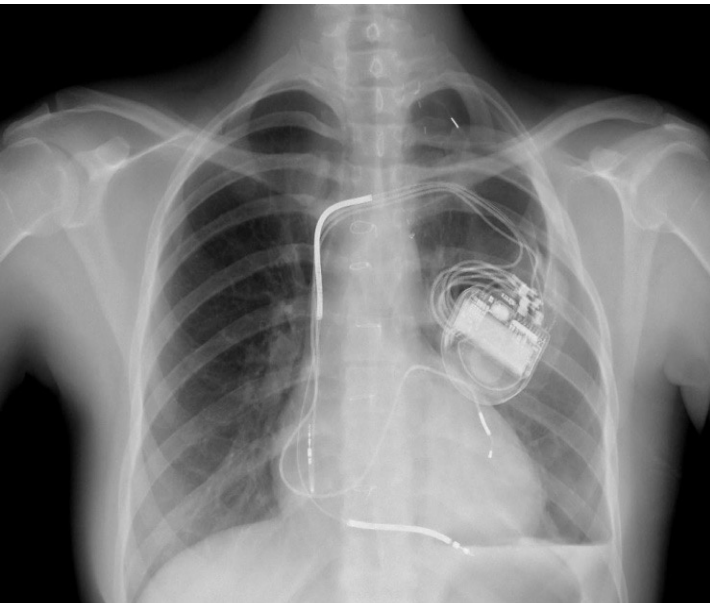
## ■ Prise en charge rythmique : indication du DAI

### Congenital Heart Disease

#### Implantable Cardioverter-Defibrillators in Tetralogy of Fallot

Paul Khairy, MD, PhD; Louise Harris, MD; Michael J. Landzberg, MD;  
Sangeetha Viswanathan, MRCPCH; Amanda Barlow, MD; Michael A. Gatzoulis, MD;  
Susan M. Fernandes, MHP, PA-C; Luc Beauchesne, MD; Judith Therrien, MD; Philippe Chetaille, MD;  
Elaine Gordon, MD; Isabelle Vonder Muhll, MD; Frank Cecchin, MD

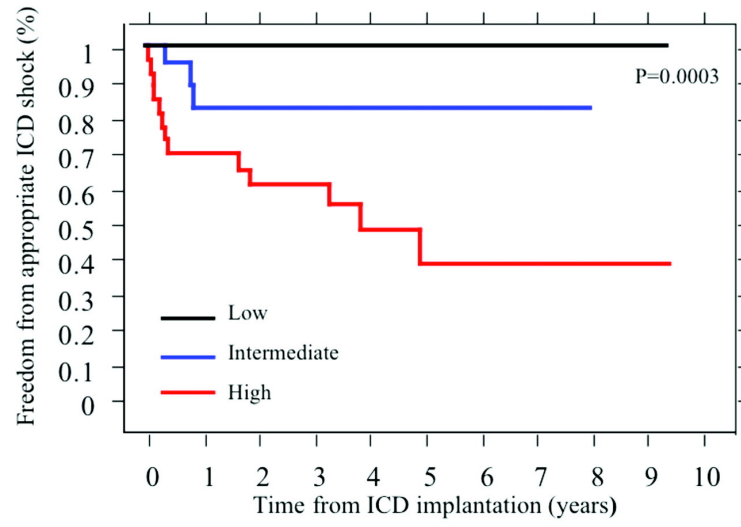
**Khairy, P. et al. Circulation 2008;117:363-370**



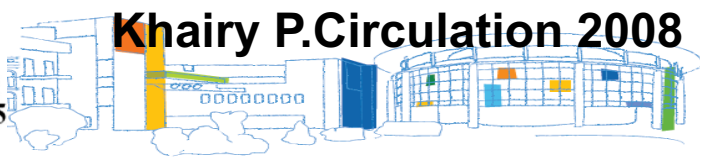
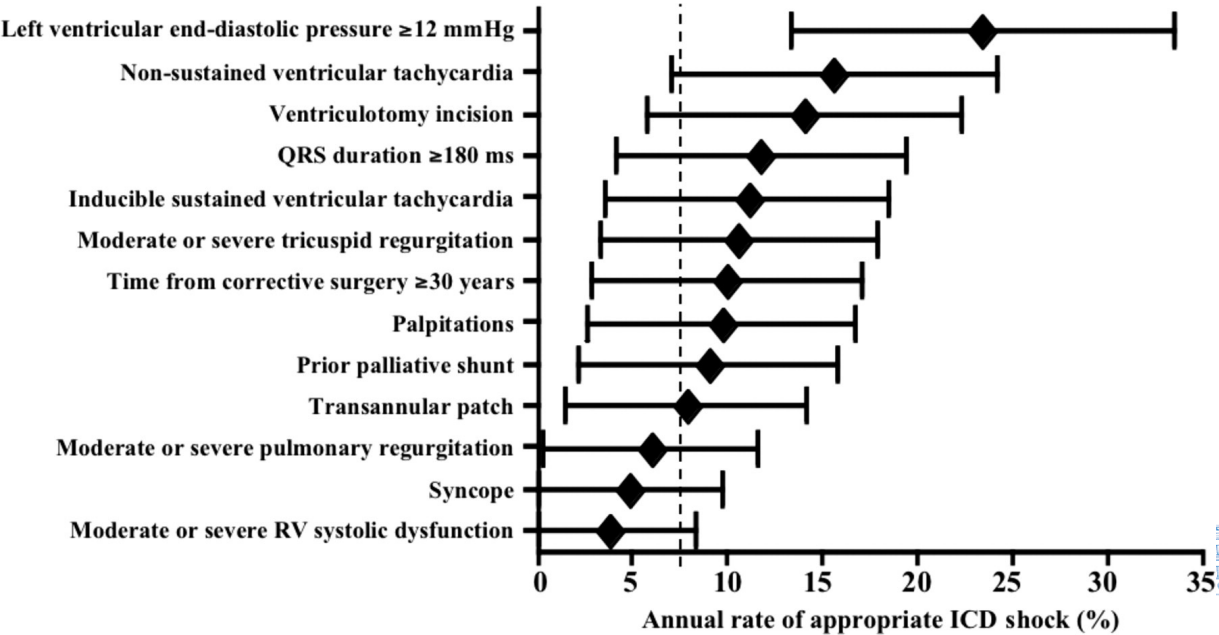
### Risk Score for Appropriate ICD Shocks in Primary Prevention

Prior palliative shunt	2
Inducible sustained ventricular tachycardia	2
QRS duration ≥ 180 ms	1
Ventriculotomy incision	2
Nonsustained ventricular tachycardia	2
LVEDP ≥ 12 mm Hg	3
<b>Total points</b>	<b>0-12</b>

### Freedom from appropriate ICD shocks in primary prevention according to risk category



Risk score	Risk category	N	Annualized rate of appropriate shocks
0-2	Low	18	0%
3-5	Intermediate	24	3.8%
6-12	High	26	17.5%



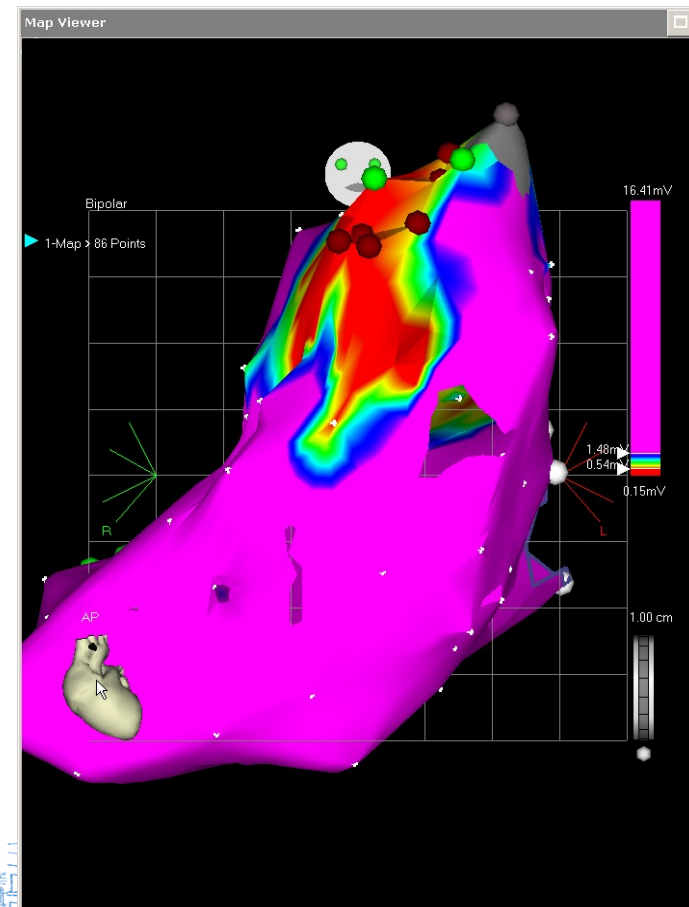
# Tétralogie de Fallot

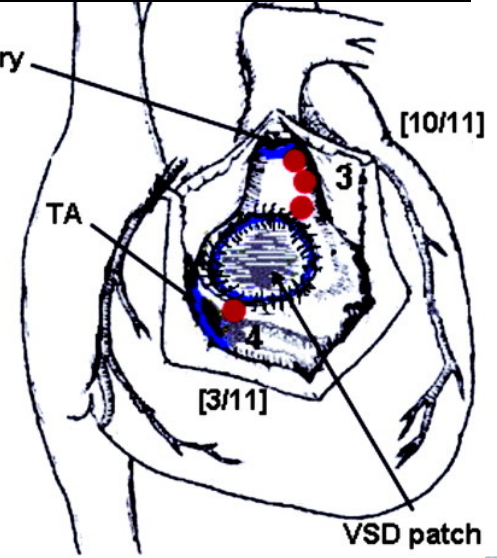
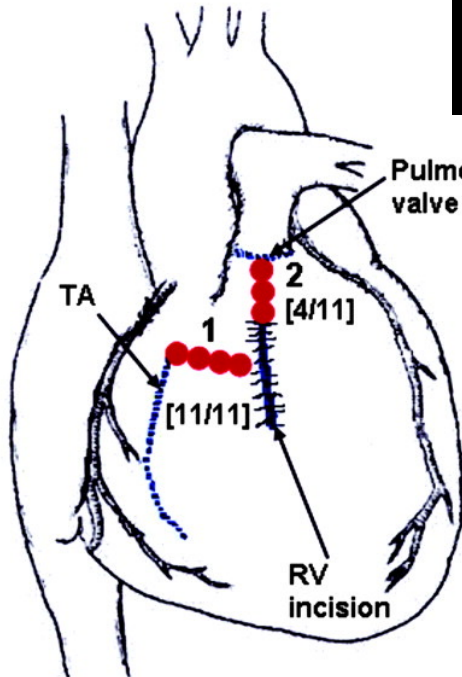
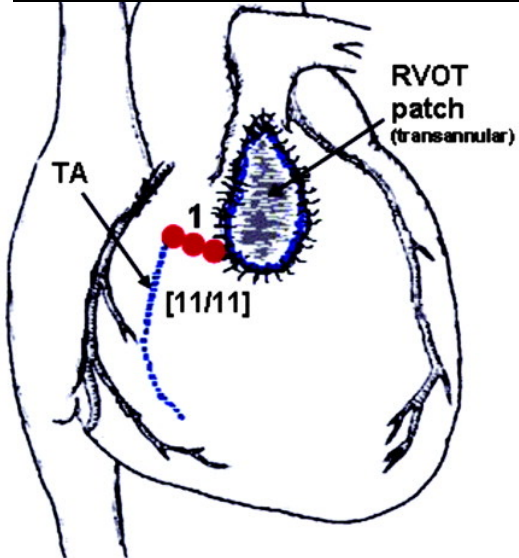
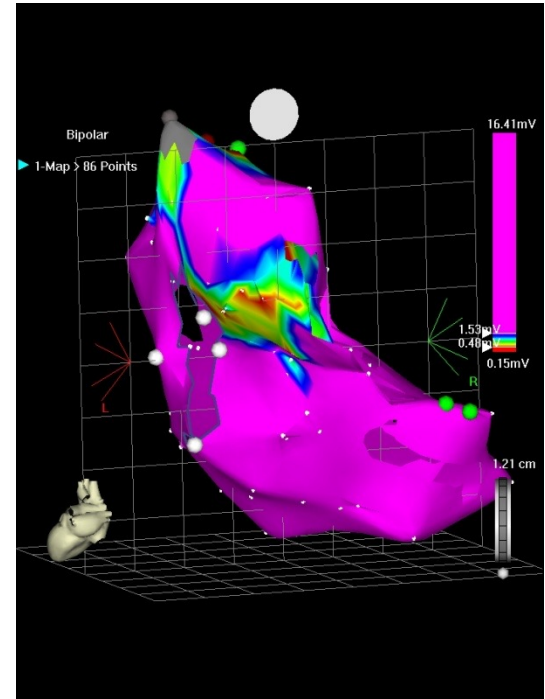
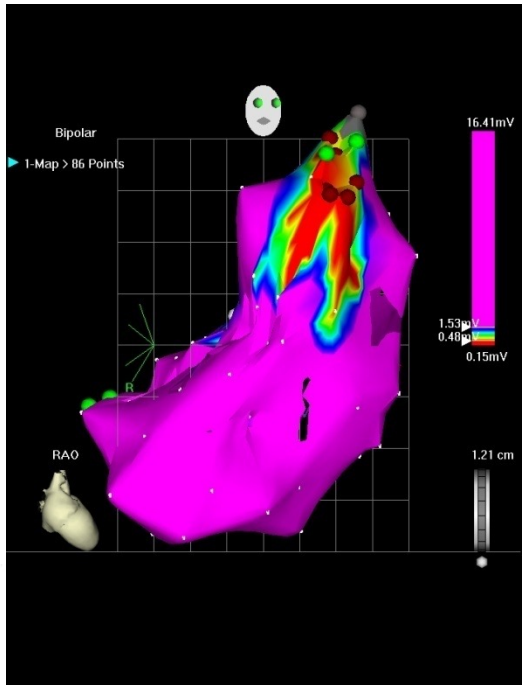
## ◆ Prise en charge rythmique: indication de l'ablation

Mapping endocavitaire  
et ablation par radiofréquence

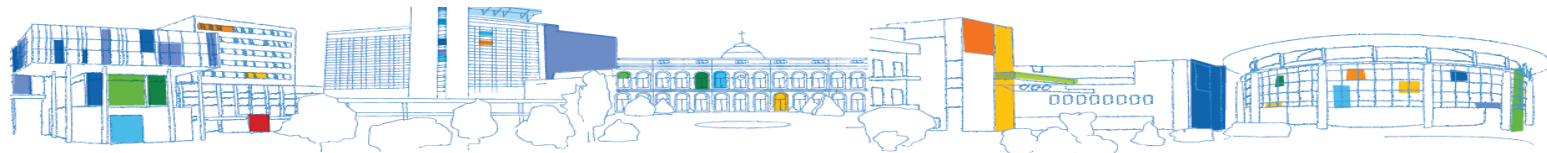
Indication:

- TV récidivante sous traitement médical
- traitement complémentaire du DAI
- Bilan systématique avant RVP (possibilité de TTT chir complémentaires)
- Traitement de première intention au CHU de Bordeaux +++++



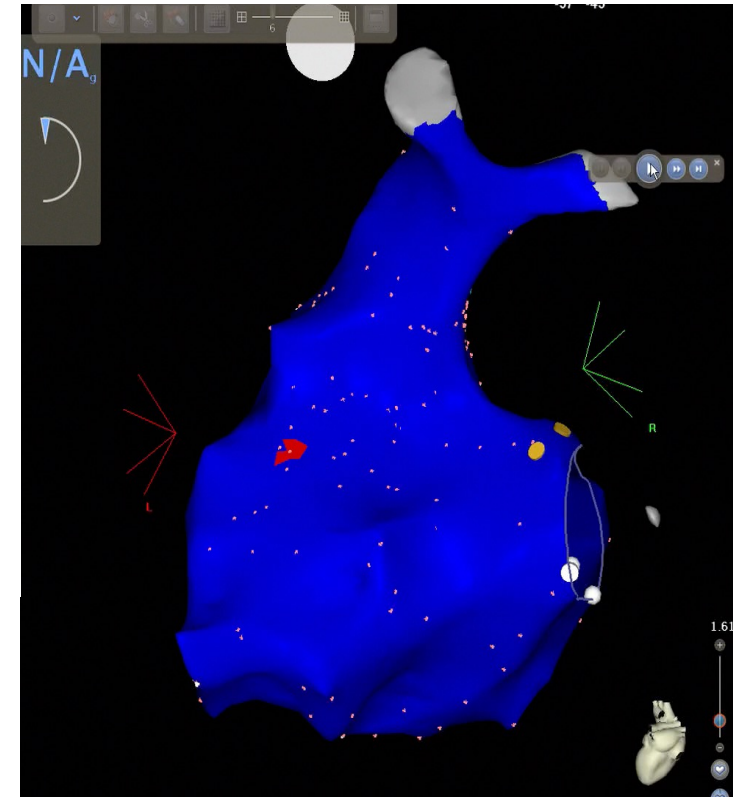
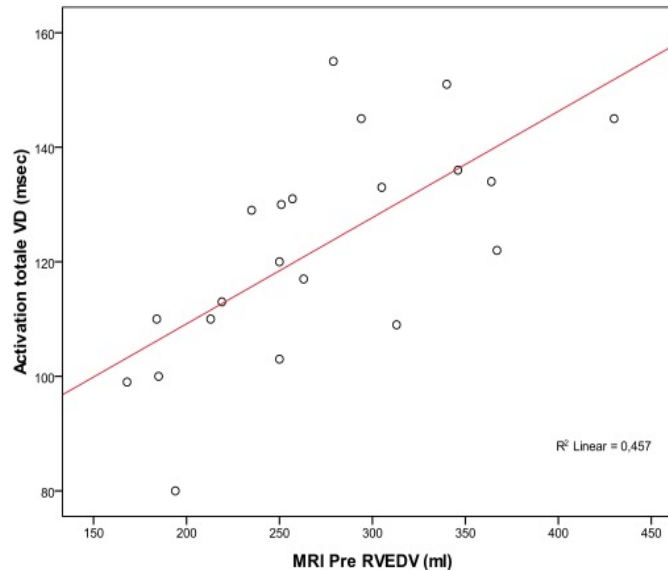


# CRT



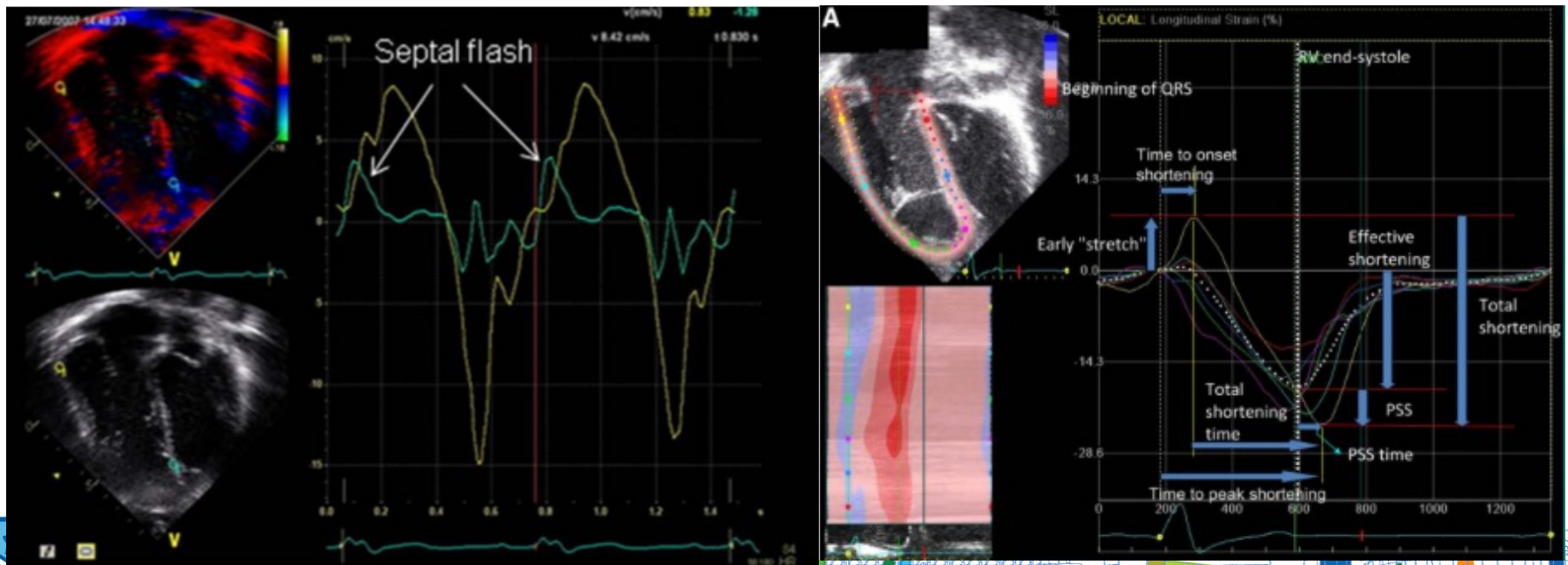
# Endocardial RV activation mapping

- Advantage of endocardial mapping
  - Septal activation
- Activation pattern
  - Starts from basal septum
  - Ends on the lateral wall
  - Late activation of the RVOT
- Conduction delay correlated with RV volume (MRI)
- Hypothesis
  - diffuse RV disease not limited to RVOT
  - Hemodynamic/electrical interaction



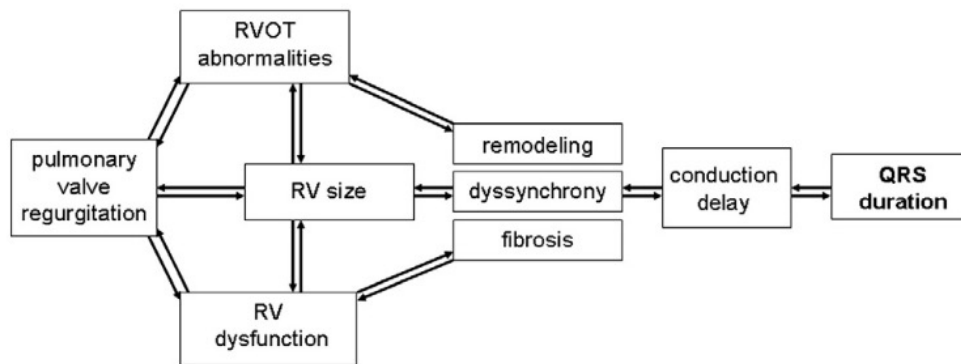
# RV mechanical activation pattern in rTOF

- Impact of dyssynchrony on RV function
- Abnormal mechanical activation pattern
  - Right sided septal flash/ early septal activation
  - Prestretch of laterobasal wall
  - Late contraction of laterobasal wall and PSS



# Conclusion

- CRT indication for RV failure: complementary to PVR

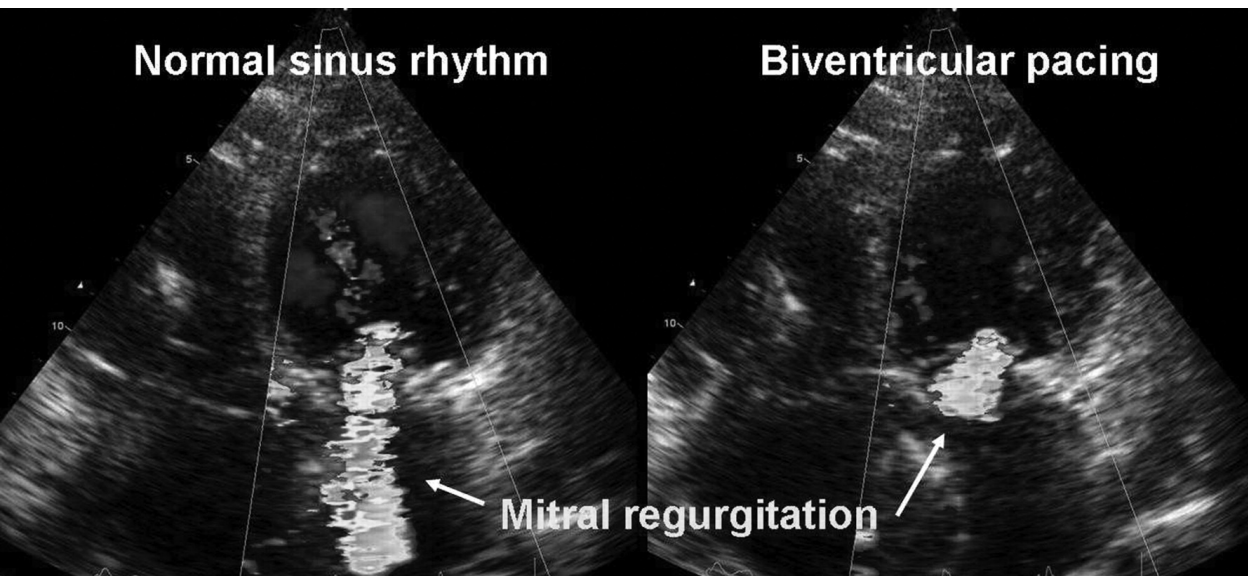


- Potential effects on RV failure
  - Reduce RV activation delays
  - Correct inefficient PSS

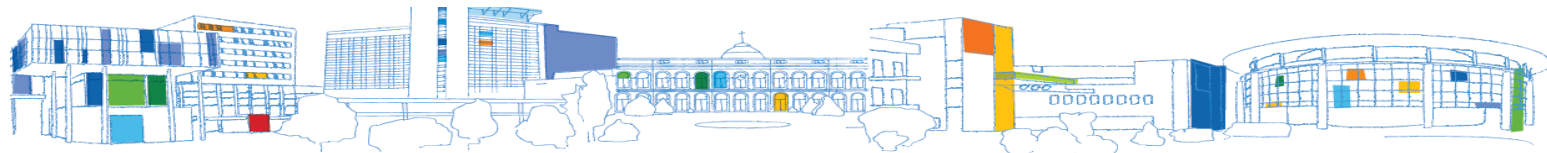


# conclusion

- potential improvement of LV function
- increase FC
- LV remodeling with improvement of MR



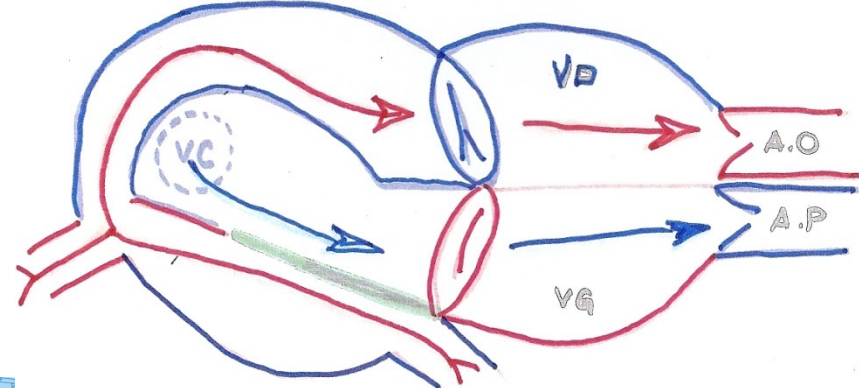
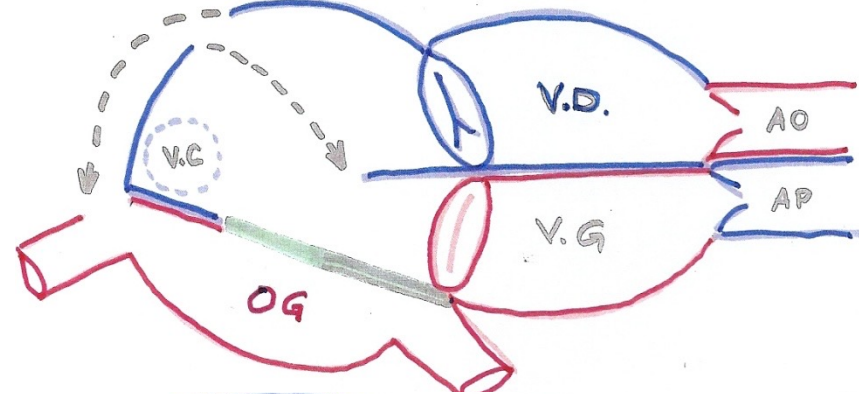
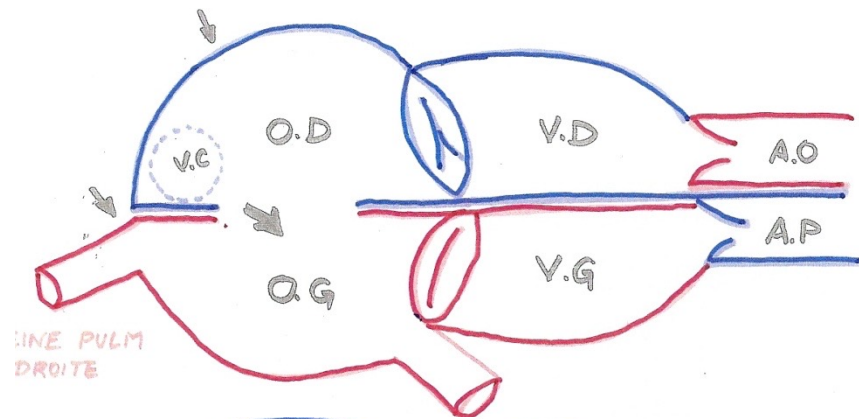
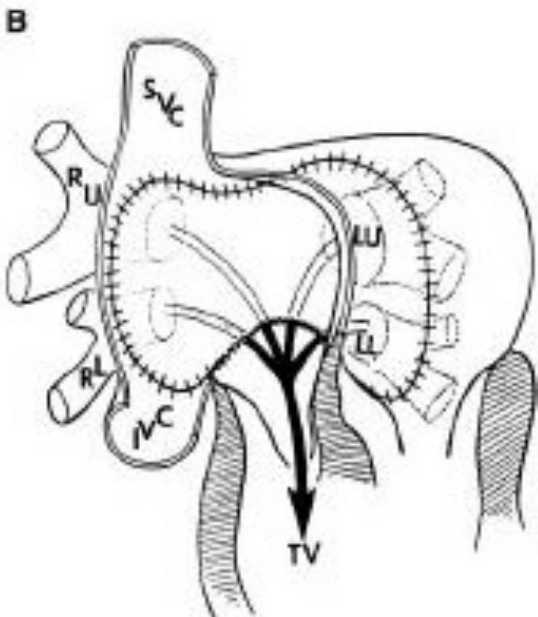
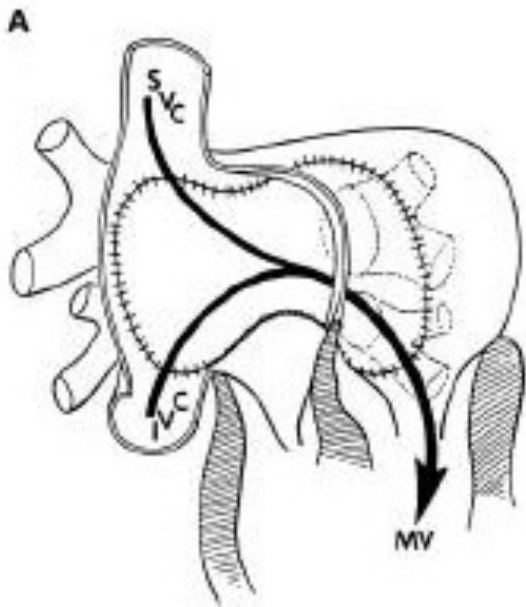
# Systemic RV



# Systemic right ventricle

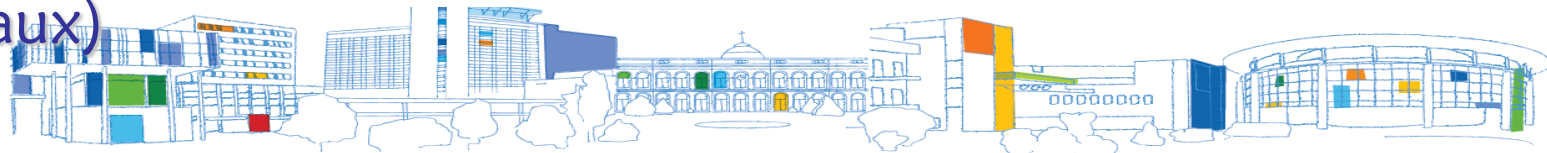
- Atrial switch operation
- ccTGA

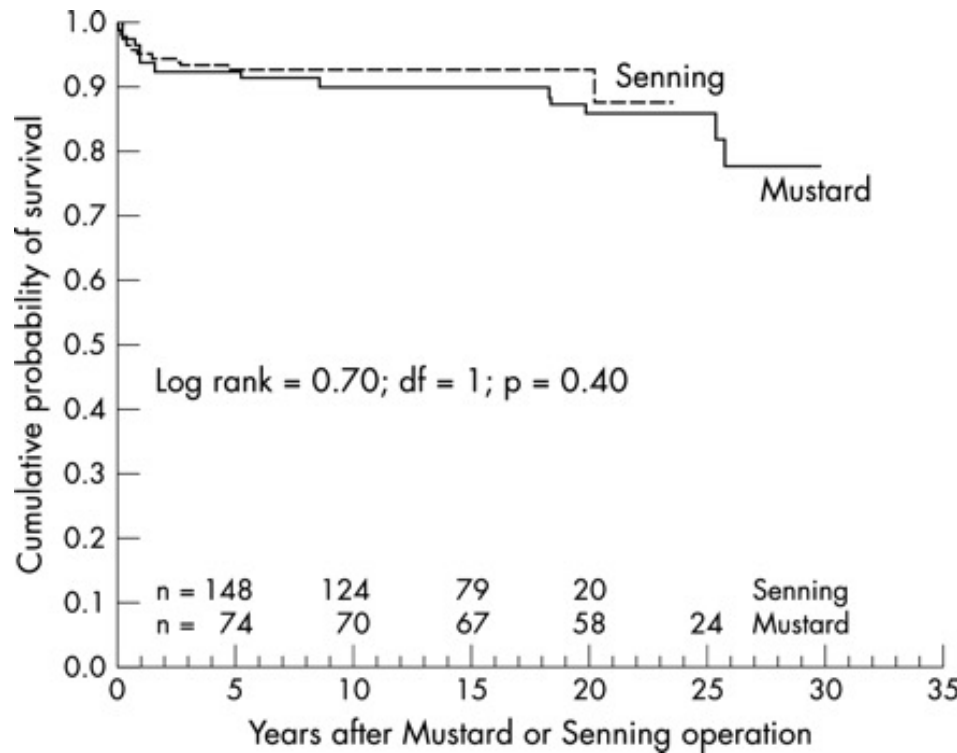




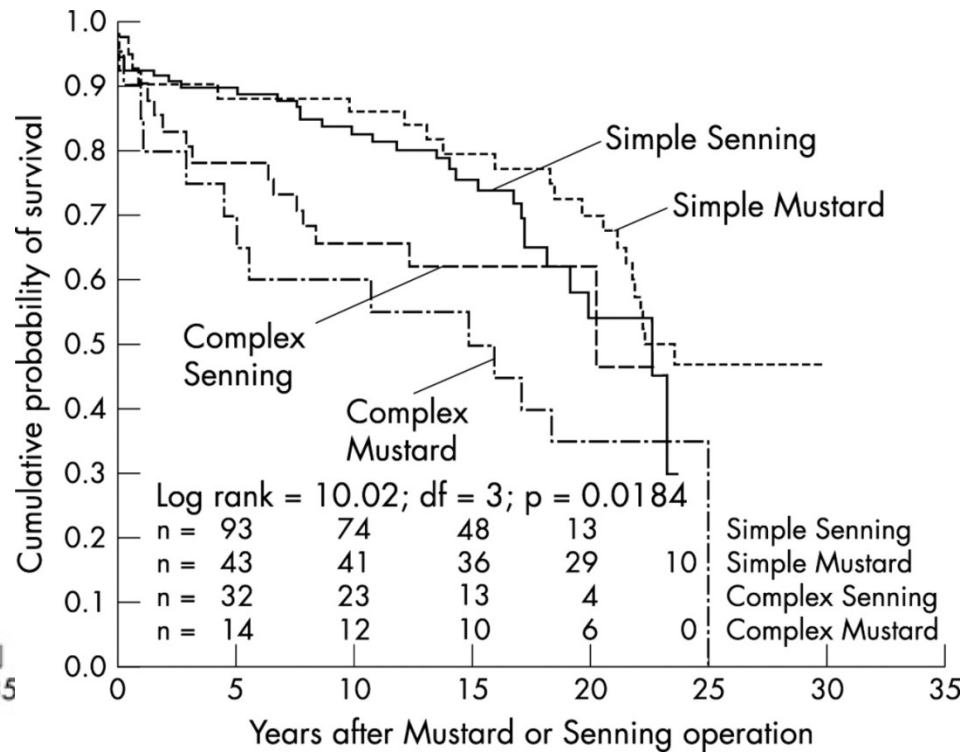
# Senning/Mustard

- ◆ Dysfonction VD 10 % à 10 ans
- ◆ Insuffisance tricuspide 35 % à 10 ans
- ◆ Sténoses des veines caves et des pulmonaires
- ◆ Perte de la fonction contractile de l'oreillette
  
- ◆ Troubles du rythme
  - ◆ Arythmie supra ventriculaire 20 %
  - ◆ Dysfonction sinusal 50 %
  
- ◇ Limitation de la prescription des anti-arythmiques
- ◇ Difficultés d'implantation des PM (VG sous pulm)
- ◇ Difficultés de l'ablation (position SC, anatomies chenaux)





**Deanfield. Circ 1999**



**Moons. Heart 2004**

Facteurs de risque:

- dysfonction du ventricule systémique
  - plicature ou thrombose des chenaux
- Arythmie supra ventriculaire



# Complications médicales

Mort subite et arythmie ventriculaire

Troubles du rythme auriculaires

Dysfonction sinusale (difficultés thérapeutiques)

Obstacle sur les chenaux

Dysfonction du VD systémique

**Strategie diagnostique et therapeutique?**

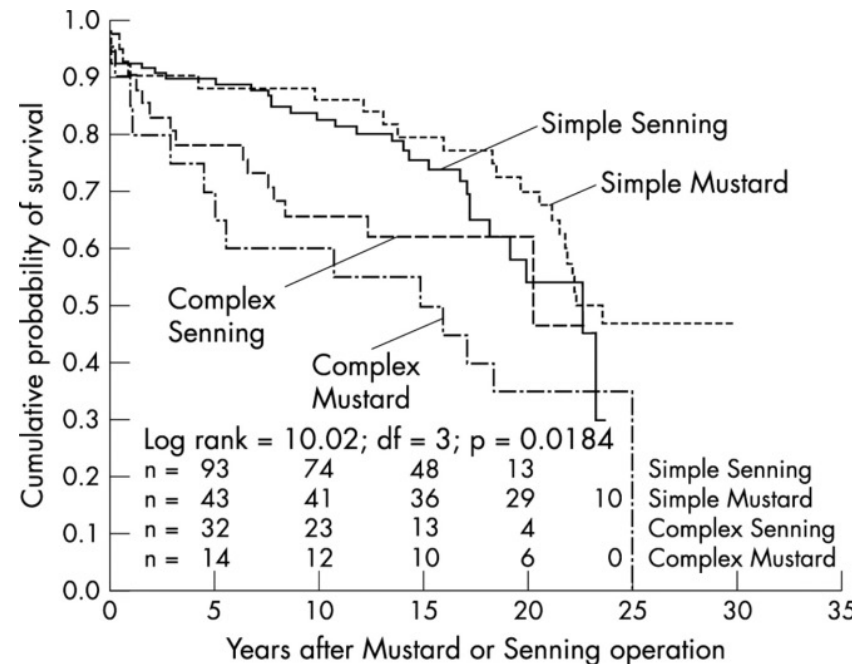
Evaluation des patients

Traitement medical

Stimulation multisite

Cerclage préparateur puis switch

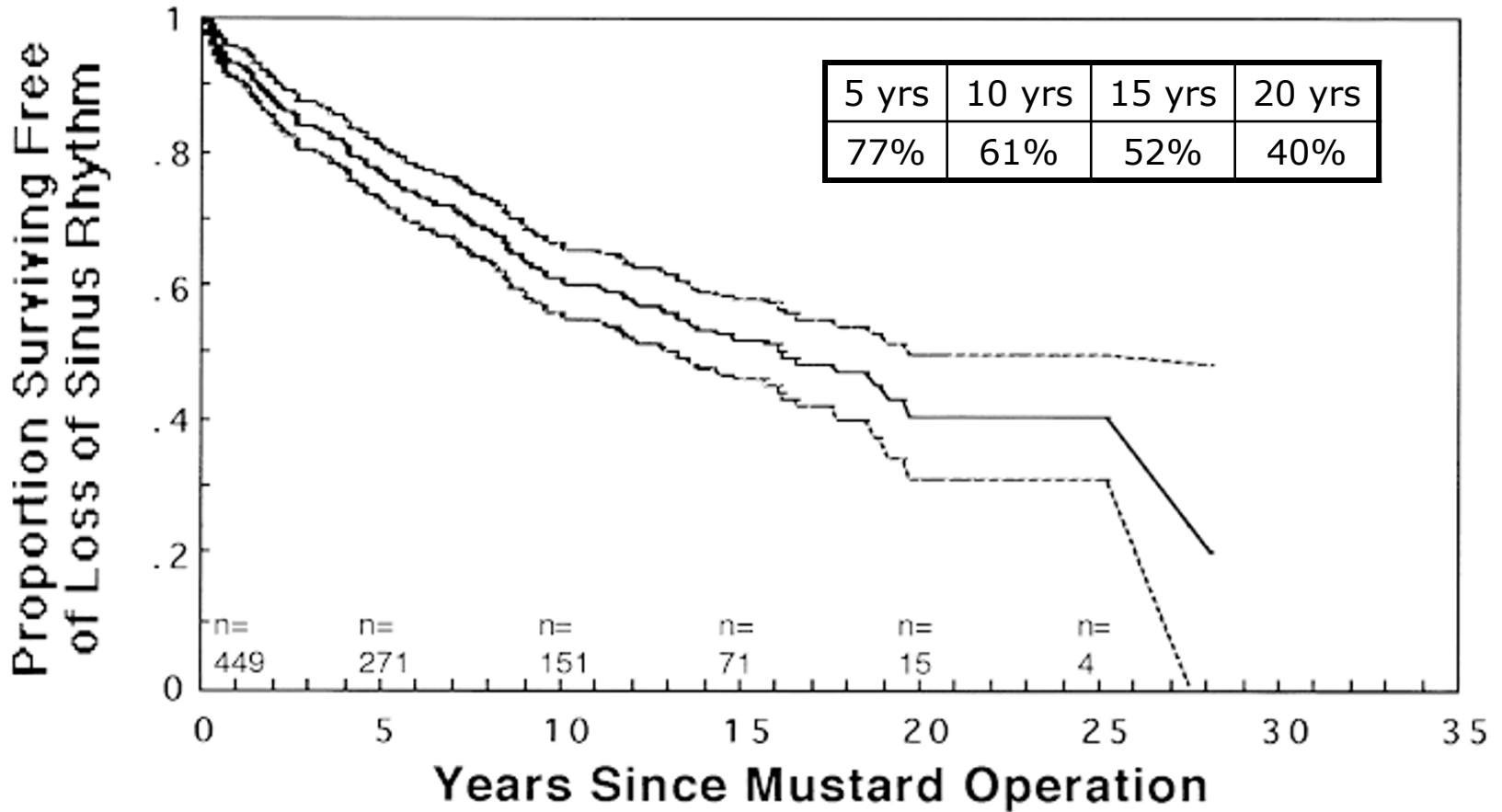
Transplantation



Moons et al. Heart 2004



# Dysfonction sinusale

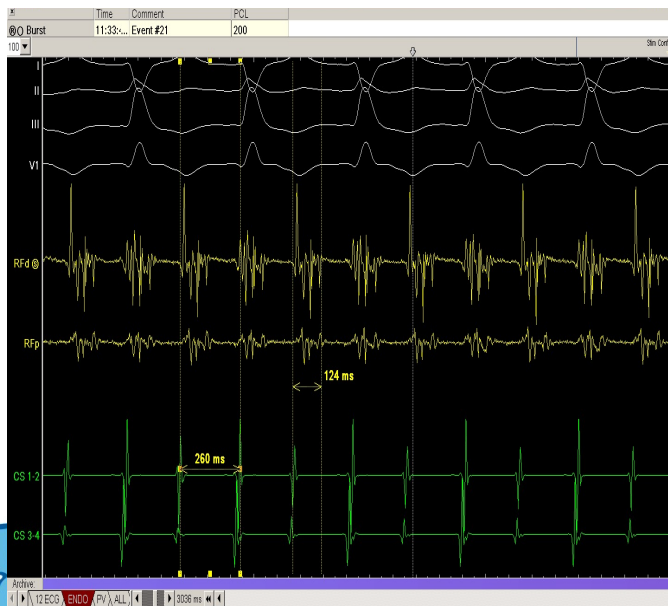
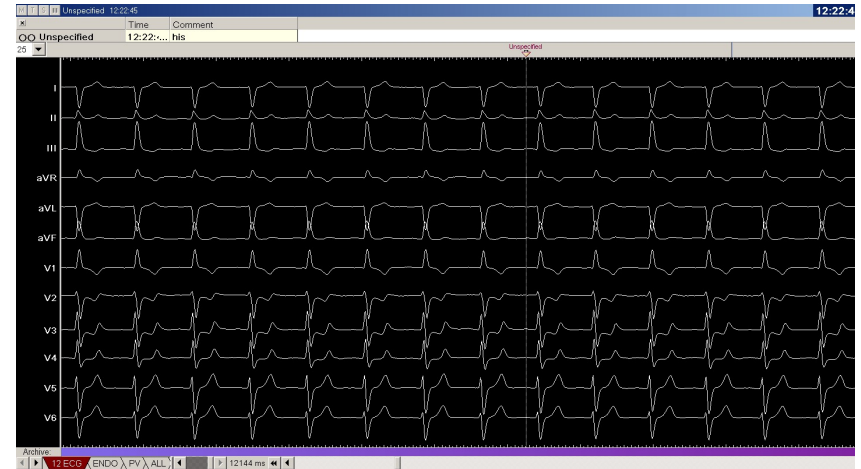
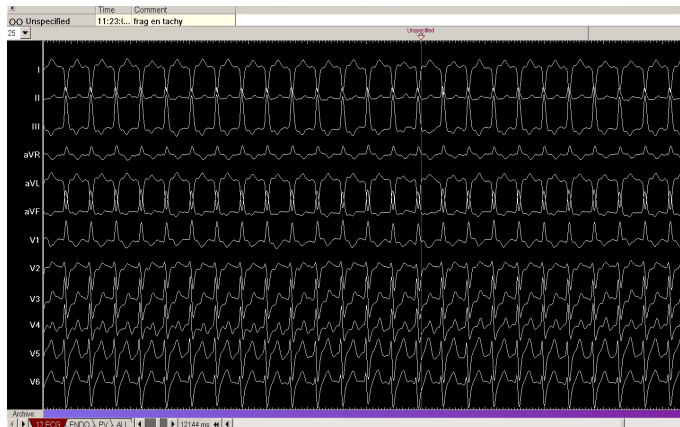


Gelatt M et al. JACC 1997;29:194-201

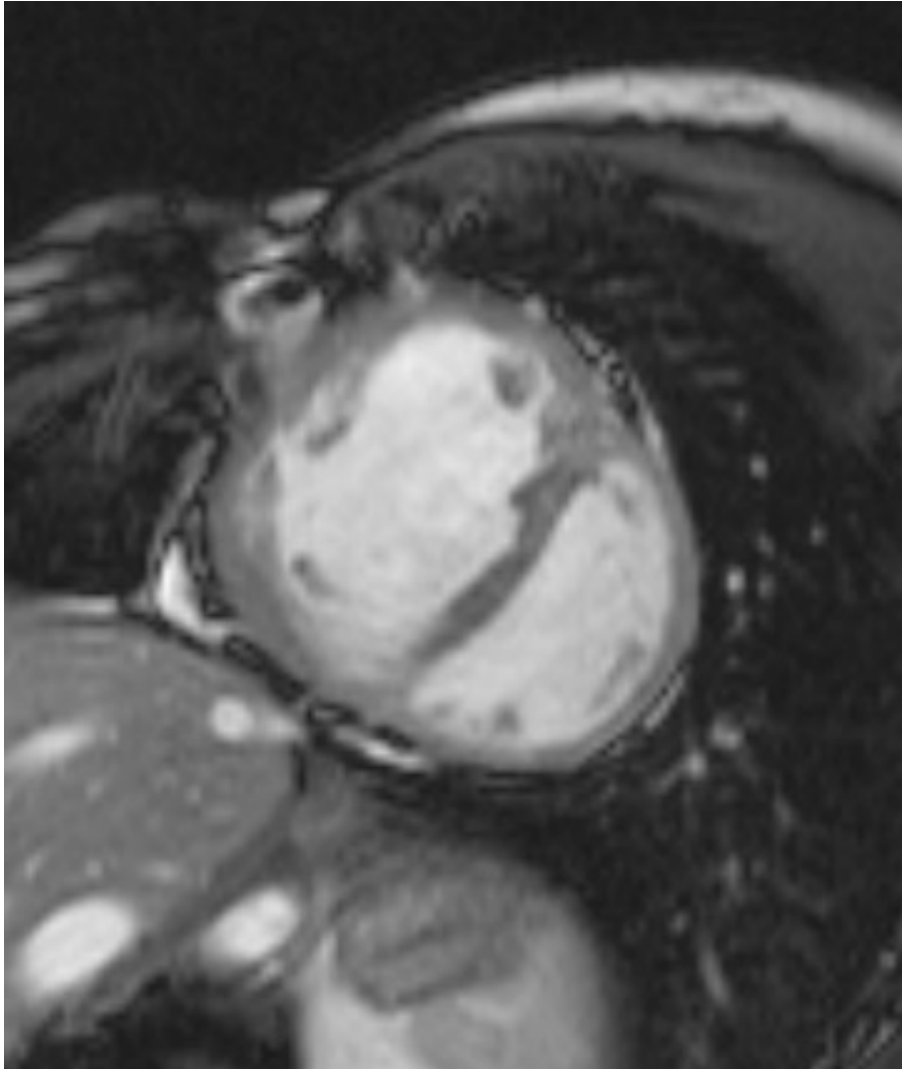


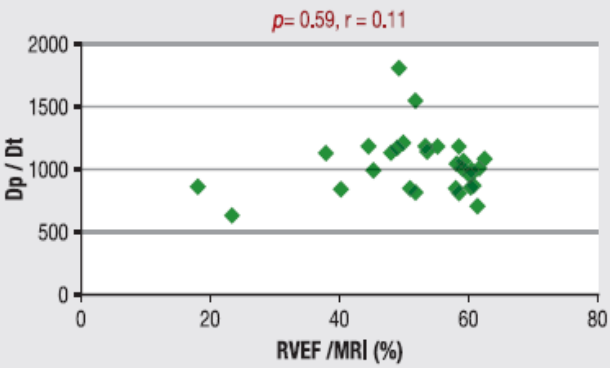
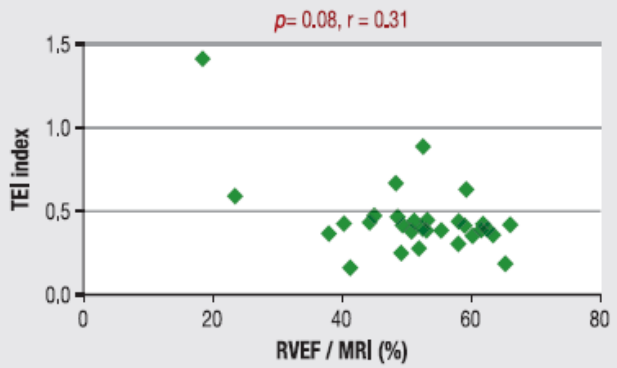
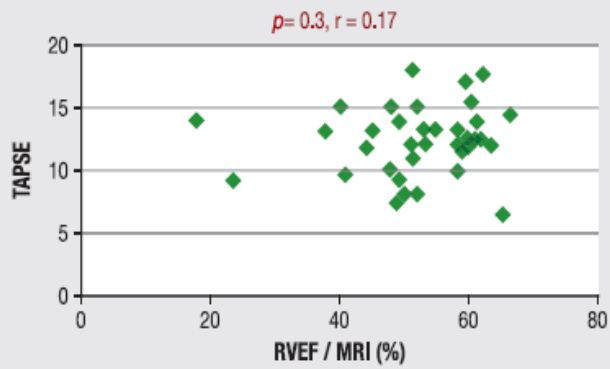
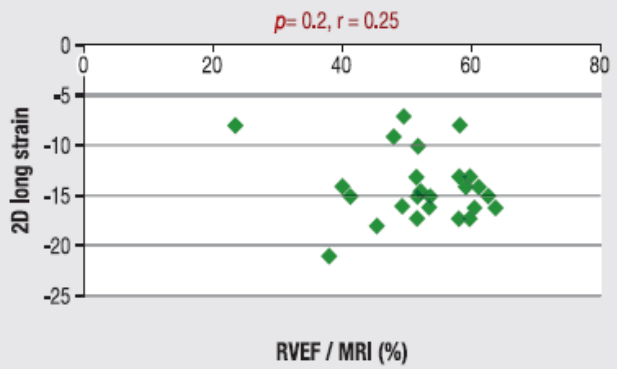
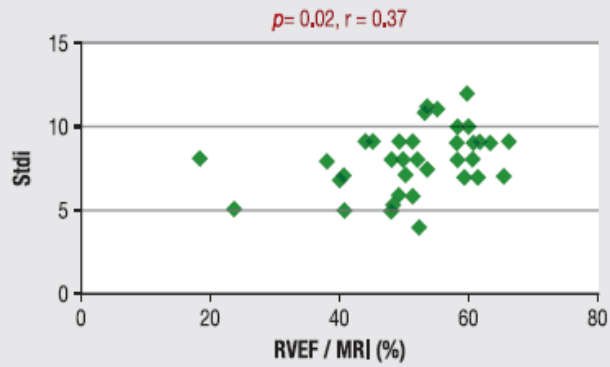
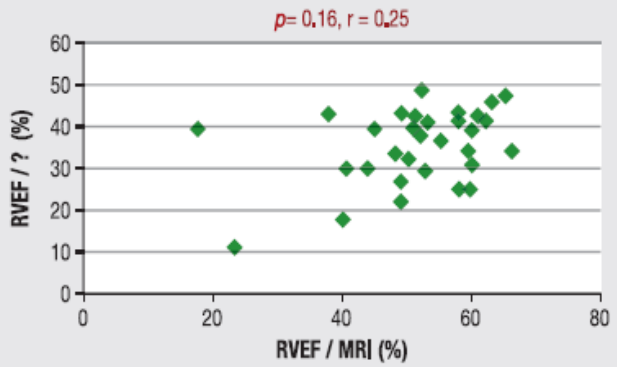
# 20% de Flutter, 50% de dysfonction sinusale

End of procedure

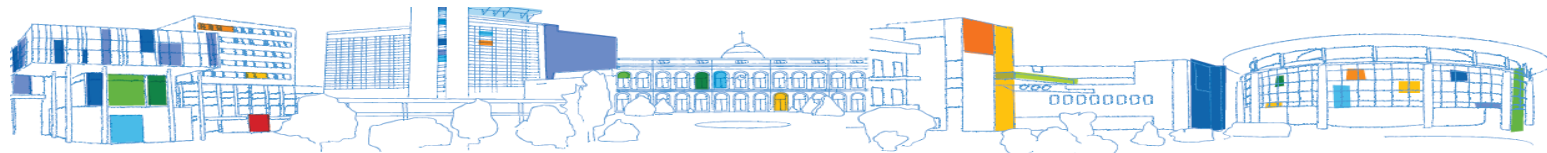
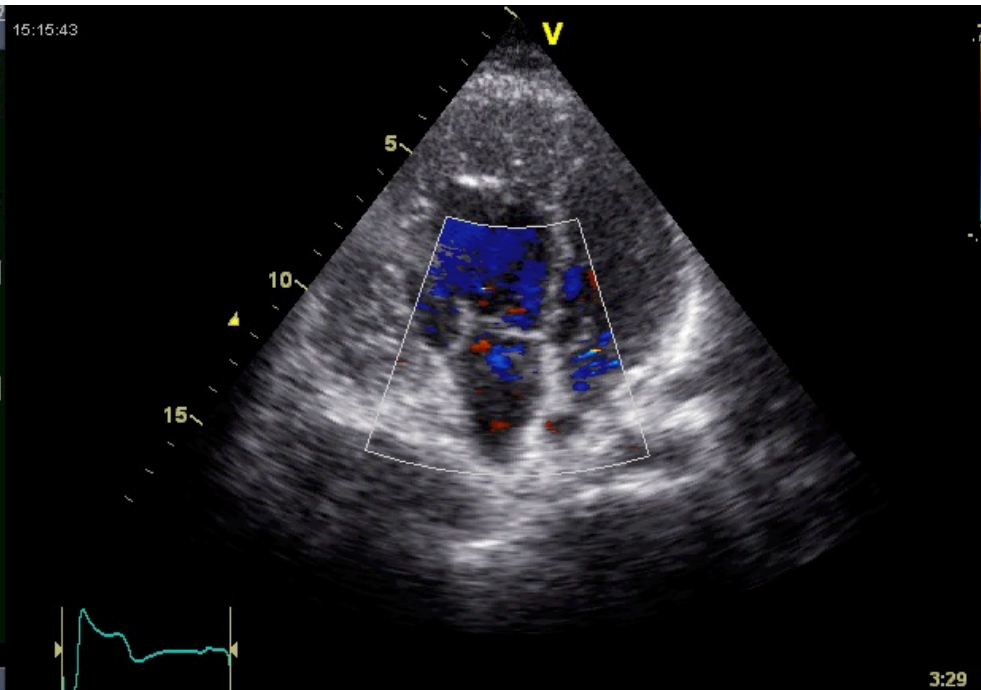
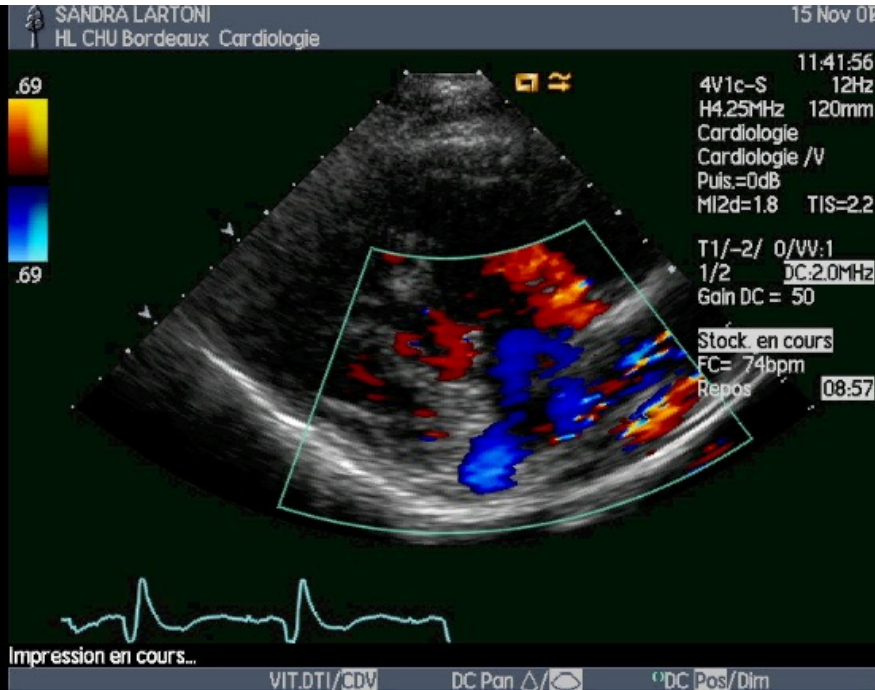


# MRI: gold standard

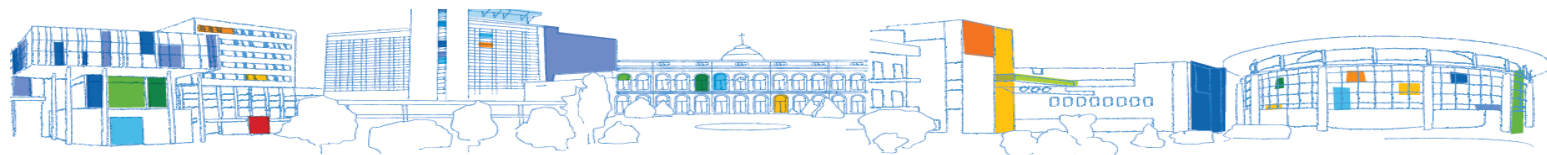
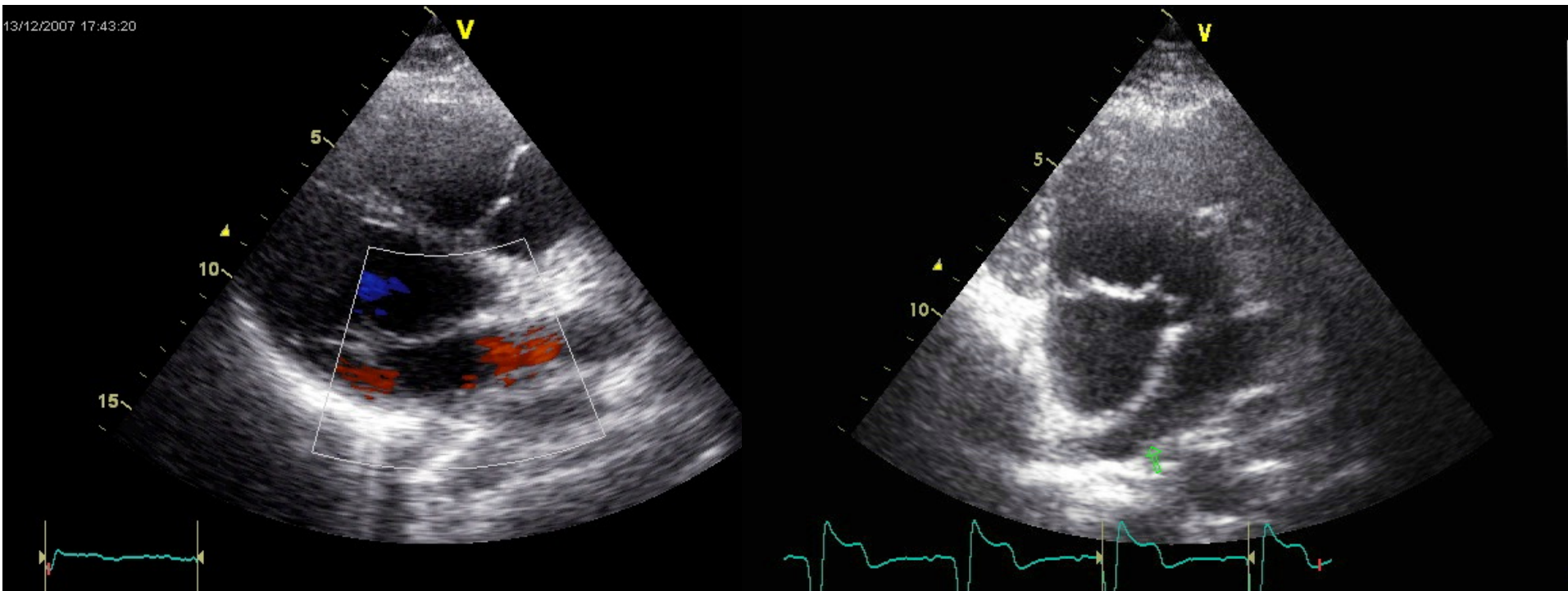


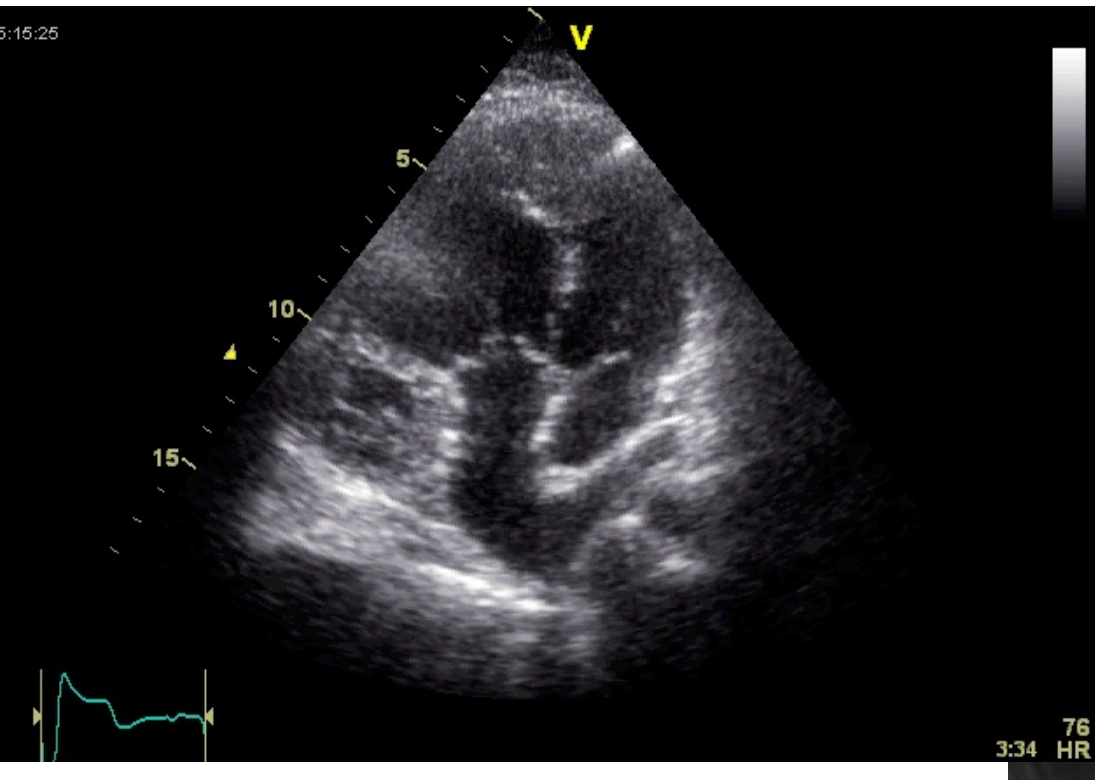


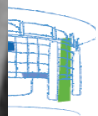
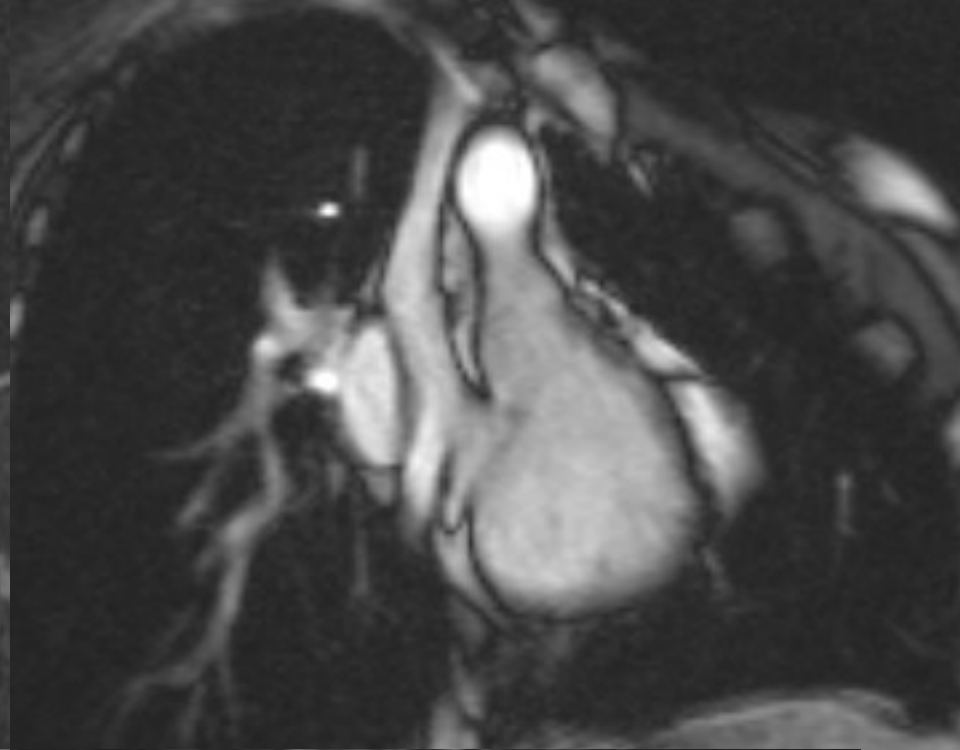
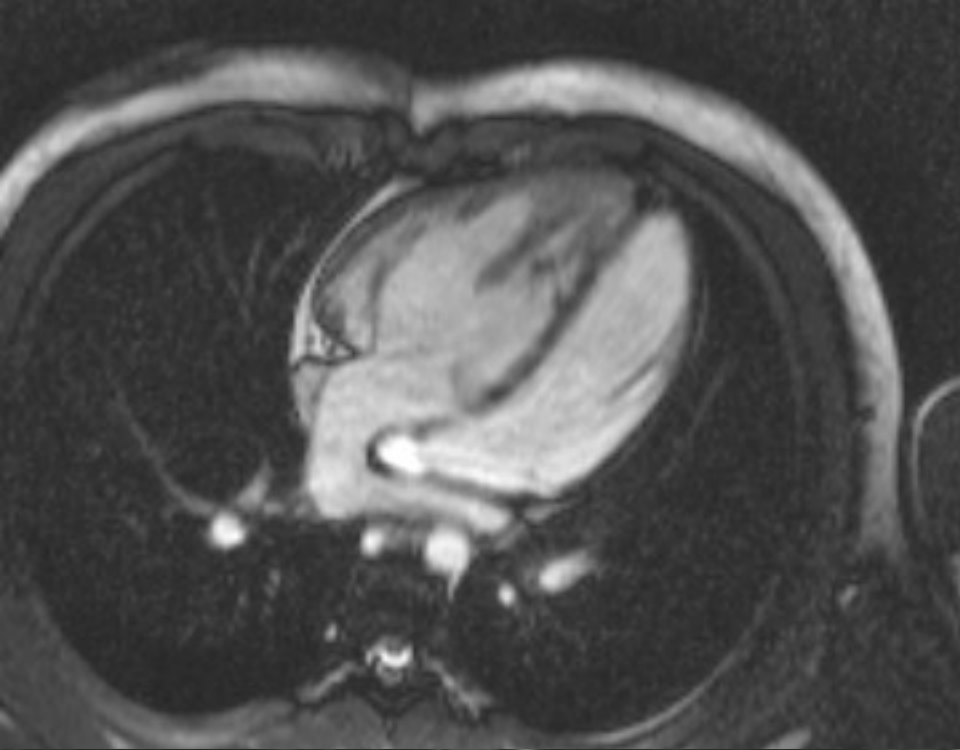
# Systemic AVV assessment

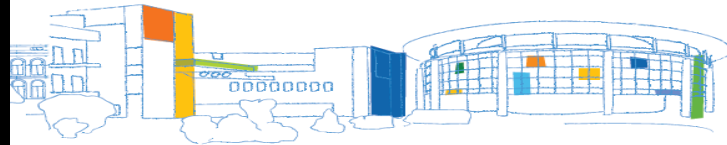
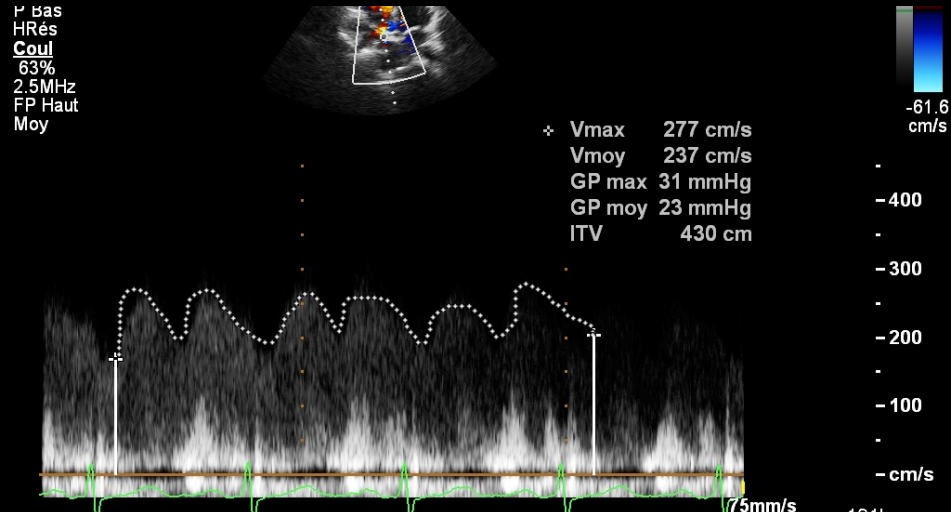
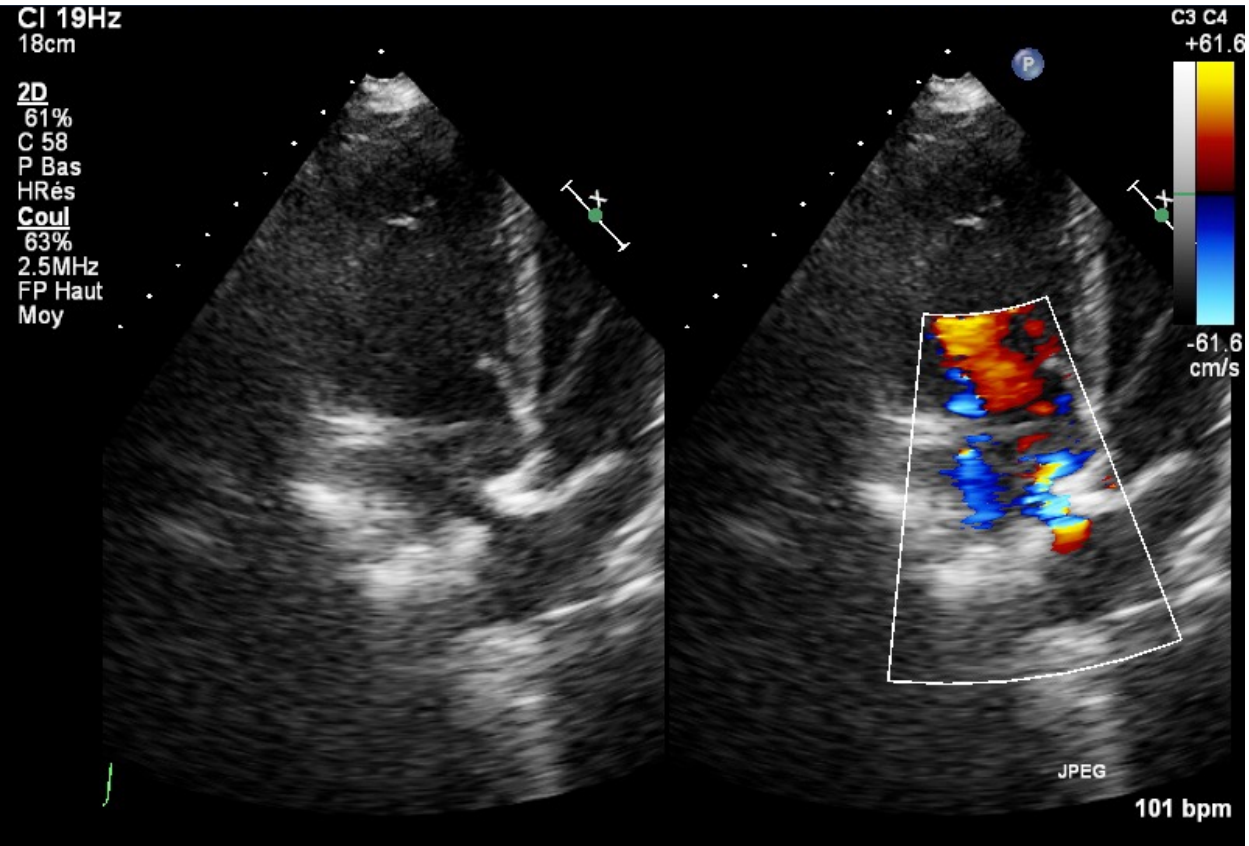


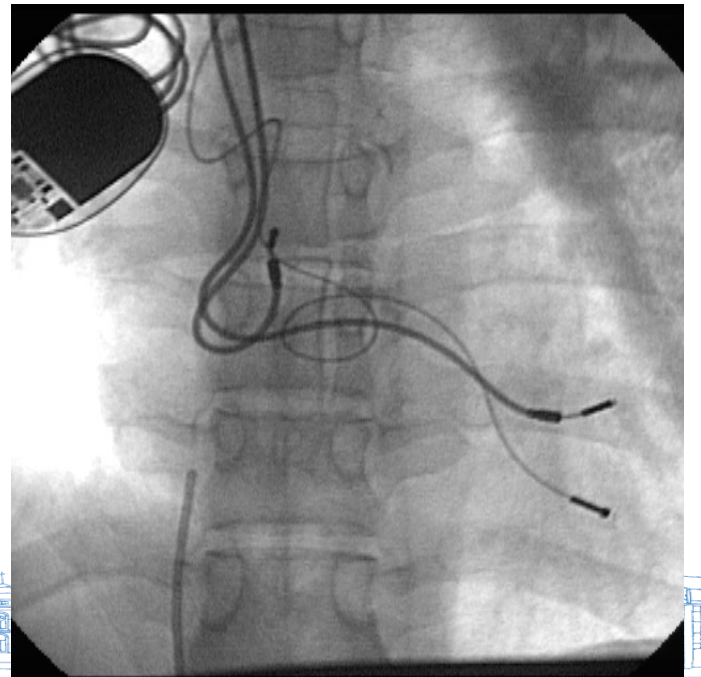
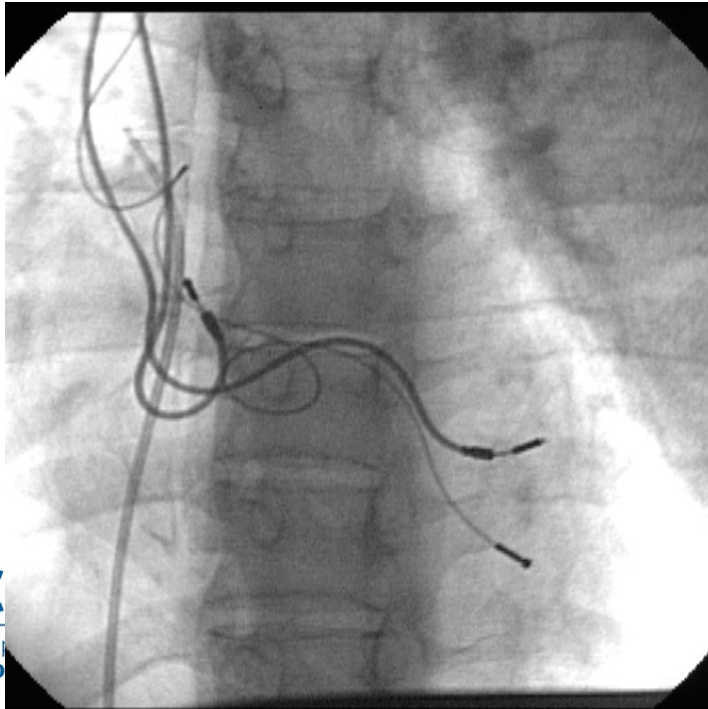
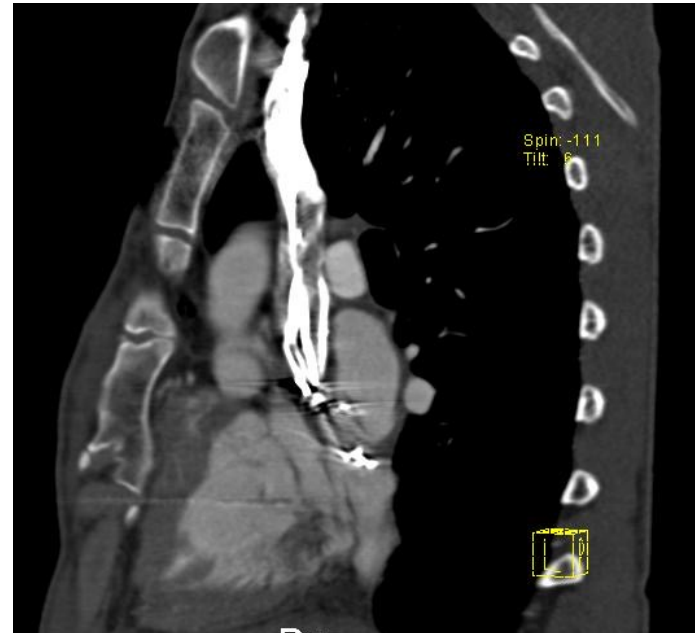
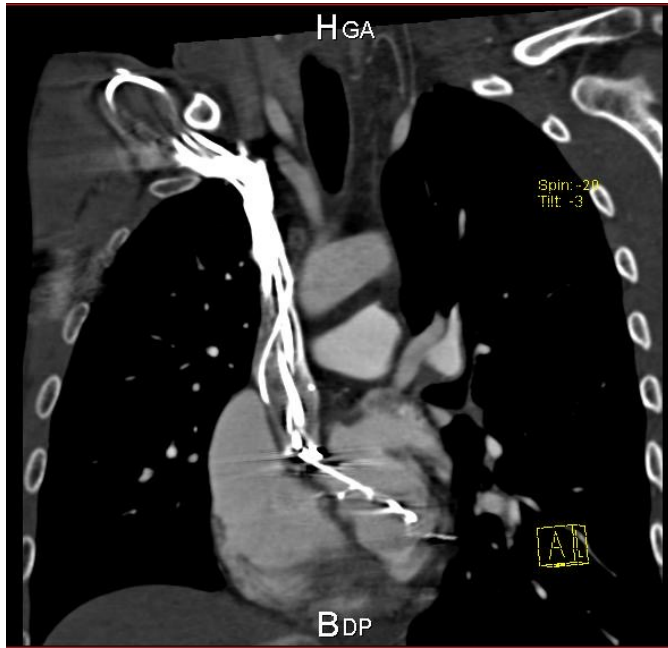
# Baffles assesement

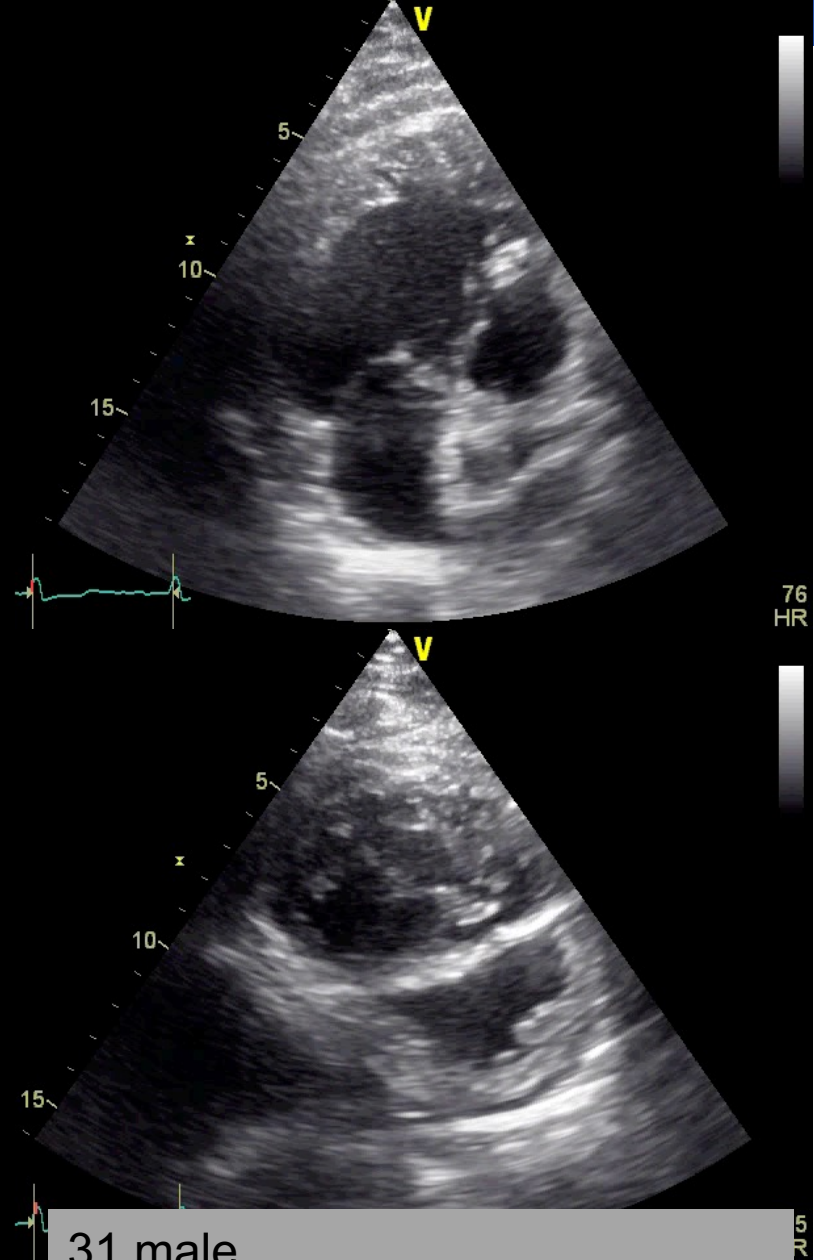




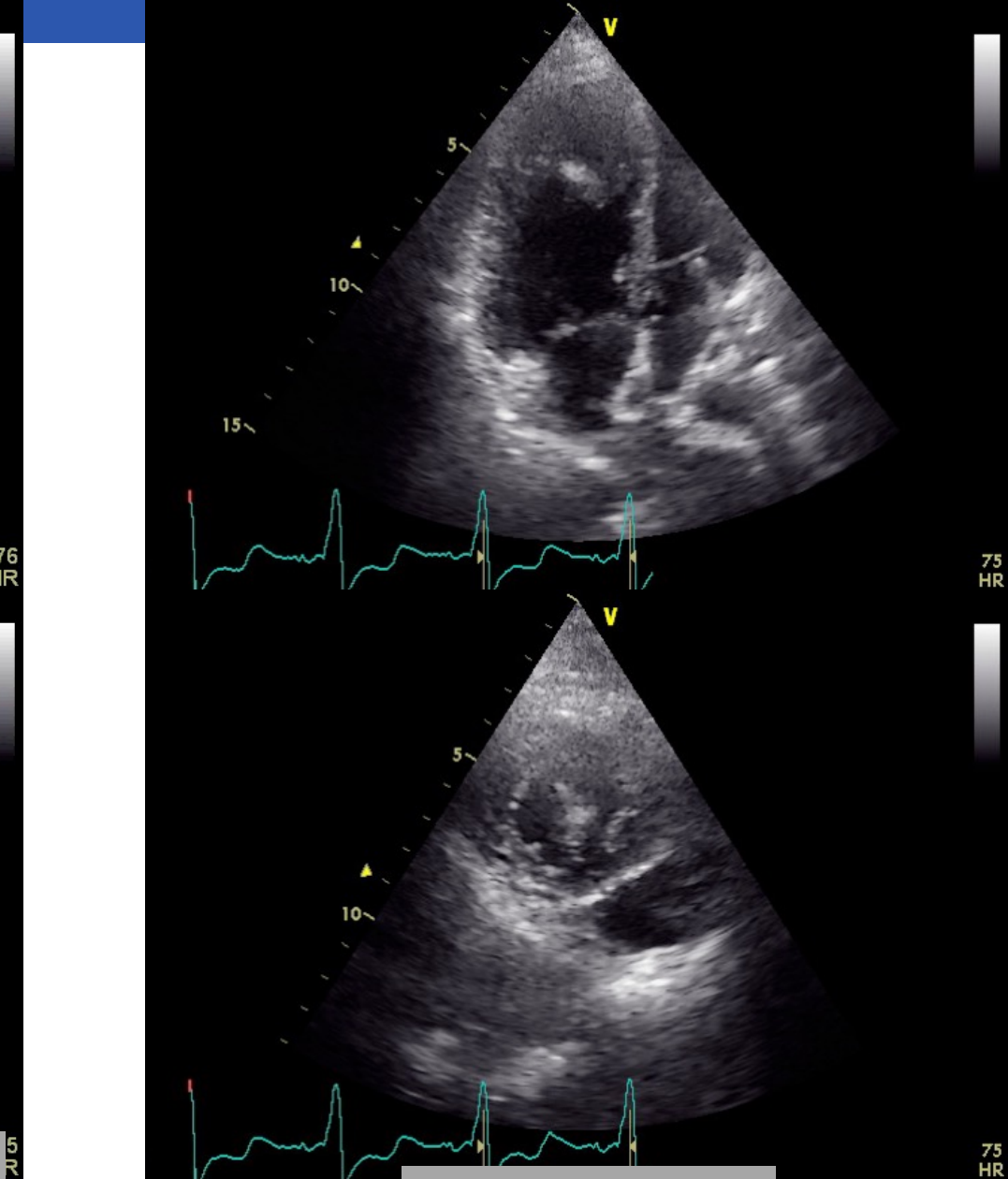




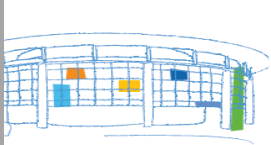




31 male  
Asymptomatic, mild obesity  
Leisure sport activity  
CPET 270W

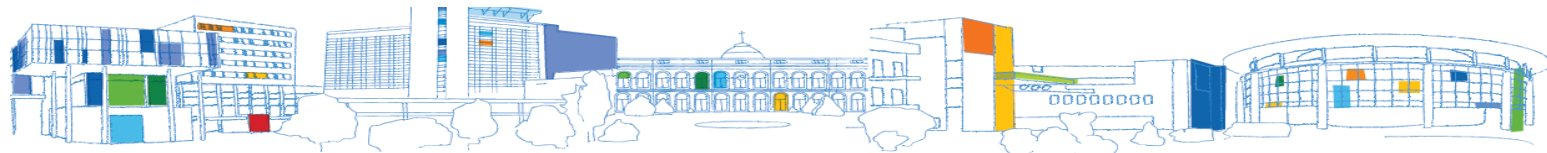


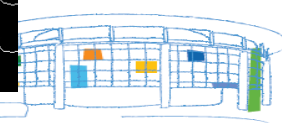
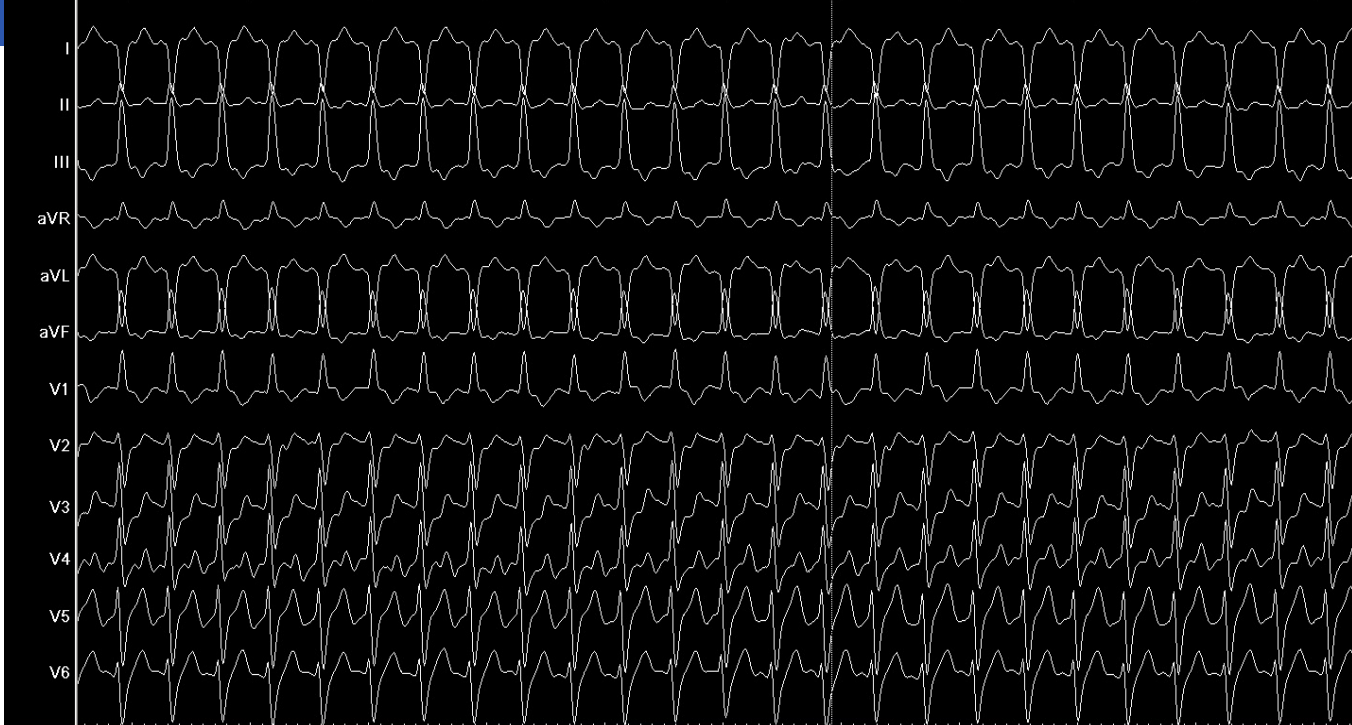
28 female  
NYHA FC3  
Pic VO2 14ml/kg



# Cas clinique

- ◆ Jeune homme de 26 ans
- ◆ D-TGV traité par atrioseptostomie de Rashkind à la naissance puis correction par switch atrial à l'âge de 9 mois
- ◆ Excellente tolérance à l'effort (280W à EE), très sportif
- ◆ Dysfonction sinusale asymptomatique FC de repos 45-50, FC < 40 la nuit
- ◆ Arythmie supraventriculaire mal tolérée en 2007 et 2008 réduit par cordarone IV, relai sotalol très mal toléré avec asthénie et majoration des bradycardies
- ◆ Aggravation de l'arythmie déclenchable aux efforts violents
- ◆ CAT?



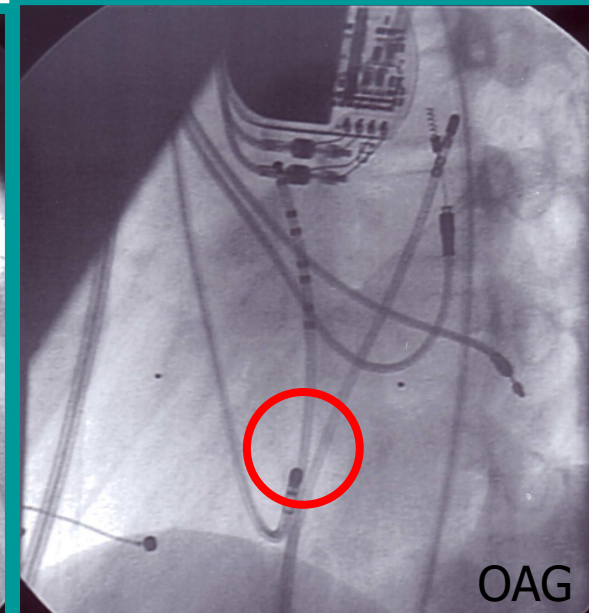
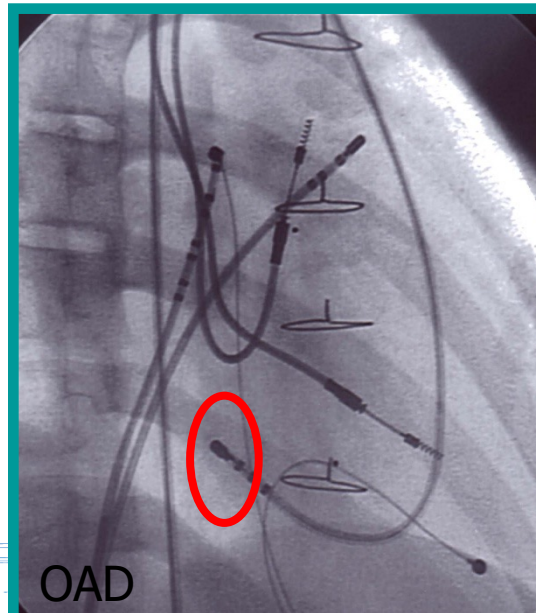
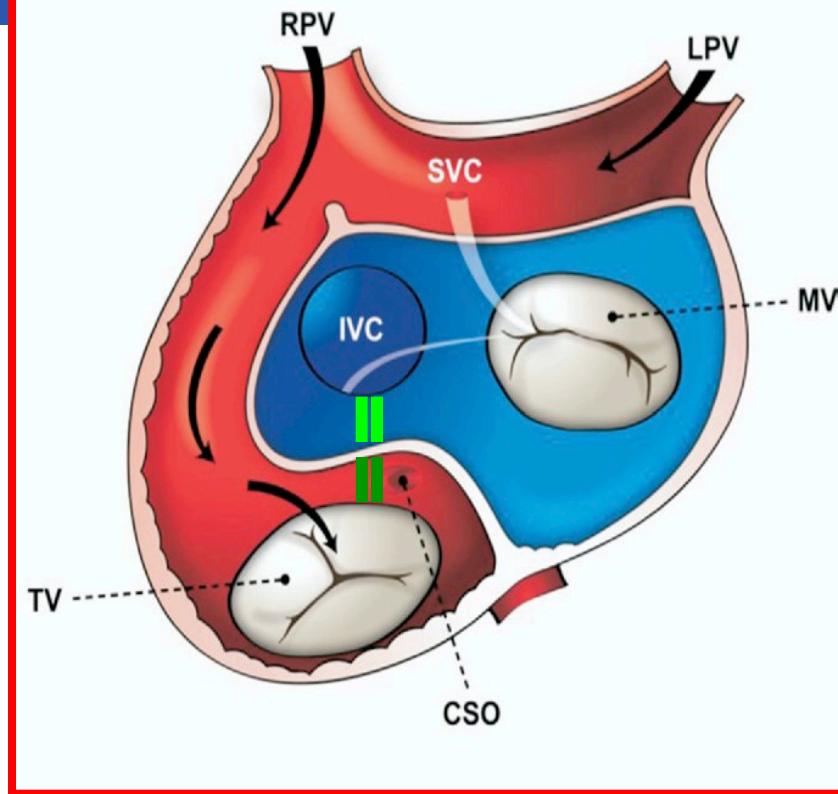


# Problème d'accès aux cavités cardiaques



# Flutter Atrial et switch atrial

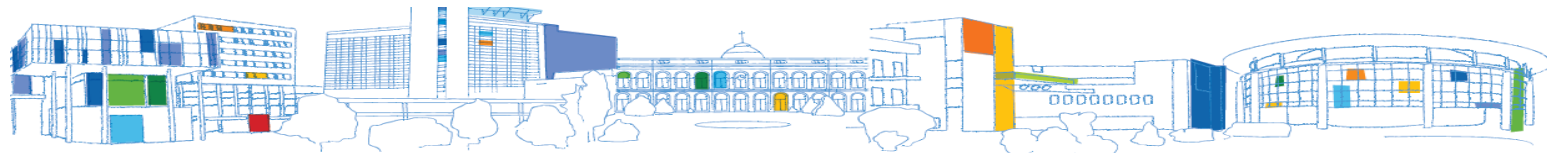
- Isthme Cavo-Tricuspide est séparé par le “baffle”
- Localisation du sinus coronaire dépend de la position du baffle



OAD

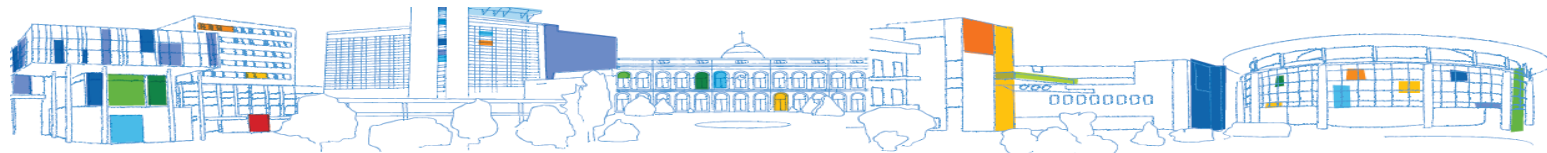
OAG

# Transposition des gros vaisseaux opérée par switch artériel



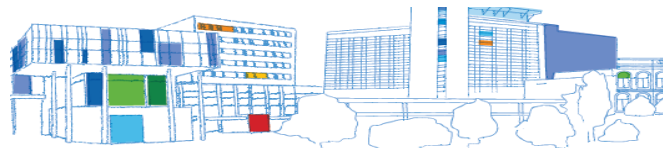
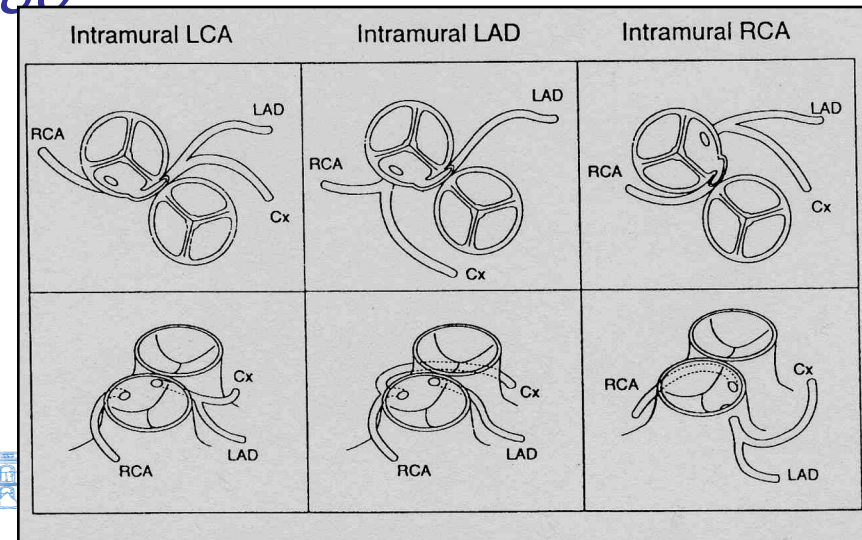
# TGV - switch artériel

- Surveillance voie pulmonaire (gradient APG)
- surveillance néo-valve aortique, dilatation du culot
- problèmes coronaires à distance :
  - épreuve d'effort - thallium d'effort –
  - scanner multibarettes- coronarographie



# Coronaires et switch

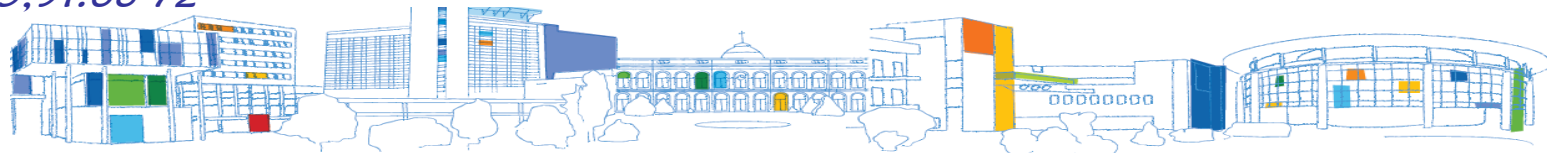
- 1304 switch – 60 mois de suivi - *Circ 2003;108:186-90*
  - 7.2% évènement coronaire
  - Free
    - 1 an : 92.7%; 10 ans : 91%; 15 ans : 88.2%
- Méta-analyse : 1942 switch , mortalité par évènement coronaire - *Circ 2002;106:2575-80*
  - Ostium unique OR 2.9
  - Intramurale OR 6.5
  - Autre Ano coronaire OR 1.7



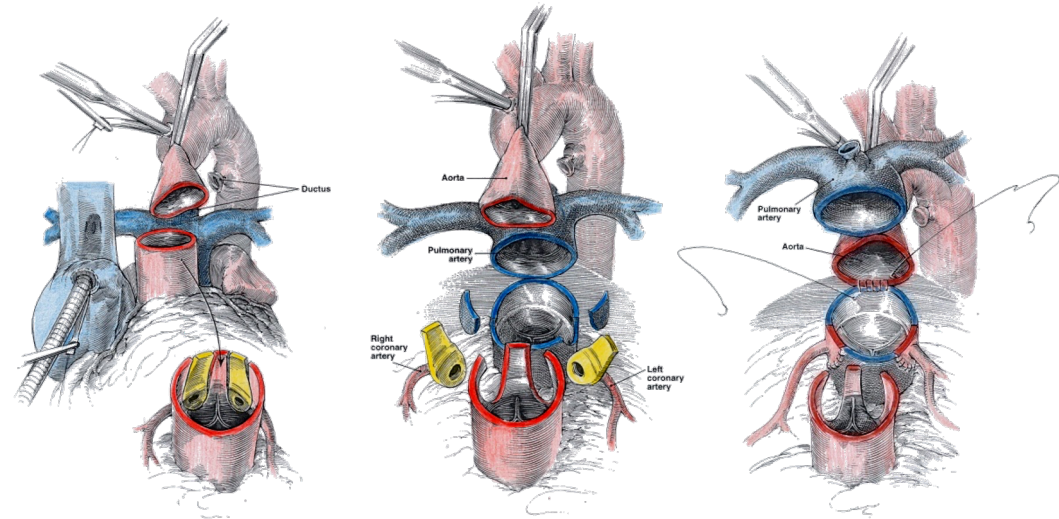
# VG et switch

- écho –dobu  $9.4 \pm 2$  ans après switch néonatal ( $15.5 \pm 4.3$  jours)
  - coronaires normales à l'angiographie
  - FR, FE abaissés au repos
  - stress : 74% anomalie cinétique segmentaire
    - facteurs favorisants:
      - âge tardif ( $p < 0.01$ )
      - durée de CEC ( $p < 0.01$ )
      - durée de CA ( $p < 0.045$ )

*Heart 2005;91:68-72*



# Switch artériel

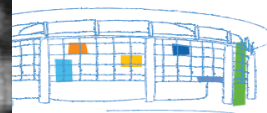
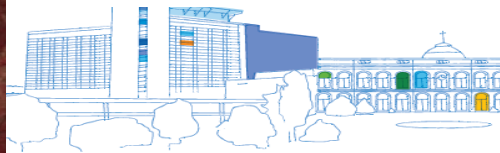
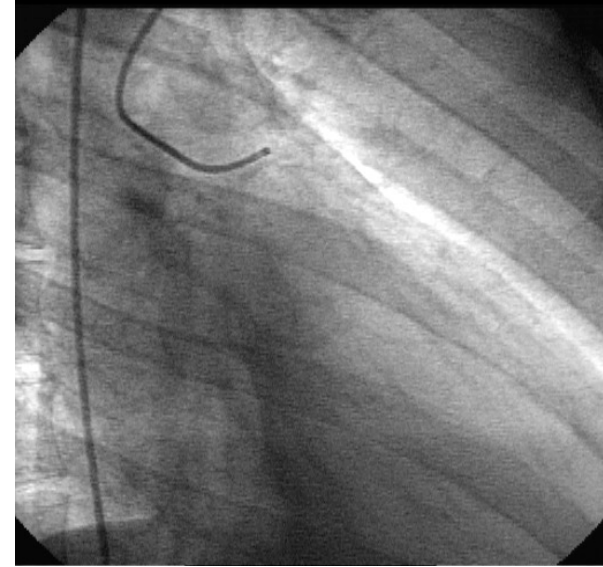


Facteurs pronostiques:

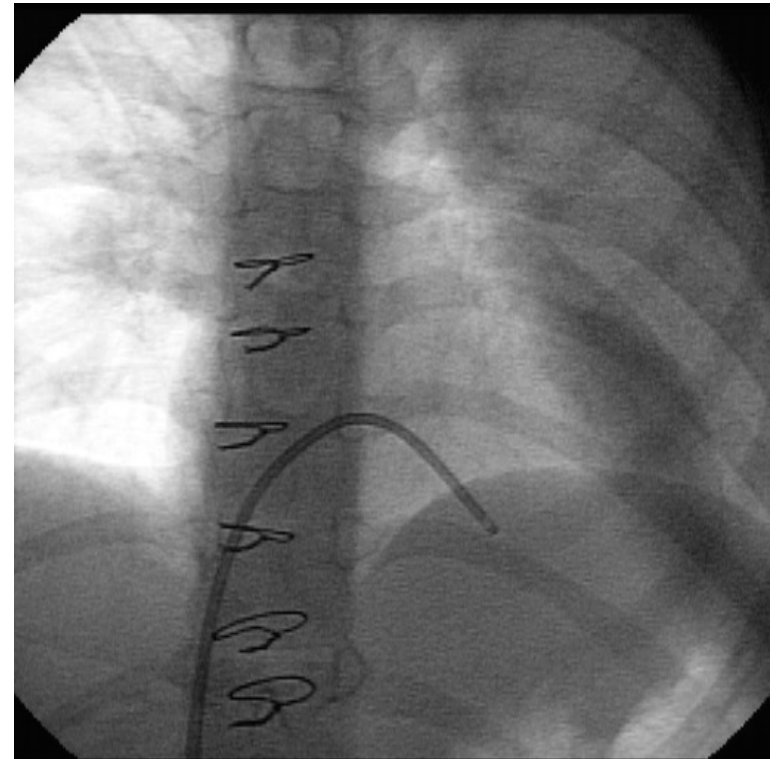
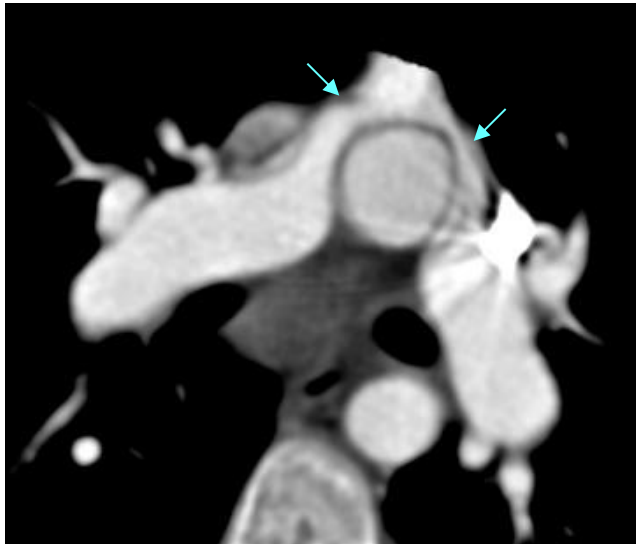
- Sténoses coronaires
- Sténoses des branches pulmonaires
- Dilatation du néo culot aortique



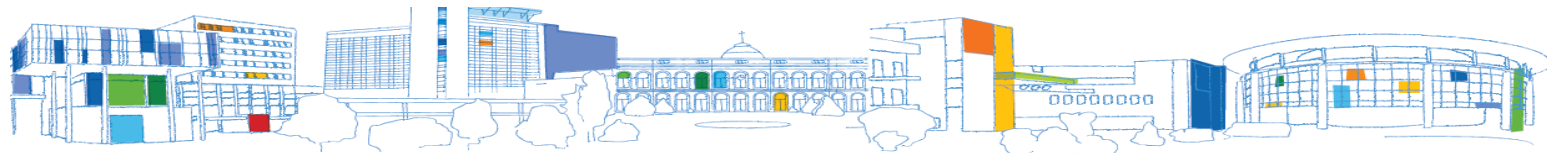
# analyse des coronaires et de l'aorte post switch artériel



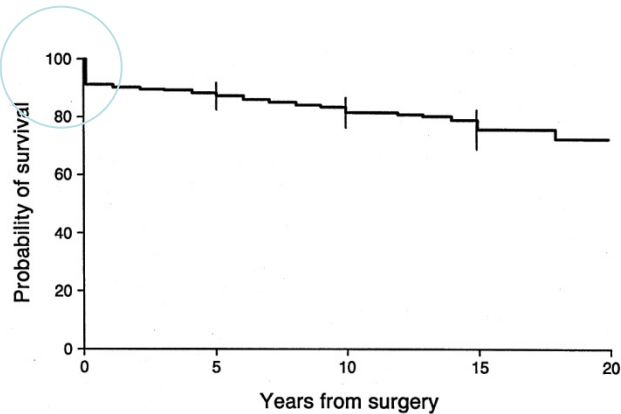
# Sténose des AP post-switch



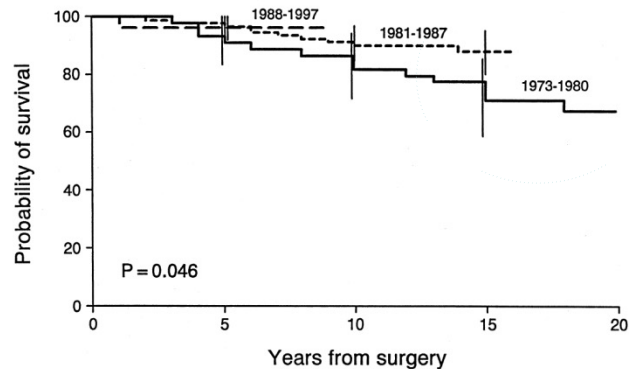
# VU et circulation de FONTAN



# Complications tardives du Fontan

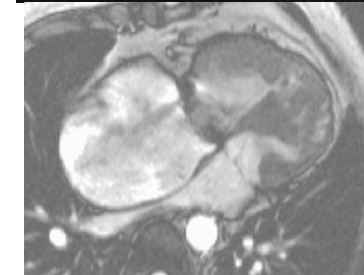
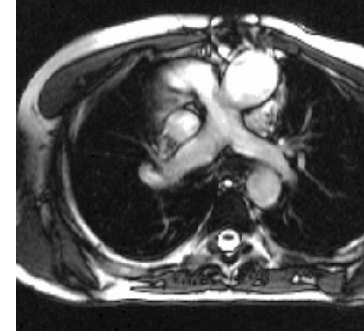
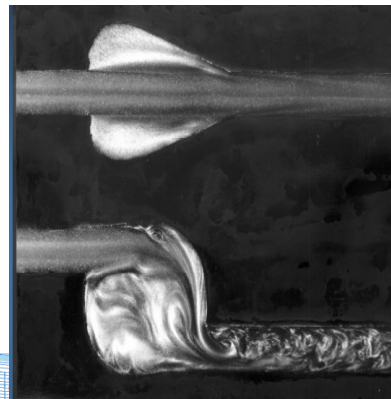
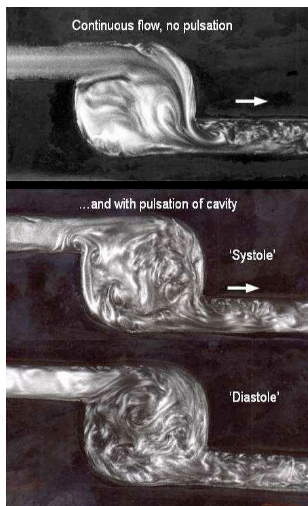
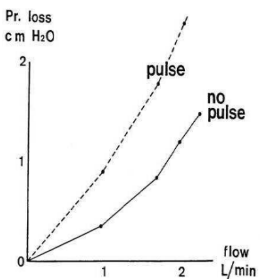
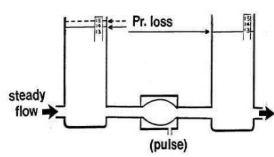
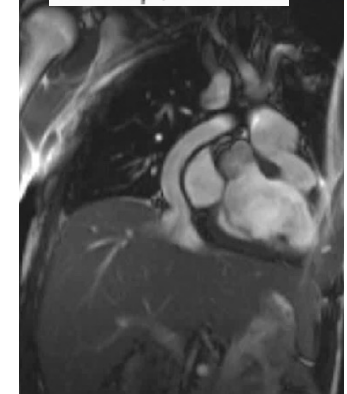
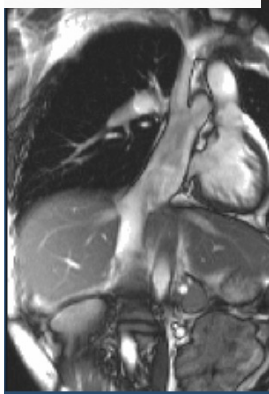
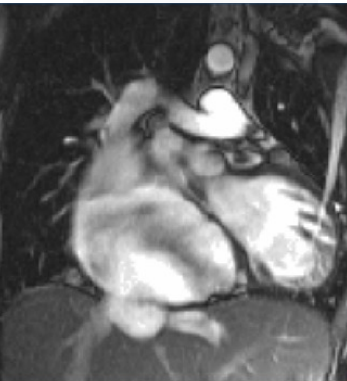
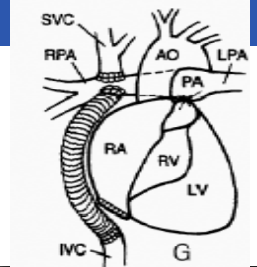
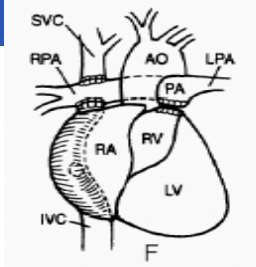
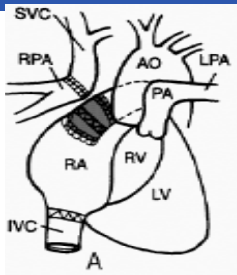


n=216, 1973-1998 (TCPC < age 3)



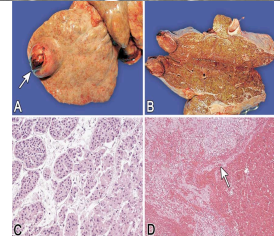
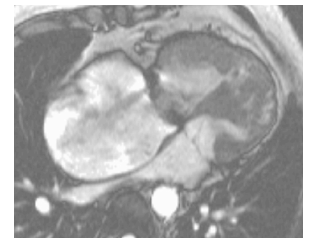
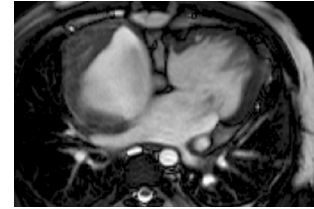
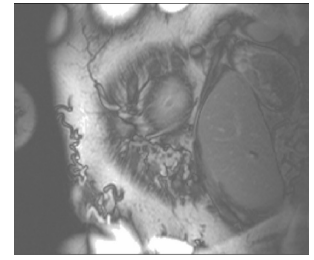
## Facteurs de risque :

- Age de la correction
- ATCD procédure palliative
- période opératoire
- Anatomie autre que AT
- Hétérotaxies
- PAP élevées
- Fuite valve AV
- NYHA >2

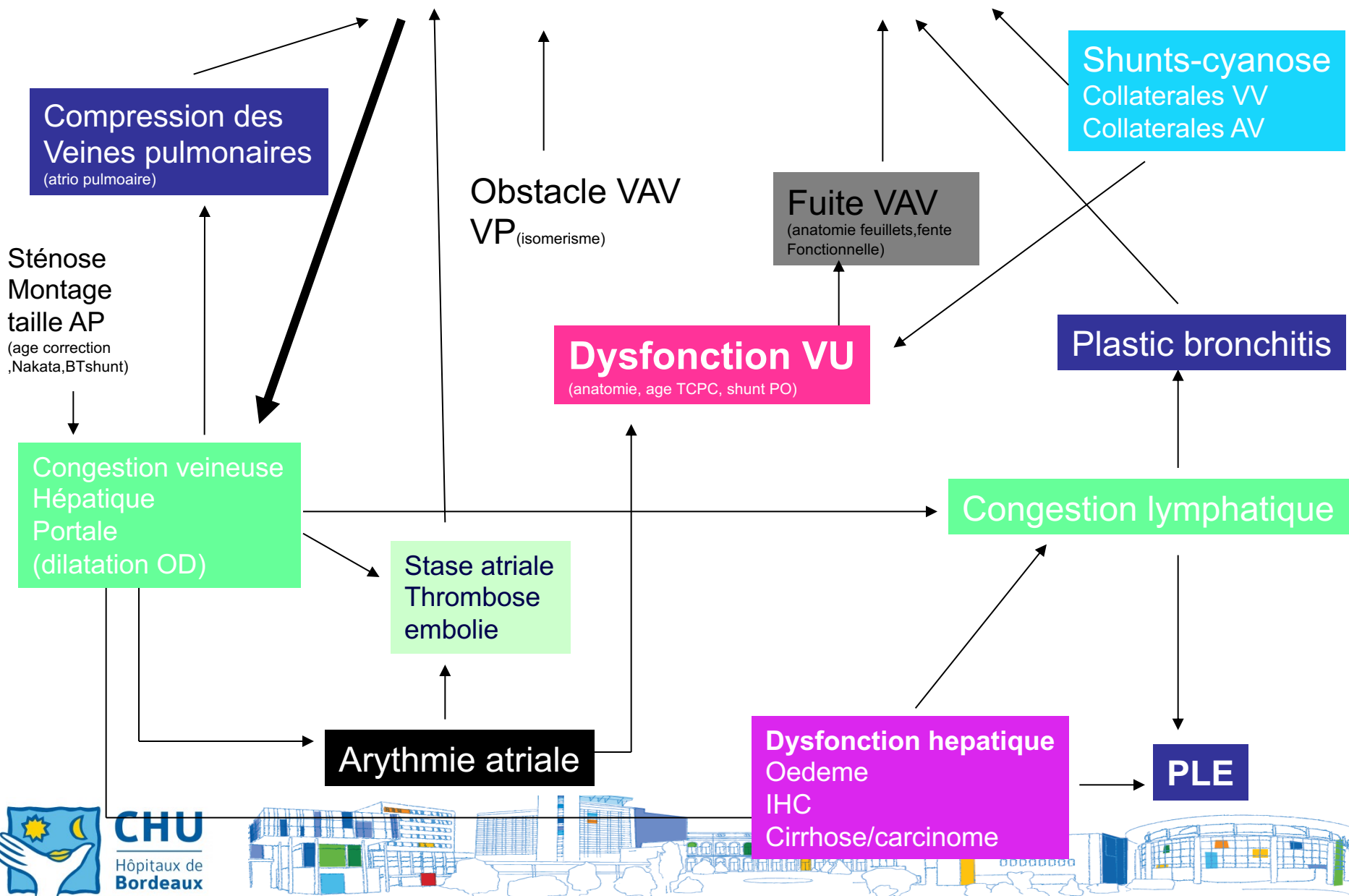


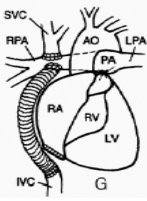
# Problèmes Post Fontan

- 1. Obstruction des Connexions
- 2. Dysfonction ventriculaire (progressive)
- 3. Dysfonction VAV systémique
- 4. Obstacle à l'éjection VU
- 5. Dilatation atriale
- 6. Compression VP
- 7. Thrombus
- 8. Cyanose due à
  - • Fenestration ou fuite patch
  - • Collatérales AV
  - • Malformations pulmonaires artérioveineuses
  - • Collatérales Véo-veineuses
- 9. Arythmie (50% à 10ans; PM 5%)
- 10. Intolérance à l'exercice
- 11. Dysfonction endothéliale
- 12. Protein Losing Enteropathy
- 14. Dysfonction hépatique
- 15. moules bronchiques



# Elévation résistance cavo (atrio)pulmonaires

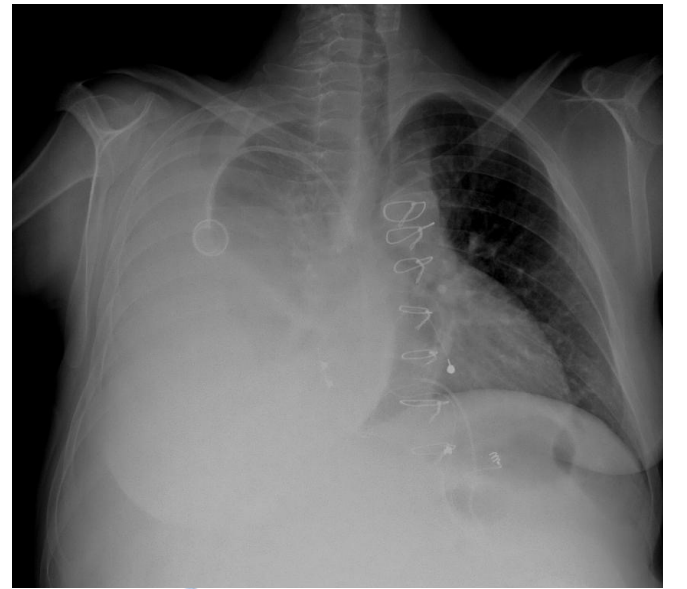
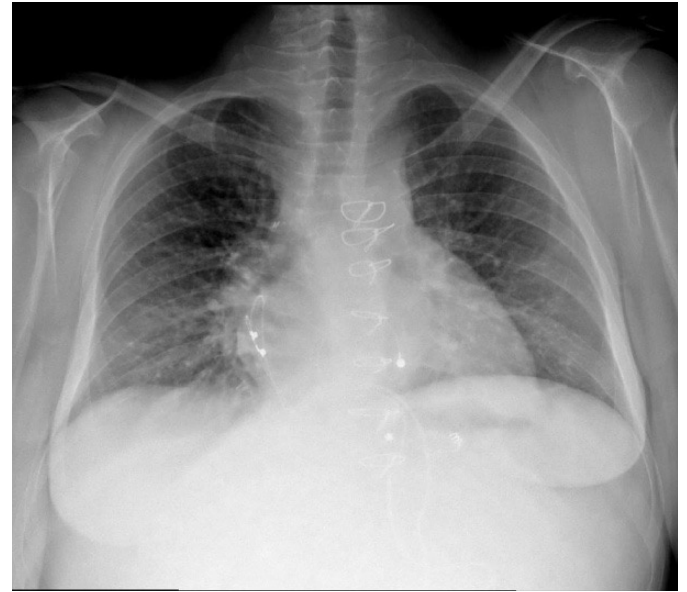




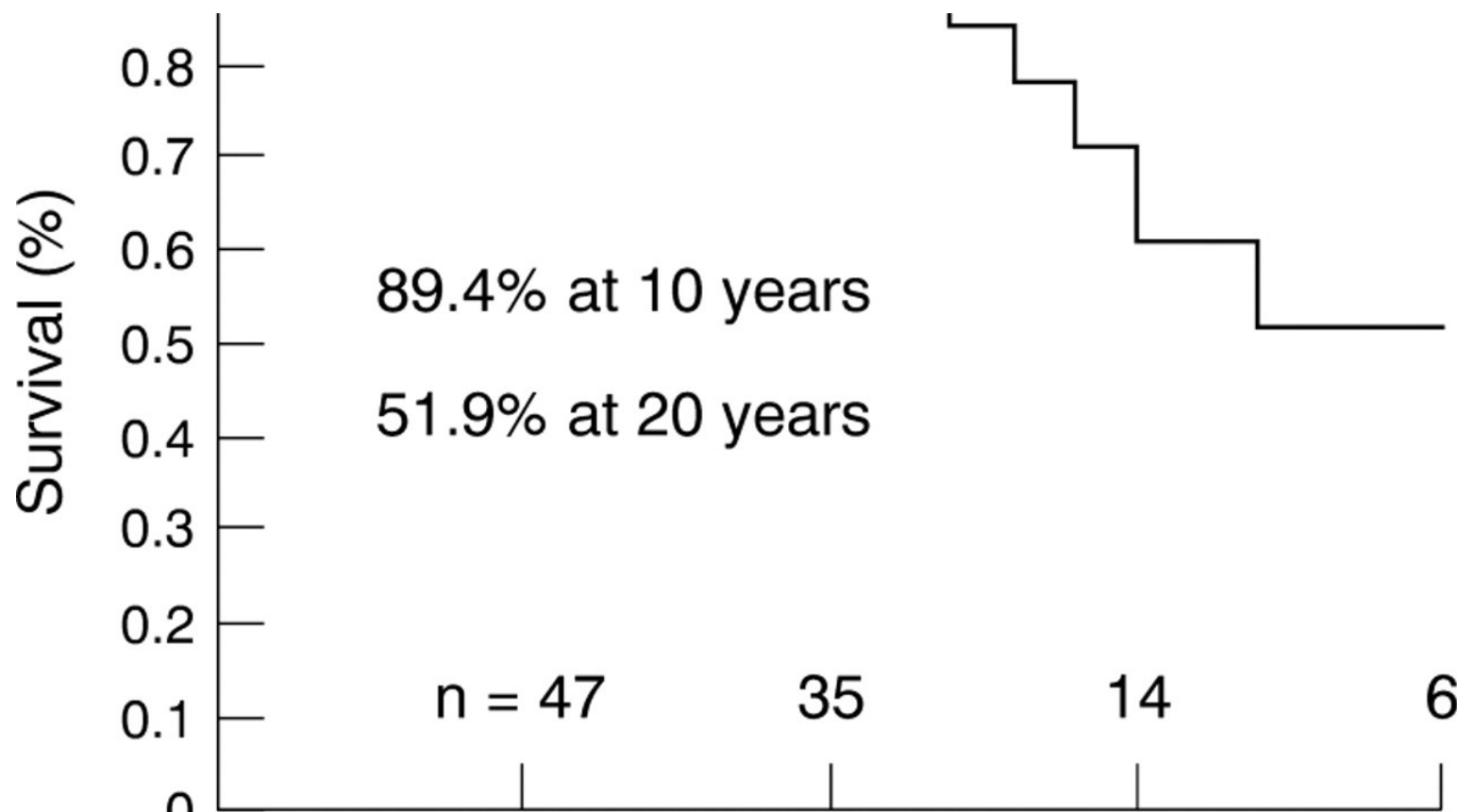
# Stratégie diagnostique et thérapeutique du « failing Fontan »

- Evaluation anatomique et hémodynamique détaillée
- Traitement des lésions obstructives du circuit
- Traitement précoce des arythmies et maintien du rythme sinusal
- Traitement symptomatique de la PLE et bronchite plastique
- Gestion des RVP et RVS
- Conversion chirurgicales des anastomoses atriopulmonaires+ chirurgie rythmique
- transplantation



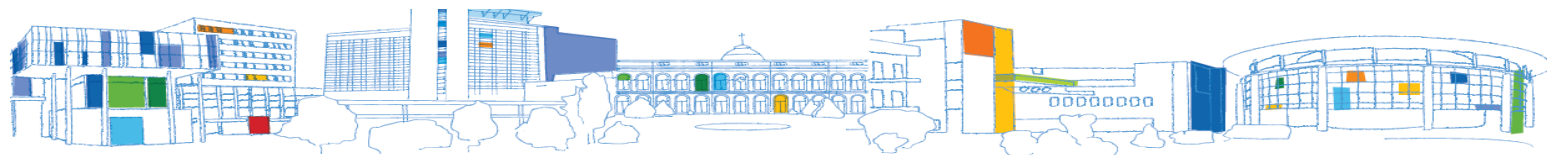


# Courbe de survie des VU admis à l'âge adulte en centres spécialisés GUCH



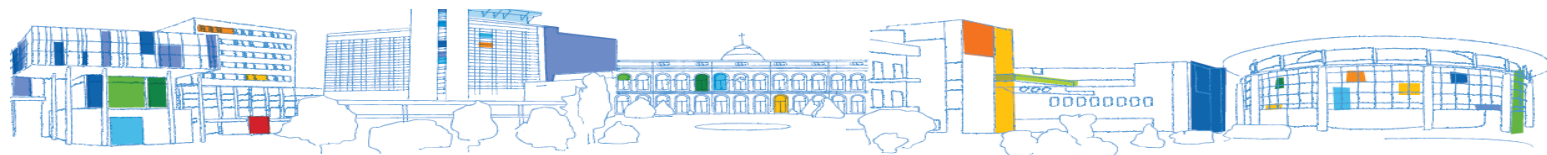
# Comment améliorer cette évolution?

- Préserver l'arbre pulmonaire+++
- Préférer la DCPP au Blalock
- Dérivation cavopulmonaire totale par tube extra-cardiaque fenestré pour améliorer le post-opératoire immédiat
- Fermeture de la fenêtre dans les situations favorables



# Les inconnues

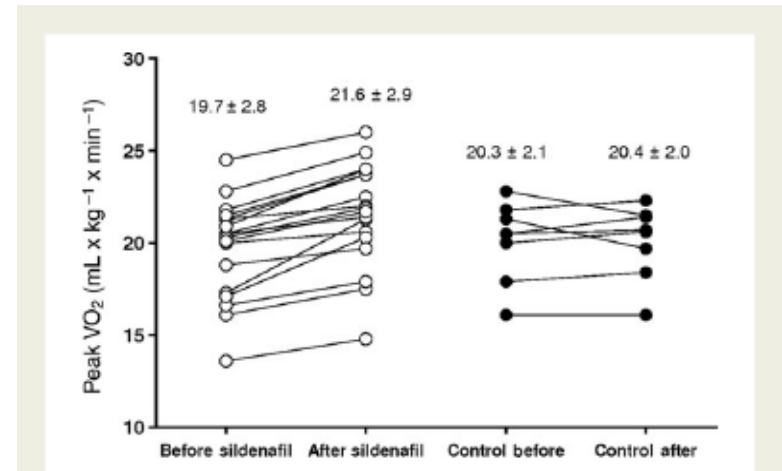
- Le meilleur âge pour la DCPT
- Les csq d'un flux veineux continu sur les fonctions hépatiques, surtout si les pressions sont élevées
- Savoir poser l'indication de transplantation à temps lorsque la situation est précaire



# Stratégie thérapeutique: sildénafil?

## Limites de la physiologie type Fontan

- Défaut de précharge: rôle de la circulation pulmonaire
- Paradoxe du niveau de PVC chronique
- Élévation des résistances pulmonaires: rôle de la pression pulsée



**Figure 3** Individual improvement in peak VO<sub>2</sub> observed in the sildenafil treatment group (on the left side) and in the control group (on the right side). Data are presented as mean ± SD. VO<sub>2</sub> indicates oxygen uptake.

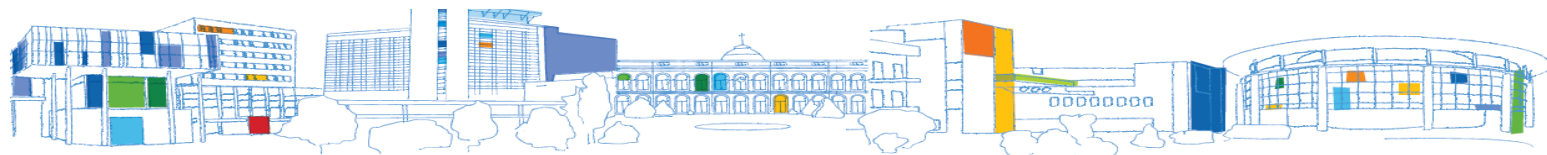
Giardini A. European Heart Journal 2008

Hager A. European Heart Journal 2008

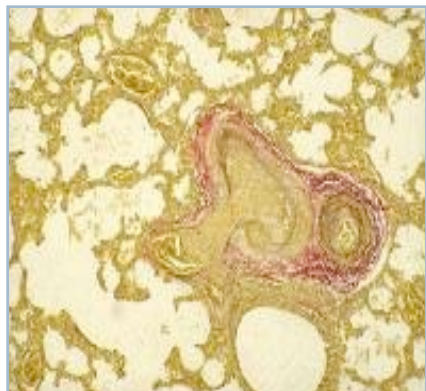


# Dysfonction du VU

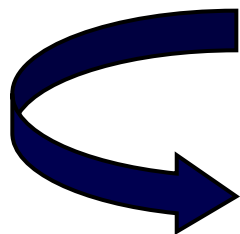
- dilatation pré-op peu réversible
- Recherche de MAPCA (fréquent si cyanose)
- Remodelage: dysfonction systolique et diastolique
  - Intérêt de la Milrinone en PO
  - Intérêt des IEC en chronique (élévation des taux circulants d'ADH, rénine ,All, aldostérone)?
    - Pas de bénéfice clinique prouvé



# Eisenmenger



Prolifération des CML  
➤ Matrice extra-cellulaire  
Thrombose intravasculaire



Shunt gauche-droite



➤ du débit sanguin pulmonaire  
“shear stress”



Dysfonction endothéliale



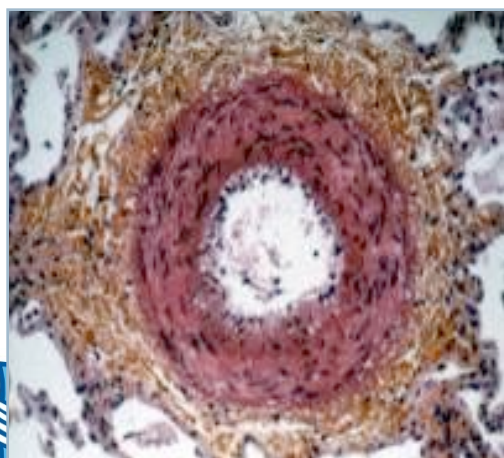
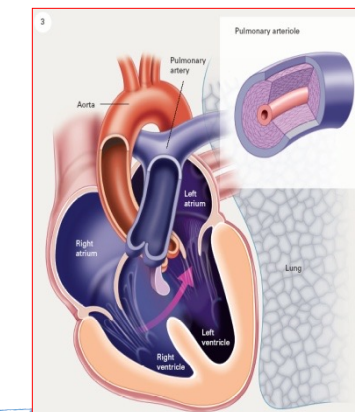
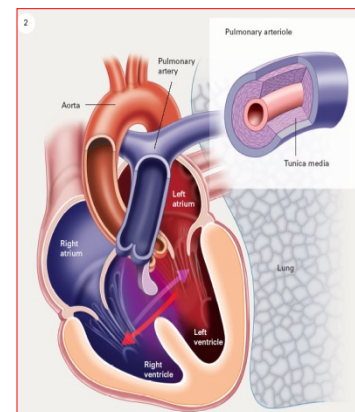
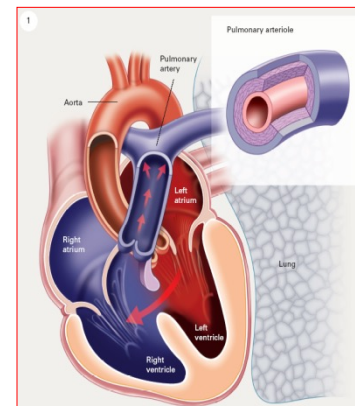
Augmentation des RVP



Inversion du shunt : droite-gauche



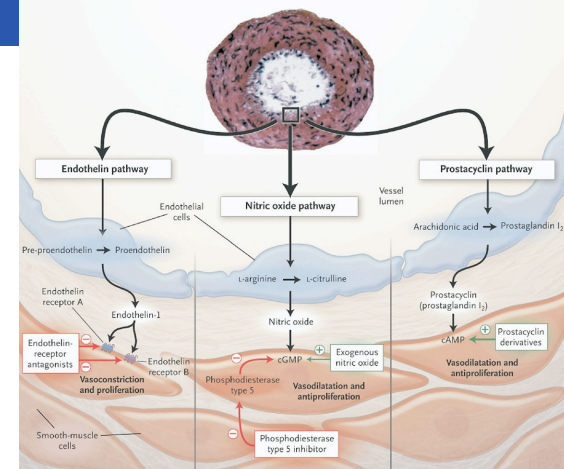
Cyanose (Eisenmenger)



# complications

- Hyperviscosité
- AVC et autres thromboses(0-14%)
- Abscès cérébral (4%)
- Hémoptysie
- Dysfonction rénale
- Hyperuricémie, crise de goutte
- Lithiases biliaires
- Troubles de la coagulation
- Mort subite

# Thérapeutique



## Traitement conventionnel

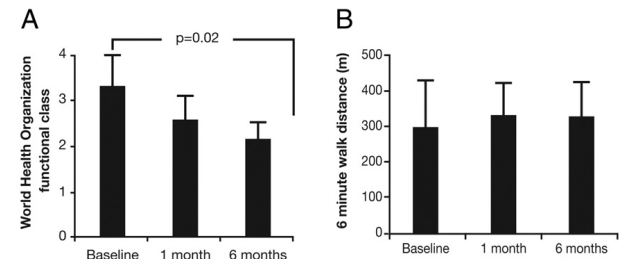
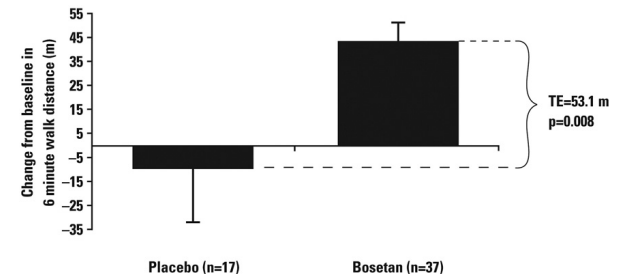
- Diurétique?
- Anticoagulants?
- Inh Ca<sup>+</sup>?
- O<sub>2</sub>

## Bosentan (Breathe 5)

## Sitaxentan

## Sildenafil

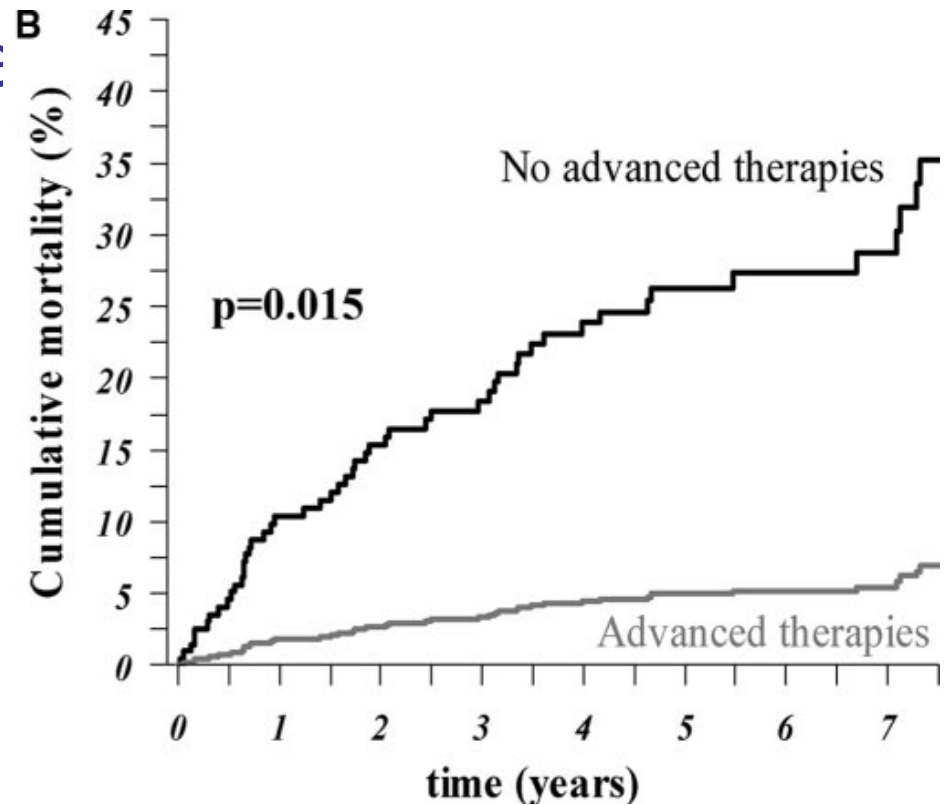
## Prostacycline



Humbert et al. NEJM 2004  
Galie N et al. Circulation 2006  
Chau et al. Int J cardiol 2007  
Beghetti M et al. JACC 2009

# Eisenmenger

- Traitement spécifique
  - NYHA II ou III
  - Mono/bithérapie
  - Critères de suivi



# Gestion de la polyglobulie

Stratégie thérapeutique: Réduction de l'Ht à volémie constante

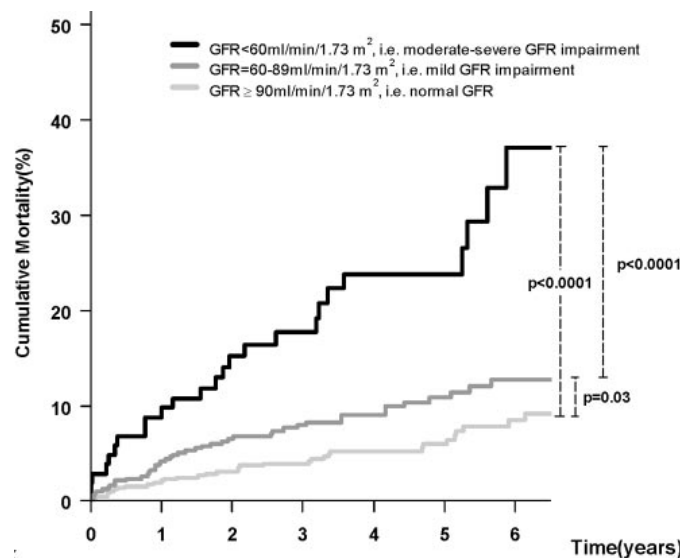
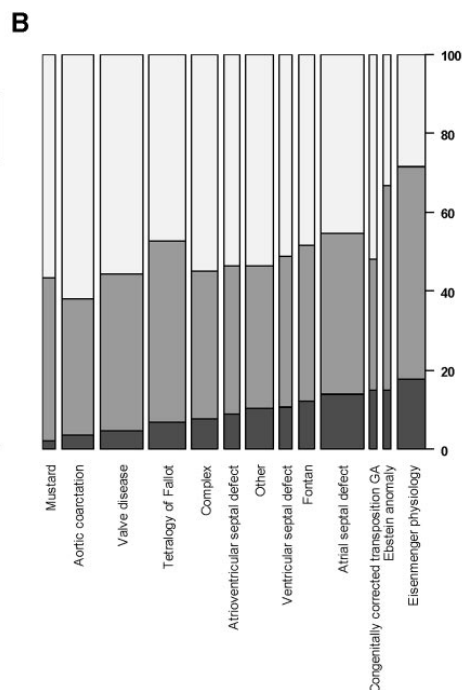
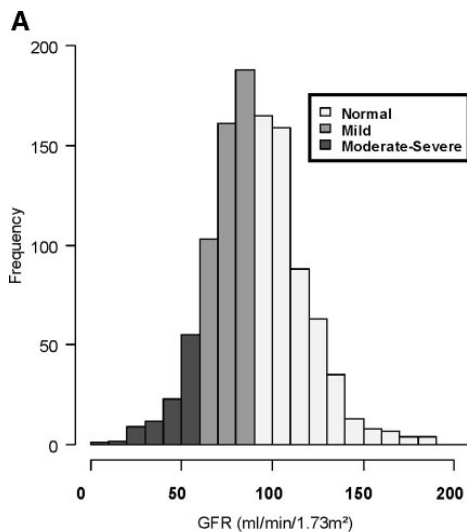
- Phlébotomie?
  - indication: symptômes cliniques
  - inconv: hyperviscosité paradoxale à Ht constant++++
- Supplémentation martiale (Foalte B12): monitoring+++
- Inhibiteur synthèse érythrocytaire : hydréa
  - Absence d'essai randomise/durée/ risque cutané???

# Endocardite infectieuse

- Incidence. 15–140x supérieure à la population générale
- Prévalence: 2 à 18% (nette prédominance masculine)
- Germes habituels (streptococcus et staphylococcus)
- Mortalité: 4–10%. Meilleur pronostic que dans les cardiopathies acquises (grande proportion d'endocardite du coeur droit).
- antibioprophylaxie seulement dans les groupes à haut risque.

Recommendations: prophylaxis	Class <sup>a</sup>	Level <sup>b</sup>
<b>Antibiotic prophylaxis should only be considered for patients at highest risk of IE</b> 1. Patients with a prosthetic valve or a prosthetic material used for cardiac valve repair 2. Patients with previous IE 3. Patients with congenital heart disease a. cyanotic congenital heart disease, without surgical repair, or with residual defects, palliative shunts or conduits b. congenital heart disease with complete repair with prosthetic material whether placed by surgery or by percutaneous technique, up to 6 months after the procedure c. when a residual defect persists at the site of implantation of a prosthetic material or device by cardiac surgery or percutaneous technique	IIa	C
<b>Antibiotic prophylaxis is no longer recommended in other forms of valvular or congenital heart disease</b>	III	C

# Fonction rénale et GUCH



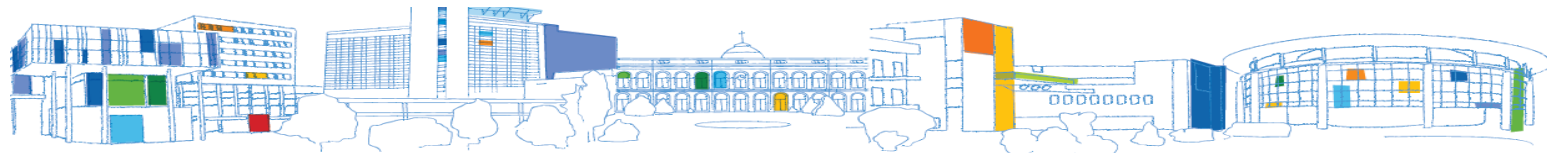
- 1102 patients. Age moyen 36 ans
- 41% d'IRC mineure
- 9% d'IRC modérée à sévère
- FDR
  - Cyanose
  - IC

	HR	95% CI	P
Propensity score weight-adjusted models			
Moderate/severe impairment vs normal GFR	3.25	(1.54–6.86)	0.002
Moderate/severe impairment vs mild GFR impairment	1.72	(0.97–3.05)	0.06
Mild GFR impairment vs normal GFR	1.25	(0.69–2.27)	0.46
Multivariate models of death with diuretic as stratum			
Moderate/severe GFR impairment	2.31	(1.17–4.56)	0.015
Mild GFR impairment	1.22	(0.70–2.10)	0.48
NYHA class >2	2.50	(1.52–4.10)	0.0003
Any systemic ventricular dysfunction	2.66	(1.62–4.38)	0.0001
Previous reparative surgery/sternotomy	0.69	(0.41–1.14)	0.15
Previous palliative surgery	2.42	(1.45–4.03)	0.001
Age, y*	1.09	(0.92–1.29)	0.35
Cyanosis	1.16	(0.65–2.09)	0.61

# Conclusions

## « ère de la perspective et de l'innovation » et de l'organisation

- 80-85% des patients atteignent l'âge adulte: nouvelles spécialités cardiologique
- Désir de vie normale
- Organisation autour de cardiologues référents et d'unités spécifiques
  - Centre de compétence: imagerie, EP, chirurgie, anesth
  - Réseau cardio-obstétrique
  - Réseau cardio-anesthésie chirurgie



# Fin

